



Tópicos em Controle Moderno

Laboratório - Controle Adaptativo

Prof. Dr. Tatiana Pazelli

Professor Responsável

Integrantes do Grupo

GABRIEL SOUZA BARBOSA	RA: 790852
GIOVANNA AMORIM NASCIMENTO	RA: 784267
JOÃO CARLOS TONOM CAMPI	RA: 769723

Lista de Figuras

1	Sistema massa-mola-amortecedor	7
2	Comparação dos sinais z e u	10
3	Sinal ϕ do modelo paramétrico	10
4	Sinal z do modelo atualizado	12
5	Sinal ϕ do modelo paramétrico atualizado	13
6	Comparação dos sinais z e r	17
7	Sinal ϕ do modelo paramétrico	17
8	Sinal z do modelo paramétrico	20
9	Sinal ϕ do modelo paramétrico	20
10	Sinal z do modelo paramétrico	22
11	Sinal ϕ do modelo paramétrico	23
12	Estimativa do parâmetro \hat{M}	28
13	Estimativa do parâmetro \hat{f}	28
14	Estimativa do parâmetro \hat{k}	29
15	Estimativa do parâmetro \hat{K}_1	36
16	Estimativa do parâmetro \hat{K}_2	36
17	Estimativa do parâmetro \hat{K}_3	37
18	Estado x em comparação com x_m	47
19	Erro do sistema	48
20	Estimativa do parâmetro $k(t)$ em comparação do com k^*	48
21	Estimativa do parâmetro $l(t)$ em comparação do com l^*	49
22	Estado y_p em comparação com y_m para várias entradas	56
23	Erro do sistema para várias entradas	57
24	Estimativa do parâmetro $k(t)$ em comparação do com k^*	57
25	Estimativa do parâmetro $l(t)$ em comparação do com l^*	58
26	Saída de velocidade para (i) e (ii)	64
27	Sinal de erro para (i) e (ii)	65
28	Adaptação de \hat{k} para (i) e (ii)	65
29	Adaptação de \hat{l} para (i) e (ii)	66
30	Adaptação de $\hat{\delta}$ para (i) e (ii)	66
31	Saída de velocidade para o MRAC Indireto	72
32	Sinal de erro para o MRAC Indireto	72
33	Progressão de k para (i) e (ii) no MRAC Indireto	73
34	Progressão de l para (i) e (ii) no MRAC Indireto	74

35	Progressão de δ para (i) e (ii) no MRAC Indireto	74
37	Adaptação de a para (i) no MRAC Indireto	74
36	Adaptação de b para (i) e (ii) no MRAC Indireto	75
38	Adaptação de a para (ii) no MRAC Indireto	75
39	Adaptação de h para (i) no MRAC Indireto	76
40	Adaptação de h para (ii) no MRAC Indireto	76
41	Saída do sistema MRAC com gradiente	80
42	Erro do sistema MRAC com gradiente	80
43	Parâmetro K do sistema MRAC com gradiente	81
44	Parâmetro L do sistema MRAC com gradiente	81
45	Saída do sistema para o controlador ideal com $r = 15$	90
46	Saída do sistema para o MRAC Direto com $r = 15$	91
47	Saída do sistema para o MRAC Indireto com $r = 15$	91
48	Sinal de controle para os três controladores com $r = 15$	92
49	Parâmetro de controle \hat{k} para os controladores adaptativos com $r = 15$	92
50	Parâmetro de controle \hat{l} para os controladores adaptativos com $r = 15$	93
51	Parâmetro da planta \hat{a} para o controlador indireto com $r = 15$	93
52	Parâmetro da planta \hat{b} para o controlador indireto com $r = 15$	94
53	Saída do sistema para o controlador ideal com $r = 2 \sin(10t) + 5 \sin(3t)$	103
54	Saída do sistema para o MRAC Direto com $r = 2 \sin(10t) + 5 \sin(3t)$	103
55	Saída do sistema para o MRAC Indireto com $r = 2 \sin(10t) + 5 \sin(3t)$	104
56	Sinal de controle para os três controladores com $r = 2 \sin(10t) + 5 \sin(3t)$	104
57	Parâmetro de controle \hat{k} para os controladores adaptativos com $r = 2 \sin(10t) + 5 \sin(3t)$	105
58	Parâmetro de controle \hat{l} para os controladores adaptativos com $r = 2 \sin(10t) + 5 \sin(3t)$	105
59	Parâmetro da planta \hat{a} para o controlador indireto com $r = 2 \sin(10t) + 5 \sin(3t)$	106
60	Parâmetro da planta \hat{b} para o controlador indireto com $r = 2 \sin(10t) + 5 \sin(3t)$	106

Sumário

1. Experiência 1 - Modelos paramétricos	7
1.1. Resolução	7
1.1.1. a)	7
1.1.2. b)	11
2. Experiência 2 - Modelos Paramétricos	14
2.1. Resolução:	14
2.1.1. a)	14
2.1.2. b)	18
2.1.3. c)	21
3. Experiência 3 – Modelos Paramétricos	24
3.1. Resolução	24
3.1.1. a)	24
3.1.2. b)	24
3.1.3. c)	24
3.1.4. d)	25
3.1.5. e)	25
4. Experiência 4 – Identificação de Parâmetros	26
4.1. Resolução	26
5. Experiência 5 – Identificação de Parâmetros	33
5.1. Resolução	33
5.1.1. a)	33
5.1.2. b)	35
6. Experiência 6 – Identificação de Parâmetros	40
6.1. Resolução	40
6.1.1. a)	40
6.1.2. b)	40
6.1.3. c)	40
6.1.4. d)	41
6.1.5. e)	41

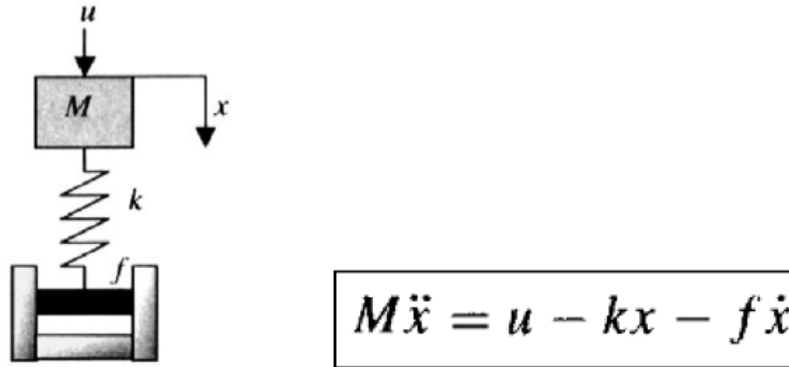
7. Experiência 7(a) – Controle Adaptativo	42
7.1. Resolução:	42
8. Experiência 7(b) – Controle Adaptativo	50
8.1. Resolução:	50
9. Experiência 7(c) – Controle Adaptativo	59
9.1. Resolução	60
9.1.1. a)	60
9.1.2. b)	61
9.1.3. c)	62
9.1.4. d)	64
9.1.5. e)	77
10.Experiência 7(d) – Controle Adaptativo	78
10.1. Resolução	78
10.1.1. a)	78
10.1.2. c)	79
11.Experiência 8 – Controle Adaptativo	82
11.1. Resolução	82
12.Experiência 9 – Controle Adaptativo	84
12.1. Resolução	85
12.1.1. a)	85
12.1.2. b)	86
12.1.3. c)	87
12.1.4. d)	89
12.1.5. e)	102
12.1.6. f)	107
13.Experiência 10 – Controle Adaptativo	116
13.1. Resolução	116
13.1.1. a)	116
13.1.2. b)	117
13.1.3. c)	117
13.1.4. d)	117
13.1.5. e)	117

13.1.6. f)	117
13.1.7. g)	117
13.1.8. h)	118
13.1.9. i)	118
13.2. Script	118
14.Exercício de Sala	119
14.1. Resolução:	119
14.1.1. a)	119
14.1.2. b)	120
14.1.3. c)	120
14.1.4. d)	122
14.1.5. e)	122
14.1.6. f)	123

1. Experiência 1 - Modelos paramétricos

Seja o sistema massa-mola-amortecedor e seu modelo dinâmico apresentados na figura a seguir:

Figura 1: Sistema massa-mola-amortecedor



Fonte: Roteiro Laboratório 1

tal que k é a constante da mola, f é o coeficiente de amortecimento, M é a massa do sistema, u é a força de entrada e x é o deslocamento da massa M . Para as experiências 1, 2 e 3 a seguir considere $M = 100kg$, $f = 0,15kg/s$, $k = 7kg/s^2$, $u(t) = 1 + \cos(\frac{\pi}{3}t)$ e $0 \leq t \leq 25s$.

- Determine um modelo paramétrico admitindo k , f e M parâmetros constantes desconhecidos, sendo x e u disponíveis a cada instante t . Gere os sinais z e ϕ do modelo paramétrico.
- Determine um modelo paramétrico admitindo k e f parâmetros constantes desconhecidos e $M = 100kg$ um parâmetro conhecido, sendo x e u disponíveis a cada instante t . Gere os sinais z e ϕ do modelo paramétrico.

1.1. Resolução

1.1.1. a)

Considerando os parâmetros desconhecidos e sabendo que o modelo paramétrico pode ser dado da forma:

$$z = \theta^{*T} \phi \quad (1)$$

Admitindo-se x , \dot{x} , \ddot{x} e u mensuráveis, teremos:

$$u = \begin{pmatrix} M & f & k \end{pmatrix} \cdot \begin{pmatrix} \ddot{x} \\ \dot{x} \\ x \end{pmatrix} \quad (2)$$

sendo:

$$z = u \quad ; \quad \theta^* = \begin{pmatrix} M & f & k \end{pmatrix}^T \quad ; \quad \phi = \begin{pmatrix} \ddot{x} \\ \dot{x} \\ x \end{pmatrix} \quad (3)$$

Nota-se que, para a obtenção dos parâmetros \dot{x} e \ddot{x} será necessário aplicar um filtro de segunda ordem da forma:

$$\frac{1}{(s + \lambda)^2} \quad (4)$$

Portanto, um modelo paramétrico que representa o sistema será:

$$\frac{Ms^2x + Fsx + Kx}{(s + \lambda)^2} = \frac{u}{(s + \lambda)^2} \Rightarrow \frac{u}{(s + \lambda)^2} = \begin{pmatrix} M & f & k \end{pmatrix} \cdot \begin{pmatrix} \frac{s^2}{(s + \lambda)^2}x \\ \frac{s}{(s + \lambda)^2}x \\ \frac{1}{(s + \lambda)^2}x \end{pmatrix} \quad (5)$$

Logo abaixo é possível observar o script em Matlab responsável pela implementação do modelo paramétrico do sistema e obtenção do sinal z em comparação com a entrada original u , além do plot do sinal ϕ .

```

1 % Experimento 1
2 % Parametros do problema
3 M = 100;
4 f = 0.15;
5 k = 7;
6
7 t = linspace(0,25,1000); % Vetor de tempo
8 u = 1+cos(pi*(t/3)); % Sinal de entrada
9
10 lambda = 1; % Parametro do filtro
11
12 G = tf(1, [M f k]); % Resposta original da planta
13 x = lsim(G, u, t);
14
```

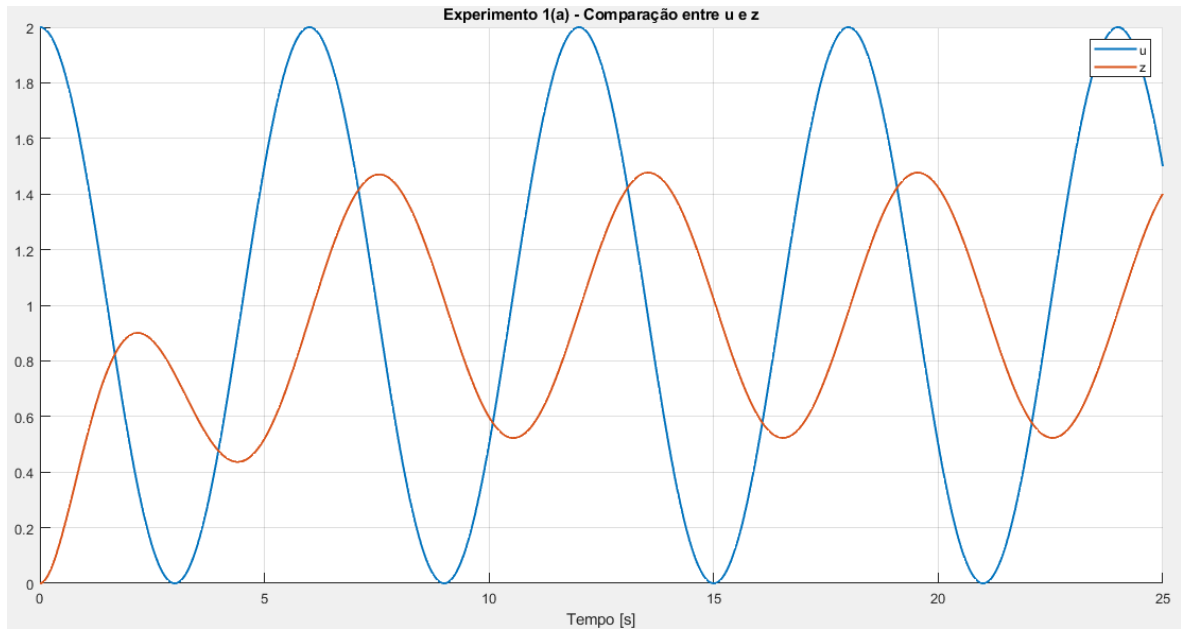


```

15 %Item (a)
16
17 s = tf("s");
18 filtro = tf(1 , [1 2*lambda lambda^2]); % Declaracao do filtro
19 z = lsim(filtro, u, t); % Sinal z do modelo parametrico
20
21 index_fig= index_fig + 1;
22 figure (index_fig)
23 hold on
24 grid on
25 plot (t, u)
26 plot (t, z)
27 title ("Experimento 1(a) - Comparacao entre u e z")
28 legend ('u', 'z')
29 xlabel ('Tempo [s]')
30 hold off
31
32 % Aplicacoes de filtro para o vetor phi
33 xdd_f = lsim(s^2*filtro, x, t);
34 xd_f = lsim(s*filtro, x, t);
35 x_f = lsim(filtro, x, t);
36
37 phi = [xdd_f xd_f x_f]'; %Vetor phi com filtro
38
39 index_fig = index_fig + 1;
40 figure (index_fig)
41 hold on
42 grid on
43 plot (t, phi)
44 title ("Experimento 1(a) - Sinal \phi")
45 hLeg = legend ('$ \ddot{x}$', '$ \dot{x}$', '$x$');
46 set(hLeg, 'Interpreter', 'latex');
47 xlabel ('Tempo [s]')

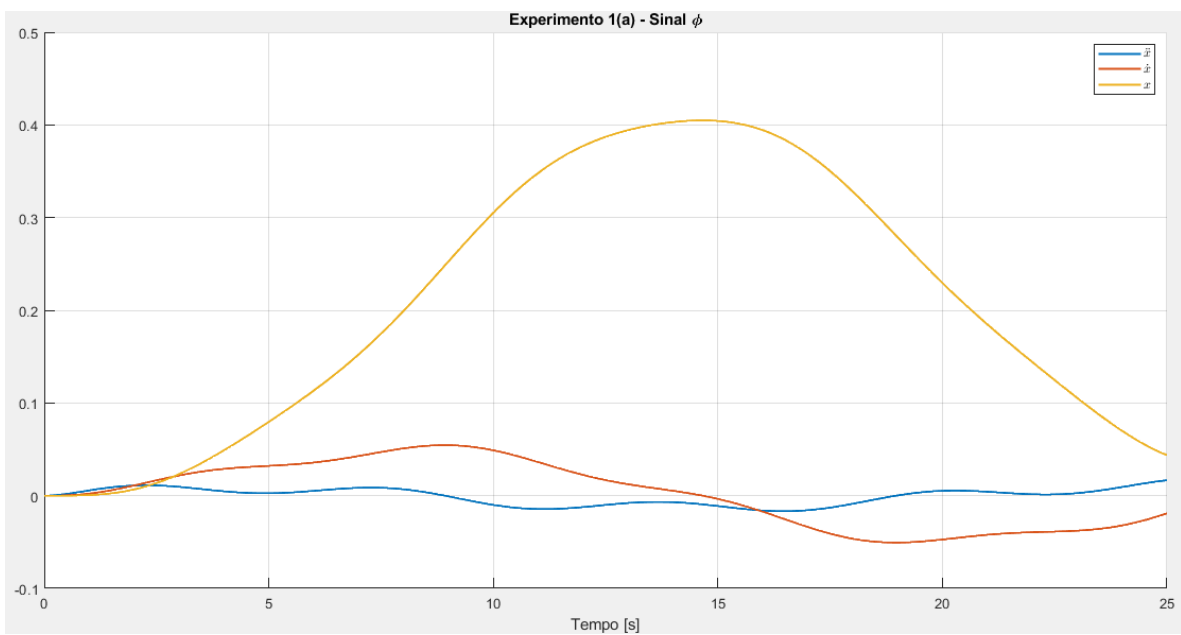
```

Na Figura 2 é possível observar a representação do sinal z em comparação com a entrada original do sistema u . A amplitude do sinal de z varia de acordo com o valor de λ definido. Para este teste foi utilizado $\lambda = 1$.

Figura 2: Comparação dos sinais z e u 

Fonte: Autoria própria

Por fim, na Figura 3 consta o plot do sinal ϕ obtido:

Figura 3: Sinal ϕ do modelo paramétrico

Fonte: Autoria própria

1.1.2. b)

Agora, considerando o mesmo raciocínio do exercício anterior, porém com o parâmetro $M = 100$ conhecido, a representação do modelo paramétrico do sistema será:

$$u - M\ddot{x} = kx + f\dot{x} \Rightarrow u - M\ddot{x} = \begin{pmatrix} f & k \end{pmatrix} \cdot \begin{pmatrix} \dot{x} \\ x \end{pmatrix} \quad (6)$$

Aplicando o filtro de segunda ordem do tipo $\frac{1}{(s+\lambda)^2}$ para acessar todos os parâmetros desejados, teremos:

$$\frac{u - Ms^2x}{(s + \lambda)^2} = \begin{pmatrix} f & k \end{pmatrix} \cdot \begin{pmatrix} \frac{s}{(s+\lambda)^2}x \\ \frac{1}{(s+\lambda)^2}x \end{pmatrix} \quad (7)$$

No script abaixo consta a implementação do novo modelo paramétrico e a obtenção dos novos sinais de z e ϕ .

```

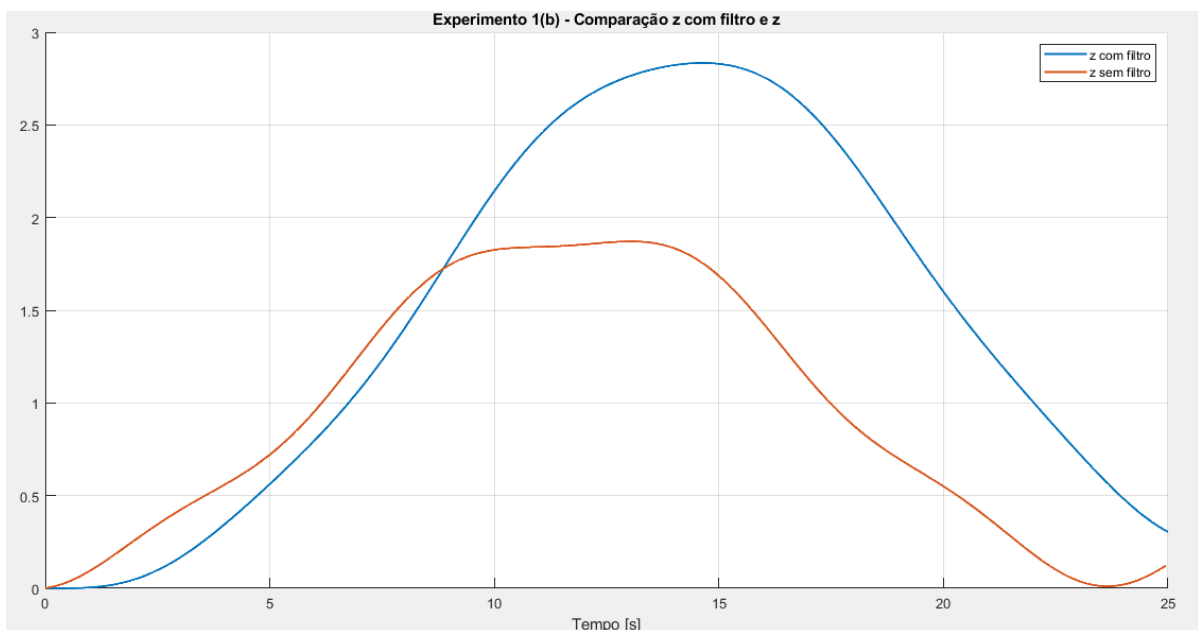
1 %Item (b)
2 % Novo modelo parametrico
3 z_b = z - M*xdd_f; % Novo sinal de z com M conhecido
4 phi_b = [xd_f x_f]'; % Vetor phi com filtro
5
6 % Derivadas do sinal de saida sem filtro
7 xd= diff(x)./(diff(t)');
8 xdd= diff(xd)./(diff(t(1,1:end-1)))';
9
10 z_sf= (u(1,1:end-2))' - M.*xdd;
11
12 index_fig= index_fig + 1;
13 figure (index_fig)
14 hold on
15 grid on
16 plot(t, z_b)
17 plot(t(1,1:end-2), z_sf)
18 title ("Experimento 1(b) - Comparacao z com filtro e z")
19 legend ('z com filtro', 'z sem filtro')
20 xlabel ('Tempo [s]')
21
22 index_fig= index_fig + 1;
23 figure (index_fig)
24 hold on
25 grid on
26 plot(t, phi_b)

```

```
27 title ("Experimento 1(b) -Sinal \phi")
28 hLeg = legend ("$\dot{x}$", '$x$');
29 set(hLeg,'Interpreter','latex');
30 xlabel ('Tempo [s]')
```

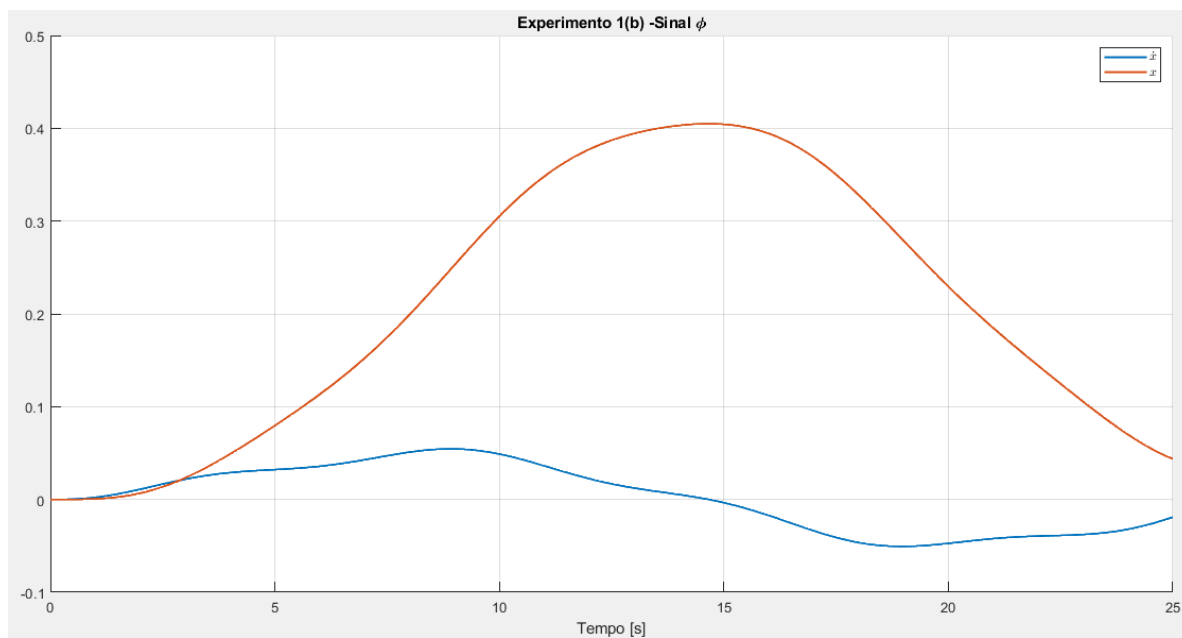
Na Figura 4 é possível observar a representação gráfica do sinal z . Nota-se que foi realizada uma comparação do sinal com e sem a presença do filtro. O valor de λ foi mantido em $\lambda = 1$.

Figura 4: Sinal z do modelo atualizado



Fonte: Autoria própria

Além disso, na Figura 5 consta a representação do sinal ϕ do novo modelo paramétrico.

Figura 5: Sinal ϕ do modelo paramétrico atualizado

Fonte: Autoria própria

2. Experiência 2 - Modelos Paramétricos

Seja o sistema de direcionamento do telescópio Hubble representado pelo seguinte modelo dinâmico:

$$K_1 \ddot{y}(t) + K_2 \dot{y}(t) + K_3 y(t) = r(t) \quad (8)$$

tal que $K_1 = 1$; $K_2 = 12$ e $K_3 = 100$. Considere a trajetória de direcionamento da visada do telescópio dada por $r(t) = 2.7 \cos(4 \cdot 10^{-7} t)$

- (a) Determine um modelo paramétrico admitindo K_1 , K_2 e K_3 parâmetros constantes desconhecidos, sendo $y(t)$ e $r(t)$ disponíveis a cada instante t . Gere os sinais z e ϕ do modelo paramétrico.
- (b) Admita agora que $z(t) = \frac{y(t)}{(s+\lambda)^2}$. Considerando K_1 , K_2 e K_3 parâmetros constantes desconhecidos, sendo $y(t)$ e $r(t)$ disponíveis a cada instante t , determine um modelo paramétrico para o sistema proposto. Gere os sinais z e ϕ do modelo paramétrico.
- (c) Determine um modelo paramétrico admitindo K_1 e K_3 parâmetros constantes desconhecidos e $K_2 = 12$ um parâmetro conhecido, sendo $y(t)$ e $r(t)$ disponíveis a cada instante t . Gere os sinais z e ϕ do modelo paramétrico.

2.1. Resolução:

2.1.1. a)

Para a resolução dessa questão foi considerado modelo paramétrico estático (SPM), conforme apresentado na Equação 1.

Dada a função de transferência apresentado e considerando todos os estados como acessíveis, o modelo pode ser escrito conforme apresentado na Equação 9:

$$r(t) = \begin{pmatrix} K_1 & K_2 & K_3 \end{pmatrix} \cdot \begin{pmatrix} \ddot{y}(t) \\ \dot{y}(t) \\ y(t) \end{pmatrix} \quad (9)$$

No entanto como somente $y(t)$ e $r(t)$ estão disponíveis em cada instante t , é necessário aplicar um filtro para mensurar $\dot{y}(t)$ e $\ddot{y}(t)$. O filtro aplicado é apresentado na Equação 10:

$$\frac{1}{(s + \lambda)^2} \quad (10)$$

Como o filtro a ser aplicado está no domínio da frequência, é necessário aplicar a transformada de *Laplace* no sistema para deixá-lo no mesmo domínio. Assim, o sistema a ser modelado será conforme apresentado na Equação 11:

$$K_1 s^2 Y + K_2 s Y + K_3 Y = R \quad (11)$$

Com isso, o modelo paramétrico do sistema pode ser descrito conforme a Equação 12:

$$\frac{r}{(s + \lambda)^2} = \begin{pmatrix} K_1 & K_2 & K_3 \end{pmatrix} \cdot \begin{pmatrix} \frac{s^2}{(s + \lambda)^2} y \\ \frac{s}{(s + \lambda)^2} y \\ \frac{1}{(s + \lambda)^2} y \end{pmatrix} \quad (12)$$

Na qual:

$$z = \frac{r}{(s + \lambda)^2}; \theta^{*T} = \begin{pmatrix} K_1 & K_2 & K_3 \end{pmatrix} \text{ e } \phi = \begin{pmatrix} \frac{s^2}{(s + \lambda)^2} y \\ \frac{s}{(s + \lambda)^2} y \\ \frac{1}{(s + \lambda)^2} y \end{pmatrix}$$

Para a implementação do modelo foi utilizado o script apresentado a seguir.

```

1
2 % Experiencia 2
3 % Parametros do problema
4 K1= 1;
5 K2= 12;
6 K3= 100;
7
8 t= linspace(1,5e7,10e5); % Vetor de tempo
9 r= 2.7*cos(4e-7*t); % Sinal de entrada
10
11 lambda= 1; % Parametro do filtro
12
13 G2= tf(1, [K1 K2 K3]); % FT real
14 y= lsim(G2, r, t); % Simulacao original do problema
15
16 %Item (a)
17
18 s= tf("s");
19
20 filtro = tf(1, [1 2*lambda lambda^2]); % Implementacao do filtro
21 z= lsim(filtro, r, t); % Sinal z do modelo parametrico

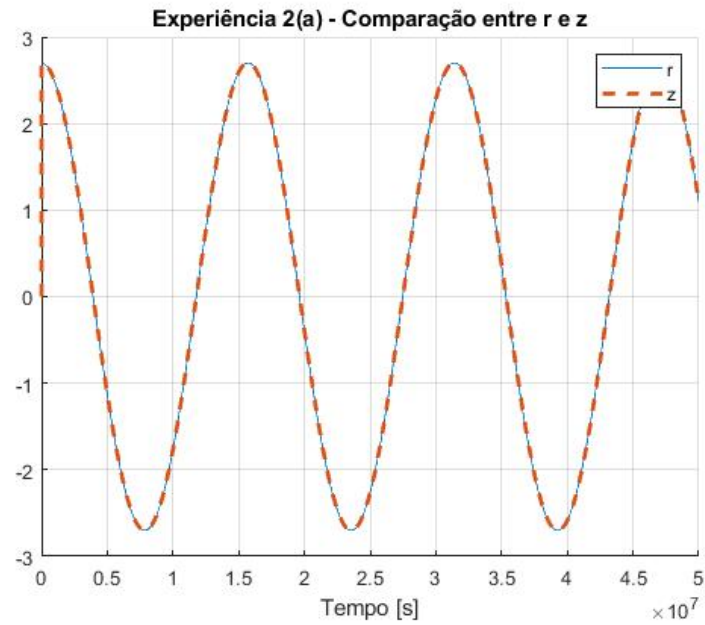
```

```

22
23 index_fig= index_fig + 1;
24 figure (index_fig)
25 hold on
26 grid on
27 plot (t, r)
28 plot (t, z, '--', 'LineWidth', 2)
29 title ("Experiencia 2(a) - Comparacao entre r e z")
30 legend ('r', 'z')
31 xlabel ('Tempo [s]')
32 hold off
33
34 % Sinais obtidos a partir do filtro
35 ydd_f= lsim(s^2*filtro, y, t);
36 yd_f= lsim(s*filtro, y, t);
37 y_f= lsim(filtro, y, t);
38
39 phi= [ydd_f yd_f y_f]'; % Vetor phi com filtro
40
41 index_fig= index_fig + 1;
42 figure (index_fig)
43 hold on
44 grid on
45 plot (t, phi)
46 title (" Experiencia 2(a) - Sinal \phi")
47 hLeg = legend ('$\\ddot{y}$', '$\\dot{y}$', '$y$');
48 set(hLeg, 'Interpreter', 'latex');
49 xlabel ('tempo (s)')

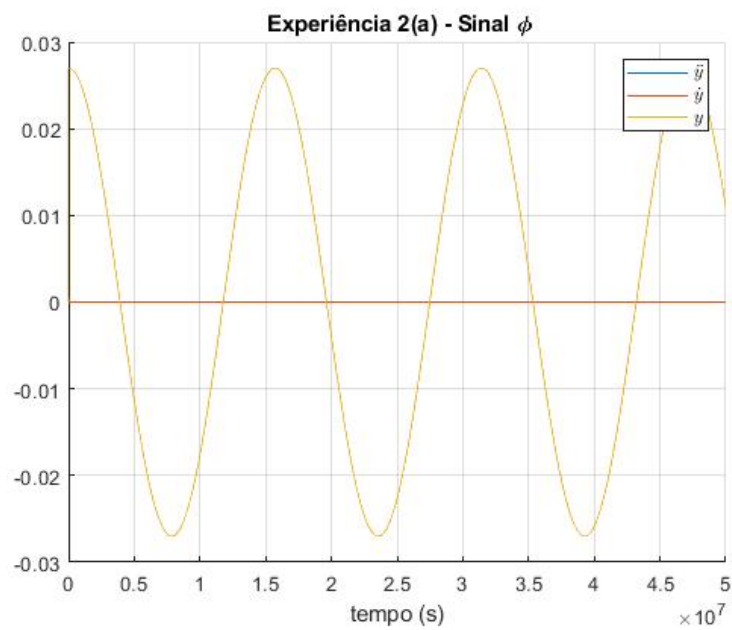
```

A Figura 6 mostra o sinal z em comparação com a entrada original do sistema r . A resposta do sinal z muda de acordo com o valor de λ . Após alguns testes de variação desse parâmetro, foi definido $\lambda = 1$ para a resposta apresentada.

Figura 6: Comparação dos sinais z e r 

Fonte: Autoria própria

A Figura 7 apresenta o sinal ϕ obtido da representação paramétrica utilizada.

Figura 7: Sinal ϕ do modelo paramétrico

Fonte: Autoria própria

2.1.2. b)

Para o item **b**, foram realizadas algumas manipulações no modelo dinâmico apresentado na Equação 8. A Equação 13 mostra o modelo dinâmico utilizado.

$$\begin{aligned}
 K_1 \ddot{y}(t) + K_2 \dot{y}(t) + K_3 y(t) &= r(t) \\
 -K_1 \ddot{y}(t) - K_2 \dot{y}(t) + r(t) &= K_3 y(t) \\
 -\frac{K_1}{K_3} \ddot{y}(t) - \frac{K_2}{K_3} \dot{y}(t) + \frac{1}{K_3} r(t) &= y(t)
 \end{aligned} \tag{13}$$

Com isso, o modelo paramétrico pode ser descrito conforme apresentado na Equação 14:

$$y(t) = \begin{pmatrix} \frac{K_1}{K_3} & \frac{K_2}{K_3} & \frac{1}{K_3} \end{pmatrix} \cdot \begin{pmatrix} -\ddot{y}(t) \\ -\dot{y}(t) \\ r(t) \end{pmatrix} \tag{14}$$

Assim como no item anterior, é necessário aplicar um filtro do tipo $\frac{1}{(s+\lambda)^2}$, para que os sinais de $\dot{y}(t)$ e $\ddot{y}(t)$ possam ser estimados. Desse modo, o modelo paramétrico final é dado pela Equação 15.

$$\frac{y}{(s+\lambda)^2} = \begin{pmatrix} \frac{K_1}{K_3} & \frac{K_2}{K_3} & \frac{1}{K_3} \end{pmatrix} \cdot \begin{pmatrix} -\frac{s^2}{(s+\lambda)^2} y \\ -\frac{s}{(s+\lambda)^2} y \\ \frac{1}{(s+\lambda)^2} r \end{pmatrix} \tag{15}$$

Na qual:

$$z = \frac{y}{(s+\lambda)^2}; \theta^{*T} = \begin{pmatrix} \frac{K_1}{K_3} & \frac{K_2}{K_3} & \frac{1}{K_3} \end{pmatrix} \text{ e } \phi = \begin{pmatrix} -\frac{s^2}{(s+\lambda)^2} y \\ -\frac{s}{(s+\lambda)^2} y \\ \frac{1}{(s+\lambda)^2} r \end{pmatrix}$$

Para a implementação do modelo foi utilizado o script apresentado a seguir.

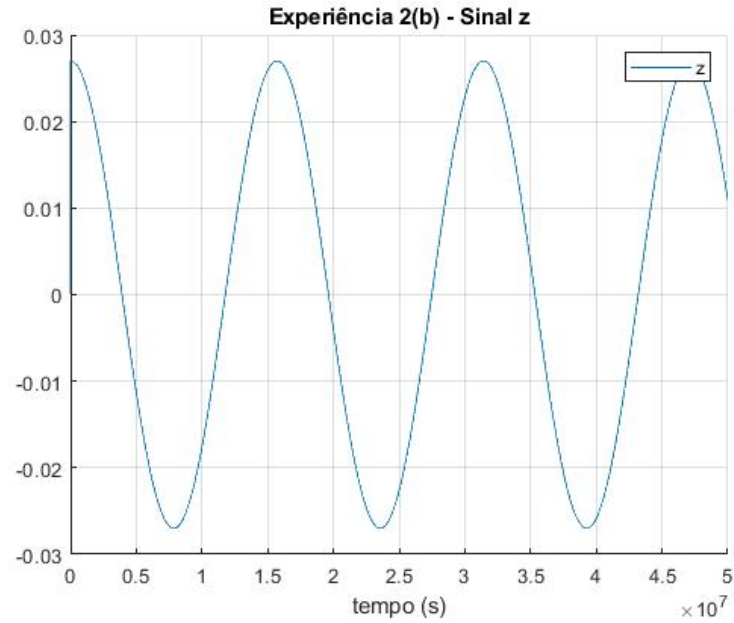
```

1
2 % Experiencia 2 - Item (b)
3 z_b= lsim(filtro, y, t);
4
5 ydd_f= lsim(s^2*filtro, y, t);
6 yd_f= lsim(s*filtro, y, t);

```

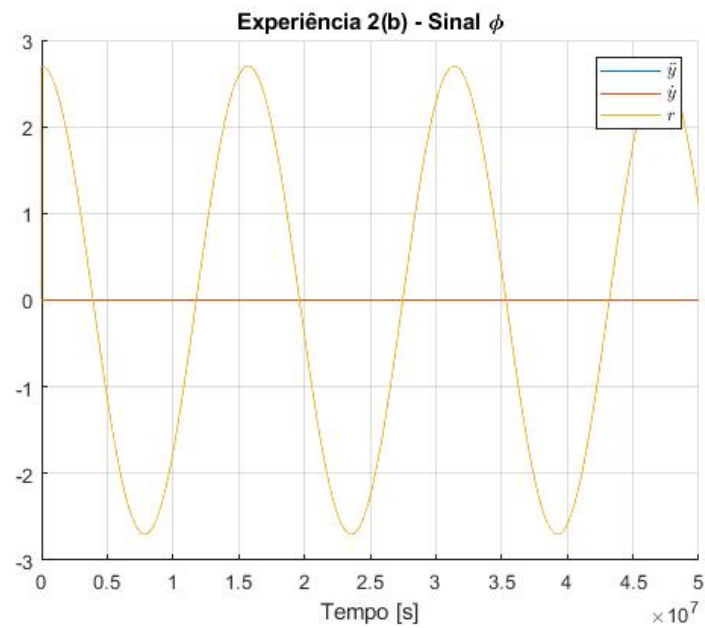
```
7
8 r_f = lsim(filtro, r, t);
9
10 phi_b= [ydd_f yd_f r_f]';
11
12 index_fig= index_fig + 1;
13 figure (index_fig)
14 hold on
15 grid on
16 plot(t, z_b)
17 title ("Experiencia 2(b) - Sinal z")
18 legend ('z')
19 xlabel ('tempo (s)')
20
21 index_fig= index_fig + 1;
22 figure (index_fig)
23 hold on
24 grid on
25 plot(t, phi_b)
26 title ("Experiencia 2(b) - Sinal \phi")
27 hLeg = legend ('$\\ddot{y}$', '$\\dot{y}$', '$r$');
28 set(hLeg, 'Interpreter', 'latex');
29 xlabel ('Tempo [s]')
```

A Figura 8 mostra o sinal z do modelo paramétrico da Equação 15, na qual o valor de λ foi definido como sendo 1.

Figura 8: Sinal z do modelo paramétrico

Fonte: Autoria própria

Na Figura 9, são apresentados os sinais da matriz ϕ , considerando $\lambda = 1$.

Figura 9: Sinal ϕ do modelo paramétrico

Fonte: Autoria própria

2.1.3. c)

De forma análoga ao que foi realizado no item **a**, considerando o modelo paramétrico dinâmico da Equação 1 e o parâmetro $K_2 = 12$, também conhecido, foi obtido o modelo apresentado na Equação 16 apresentada.

$$r(t) - K_2 \dot{y}(t) = \begin{pmatrix} K_1 & K_3 \end{pmatrix} \cdot \begin{pmatrix} \ddot{y}(t) \\ y(t) \end{pmatrix} \quad (16)$$

Assim como nos itens anteriores, é adicionado um filtro afim de estimar os sinais $\dot{y}(t)$ e $\ddot{y}(t)$. Com isso, o modelo paramétrico final é dado pela Equação 17.

$$\frac{r}{(s + \lambda)^2} - \frac{K_2 \cdot s}{(s + \lambda)^2} y = \begin{pmatrix} K_1 & K_3 \end{pmatrix} \cdot \begin{pmatrix} \frac{s^2}{(s + \lambda)^2} y \\ \frac{1}{(s + \lambda)^2} y \end{pmatrix} \quad (17)$$

Na qual:

$$z = \frac{r}{(s + \lambda)^2} - \frac{K_2 \cdot s}{(s + \lambda)^2} y; \theta^{*T} = \begin{pmatrix} K_1 & K_3 \end{pmatrix} \text{ e } \phi = \begin{pmatrix} \frac{s^2}{(s + \lambda)^2} y \\ \frac{1}{(s + \lambda)^2} y \end{pmatrix}$$

Para a implementação do modelo foi utilizado o script apresentado a seguir.

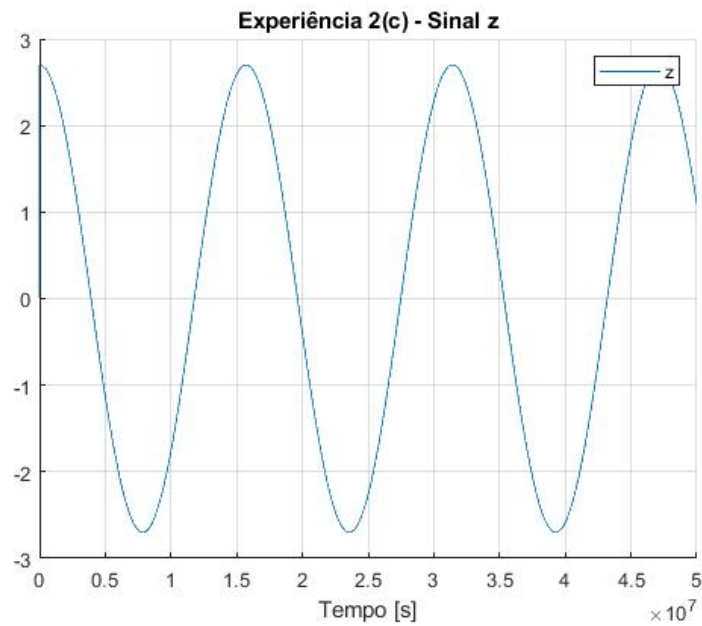
```

1
2 % Experiencia 2 - Item (c)
3 z_c= z - K2*yd_f; % Sinal z com K2 conhecido
4 phi_c= [ydd_f y_f]; % Sinal phi com K2 conhecido
5
6 index_fig= index_fig + 1;
7 figure (index_fig)
8 hold on
9 grid on
10 plot(t, z_c)
11 title ("Experiencia 2(c) - Sinal z")
12 legend ('z')
13 xlabel ('Tempo [s]')
14
15 index_fig= index_fig + 1;
16 figure (index_fig)
17 hold on
18 grid on
19 plot(t, phi_c)
20 title ("Experiencia 2(c) - Sinal \phi")
21 hLeg = legend ("$\ddot{y}$", '$y$');
```

```
22 set(hLeg,'Interpreter','latex');  
23 xlabel ('Tempo [s]')
```

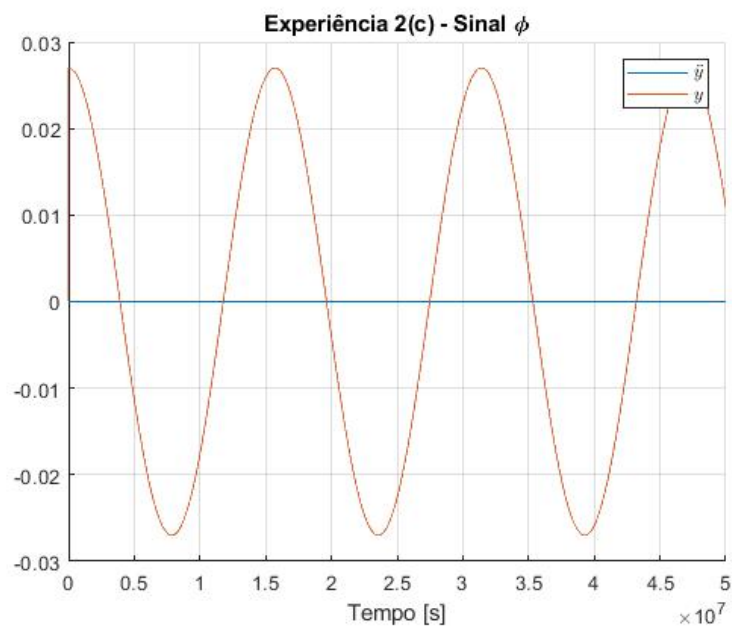
Na Figura 10 é apresentado o sinal z para $\lambda = 1$.

Figura 10: Sinal z do modelo paramétrico



Fonte: Autoria própria

Na Figura 11 são apresentados os sinais da matriz ϕ . É possível notar que ela possui um sinal a menos que as anteriores, pois nesse caso há um parâmetro desconhecido a menos.

Figura 11: Sinal ϕ do modelo paramétrico

Fonte: Autoria própria

3. Experiência 3 – Modelos Paramétricos

Analizando os resultados obtidos nas Experiências 1 e 2, responda:

- (a) Por que foi aplicado um filtro para determinar o modelo paramétrico do sistema proposto?
- (b) Como você determinou a ordem do filtro?
- (c) Qual a consequência da introdução deste filtro para a resposta do sistema?
- (d) O que acontece se aumentarmos o valor do polo do filtro? E se diminuirmos o valor do polo do filtro?
- (e) Como você escolheu a variável z do modelo paramétrico? Por quê?

3.1. Resolução

3.1.1. a)

Para a determinação do modelo paramétrico das experiências 1 e 2, é necessário ter acesso aos parâmetros \dot{x} , \ddot{x} e \dot{y} , \ddot{y} , respectivamente, porém inicialmente não é possível mensurar tais parâmetros a cada instante t . Por isso, faz-se necessário a adição de um filtro de 2º ordem da forma $\frac{1}{(s+\lambda)^2}$ em ambos os lados da equação e com $\lambda > 0$ para garantir a estabilidade do sistema.

3.1.2. b)

A ordem do filtro foi determinada de acordo com o estado de maior ordem não acessível do modelo a ser parametrizado.

3.1.3. c)

A resposta do sistema com a adição de um filtro geralmente resulta em um atraso e uma atenuação no sinal, na qual a sua influência dependerá sempre do valor de λ . Além disso, pode ser que a adição do filtro (em geral são polos) influencie diretamente na estabilidade do sistema.

3.1.4. d)

Quanto menor o valor do polo do filtro, pela resposta em frequência de um filtro de primeira ordem, maior é o seu ganho DC e o atraso aplicado no sinal. Quanto maior é seu valor, menos atraso é aplicado no sistema, mas em contrapartida maior será a atenuação do sinal.

3.1.5. e)

O objetivo do modelo paramétrico é identificar os parâmetros desconhecidos através dos sinais conhecidos, para isso, em todos os casos, foram isolados os sinais com parâmetros conhecidos, a esses foi definida a variável z .

4. Experiência 4 – Identificação de Parâmetros

Considere o sistema da Experiência 1. Projete um algoritmo de identificação de parâmetros baseado no método dos mínimos quadrados para estimar as constantes k , f e M , sendo x e u disponíveis a cada instante t . Gere os sinais de \hat{k} , \hat{f} e \hat{M} .

4.1. Resolução

Retomando da Experiência 1, a equação do modelo paramétrico do sistema, considerando x e u disponíveis a cada instante t , é dado pela Equação 18.

$$\underbrace{\frac{u}{(s + \lambda)^2}}_z = \underbrace{\begin{bmatrix} M & f & k \end{bmatrix}}_{\theta^{*T}} \underbrace{\begin{bmatrix} \frac{s^2}{(s + \lambda)^2}x \\ \frac{s}{(s + \lambda)^2}x \\ \frac{1}{(s + \lambda)^2}x \end{bmatrix}}_{\phi} \quad (18)$$

Para realizar a estimativa dos parâmetros M , k e f , o método escolhido foi o dos Mínimos Quadrados Recursivo puro. Algumas expressões precisam ser definidas para a sua implementação, como a do erro ϵ e do fator de correção m_s são definidos pelas Equações 19 e 20.

$$\epsilon = \frac{z(t_i) - \hat{z}(t_i)}{(m_s)^2} \quad (19)$$

$$m_s = 1 + \phi(t_i)^T \phi(t_i) \quad (20)$$

sendo $z(t_i)$ o valor do sinal z original do modelo, $\hat{z}(t_i)$ o valor do sinal z a partir dos parâmetros estimados \hat{M} , \hat{k} e \hat{f} , todos no instante de simulação t_i .

Além disso, as expressões que definem a variação dos parâmetros P e θ são dadas pelas Equações 21 e 22.

$$\dot{P} = -\frac{P\phi\phi^T P}{m_s^2} \quad (21)$$

$$\dot{\theta} = P\epsilon\phi(i) \quad (22)$$

O seu pseudocódigo para implementação em MATLAB pode ser visto na sequência pelo Algoritmo na sequência.

Algoritmo 1: Método dos Mínimos Quadrados Puro Recursivo

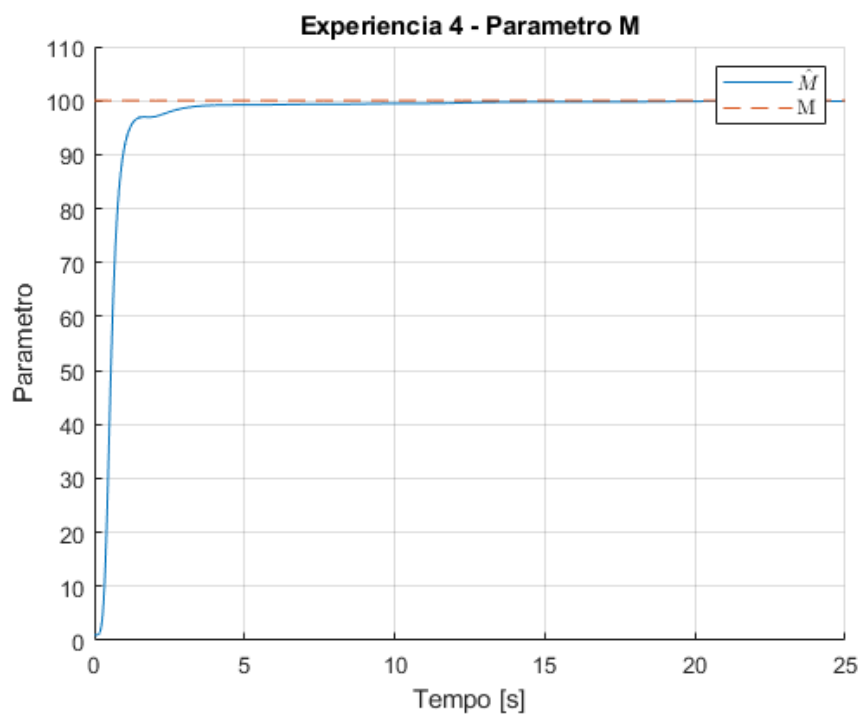
Require: t, z, ϕ
Ensure: $\hat{\theta}$
 Definir P_0
 Definir θ_0
for $i \leftarrow 1, \dots, \text{length}(t)$ **do**
 $m_s \leftarrow 1 + \phi(i)^T \phi(i)$
 $\dot{P} = -(P_0 \phi(i) \phi(i)^T P_0) / m_s^2$
 $P = \dot{P}.dt + P_0$
 $\hat{z}(i) = \theta_0 \phi(i)$
 $\epsilon = (z(i) - \hat{z}(i)) / m_s^2$
 $\dot{\theta} = P \epsilon \phi(i)$
 $\theta = \dot{\theta}.dt + \theta_0$
 $P_0 = P$
 $\theta_0 = \theta$
end for

Os valores iniciais escolhidos arbitrariamente para o experimento, considerando o desempenho final obtido, são mostrados abaixo.

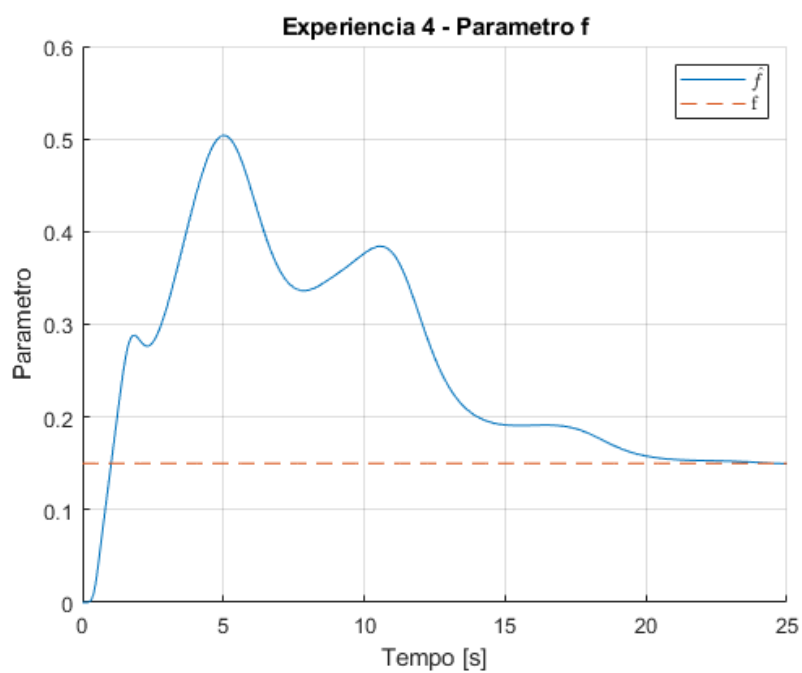
$$P_0 = 10000 \begin{bmatrix} 200 & 0 & 0 \\ 0 & 1 & 0 \\ 0 & 0 & 100 \end{bmatrix}$$

$$\theta_0 = \begin{bmatrix} 1 \\ 0 \\ 1 \end{bmatrix}$$

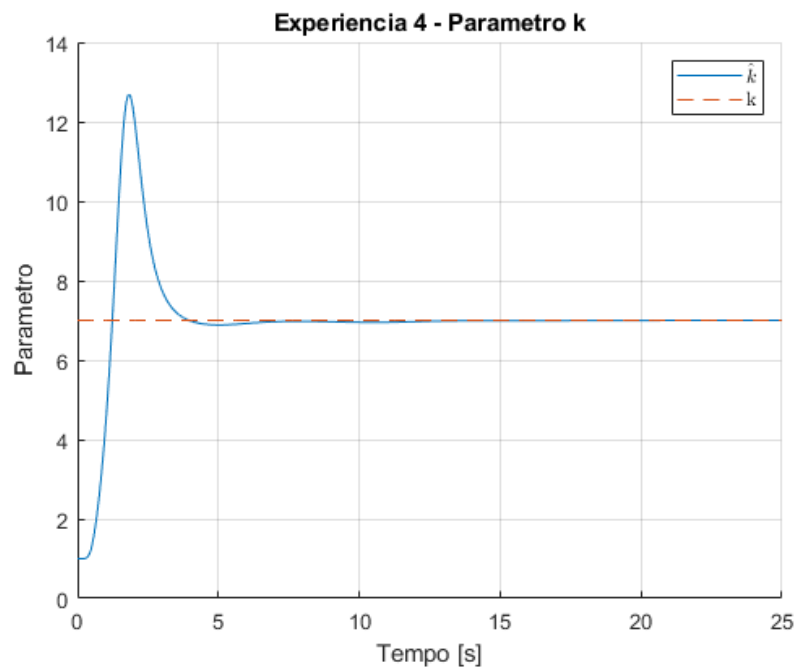
Aplicando o Método dos Mínimos Quadrados Puro Recursivo para o modelo massa-mola do Experimento 1, os gráficos dos parâmetros estimados \hat{M} , \hat{f} e \hat{k} são mostrados nas Figuras 12, 13 e 14, respectivamente.

Figura 12: Estimativa do parâmetro \hat{M} 

Fonte: Autoria própria

Figura 13: Estimativa do parâmetro \hat{f} 

Fonte: Autoria própria

Figura 14: Estimativa do parâmetro \hat{k} 

Fonte: Autoria própria

Como é possível notar pelos gráficos, todos os parâmetros foram encontrados, ou seja, convergiram para os valores originais tracejados em vermelho, sendo o parâmetro \hat{f} mais custoso a convergir. Caso seja necessário aumentar a velocidade, basta alterar a matriz P_0 .

O algoritmo implementado em MATLAB para a execução do método pode ser visto na sequência.

```

1  clc
2  clear
3  close all
4
5  index_fig = 0;
6
7  %% Experiencia 4
8
9  % Sistema da questao 1
10
11 % Parametros do problema
12 M = 100;
13 f = 0.15;
14 k = 7;

```

```
15
16 lambda= 1; % Parametro do filtro
17
18 t = linspace(0,25,1000); % Vetor de tempo
19 u = 1+cos(pi*(t/3)); % Sinal de entrada
20
21 filtro = tf(1 , [1 2*lambda lambda^2]); % Implementacao do filtro
22 z= lsim(filtro, u, t); % Sinal z do modelo parametrico
23
24 lambda= 1; % Parametro do filtro
25
26 G= tf(1, [M f k]); % Resposta original da planta
27 x= lsim(G, u, t);
28
29 s= tf("s");
30 filtro = tf(1 , [1 2*lambda lambda^2]); % Declaracao do filtro
31
32 % Aplicacoes de filtro para o vetor phi
33 xdd_f= lsim(s^2*filtro, x,t);
34 xd_f= lsim(s*filtro, x, t);
35 x_f= lsim(filtro, x, t);
36
37 %Vetor phi com filtro
38 phi= [xdd_f xd_f x_f]';
39
40 %% Experiencia 4 - MMQ
41
42 % Matriz inicial P
43 P0 = 10000*[200 0 0;
44            0 1 0;
45            0 0 100];
46
47 % Matriz inicial theta
48 theta_0 = [1;
49            0;
50            1;];
51
52 % Passo de simulacao
53 dt = t(2)-t(1);
54
55 % Progressao de theta
56 theta_v = [theta_0];
57 P_m= [];
```

```

58 % Algoritmo MMQ
59 for i=1:length(t)
60     phi_i = phi(:,i); % Valor de phi pro instante i
61
62     ms = 1+phi_i'*phi_i; % Valor de ms para o instante i
63
64     P_d = -P0*phi_i*phi_i'*P0/(ms^2); % Calculo da derivada de P
65     P = P0 + P_d*dt; % Atualizacao de P
66
67     z_i = z(i); % Valor de z para o instante i
68     z_hat = theta_0'*phi_i; % Estimativa de z com os parametros atuais
69
70     e = (z_i - z_hat)/ms^2; % Calculo de erro
71
72     theta_d = P*e*phi_i; % Calculo da derivada de theta
73     theta = theta_0 + theta_d*dt; % Atualizacao de theta
74
75     theta_v(:, end+1) = theta; % Armazenamento da progressao de theta_v
76     P_sin= svds(P);
77     P_m(:, end+1)= P_sin;
78
79     % Valores para a proxima iteracao
80     P0 = P;
81     theta_0 = theta;
82 end
83
84 %% Experimento 4 - Plots
85
86 % Plot M
87
88 linha_referencia = 100*ones(1,length(t)); % Valor de referencia para M
89
90 index_fig = index_fig + 1;
91 figure(index_fig)
92 grid on
93 hold on
94 plot(t, theta_v(1,1:length(t)))
95 plot(t, linha_referencia, '--')
96 ylim([0,110])
97 title("Experiencia 4 - Parametro M");
98 hLeg = legend ("$\hat{M}$", 'M');
99 set(hLeg,'Interpreter','latex');
100 xlabel ('Tempo [s]');

```

```
101 ylabel("Parametro");
102
103 %Plot f
104
105 linha_referencia = 0.15*ones(1,length(t)); % Valor de referencia para f
106
107 index_fig = index_fig + 1;
108 figure(index_fig)
109 grid on
110 hold on
111 plot(t, theta_v(2,1:length(t)))
112 plot(t, linha_referencia, '--')
113 title("Experiencia 4 - Parametro f");
114 hLeg = legend ("$\hat{f}$", 'f');
115 set(hLeg, 'Interpreter', 'latex');
116 xlabel ('Tempo [s]');
117 ylabel("Parametro");
118
119 %Plot k
120
121 linha_referencia = 7*ones(1,length(t)); % Valor de referencia para k
122
123 index_fig = index_fig + 1;
124 figure(index_fig)
125 grid on
126 hold on
127 plot(t, theta_v(3,1:length(t)))
128 plot(t, linha_referencia, '--')
129 title("Experiencia 4 - Parametro k");
130 hLeg = legend ("$\hat{k}$", 'k');
131 set(hLeg, 'Interpreter', 'latex');
132 xlabel ('Tempo [s]');
133 ylabel("Parametro");
```


5. Experiência 5 – Identificação de Parâmetros

Seja o sistema de controle de velocidade, $\omega(t)$, por tensão de armadura, $V_a(t)$, de um motor CC representado pela função de transferência a seguir:

$$G(s) = \frac{\omega(s)}{V_a(s)} = \frac{K_1}{s^2 + K_2s + K_3} \quad (23)$$

tal que $K_1 = \frac{K_m}{JL_a}$, $K_2 = \frac{(JR_a + bL_a)}{JL_a}$ e $K_3 = \frac{K_b K_m}{JL_a}$, sendo J a inércia do rotor, b o coeficiente de atrito viscoso do rotor, R_a a resistência de armadura, L_a a indutância de armadura e $K_m = Kb$ a constante do motor. Considere os dados do motor CC: $J = 0.001 \text{ Nms}^2/\text{rad}$, $b = 0.268 \text{ Nms/rad}$, $R_a = 1.36\Omega$, $L_a = 3.6 \text{ mH}$ e $K_m = 0.838 \text{ Nm/A}$ e a tensão de armadura de entrada $V_a(t) = \sin\left(\frac{\pi}{3}t\right)$.

- (a) Determine um modelo paramétrico admitindo K_1 , K_2 e K_3 parâmetros constantes desconhecidos, sendo $\omega(t)$ e $V_a(t)$ disponíveis a cada instante t .
- (b) Projete um algoritmo de identificação de parâmetros baseado no método dos mínimos quadrados para estimar as constantes K_m , K_1 , K_2 e K_3 , sendo $\omega(t)$ e $V_a(t)$ disponíveis a cada instante t . Gere os sinais de \hat{K}_1 , \hat{K}_2 e \hat{K}_3 .

5.1. Resolução

5.1.1. a)

A representação do modelo paramétrico será desenvolvida utilizando o mesmo raciocínio dos exercícios anteriores. Dessa forma, inicialmente teremos:

$$\frac{\omega(s)}{V_a(s)} = \frac{K_1}{s^2 + K_2s + K_3} \quad (24)$$

Isolando os termos conhecidos, teremos:

$$K_1 V_a = s^2 \omega + s K_2 \omega + K_3 \omega \quad (25)$$

Por fim, isolando V_a , chegamos na seguinte equação:

$$V_a = \frac{s^2}{K_1} \omega + \frac{s K_2}{K_1} \omega + \frac{K_3}{K_1} \omega \quad (26)$$

Por fim, escrevendo a equação da forma $z = \theta^{*T} \phi$ e adicionando o filtro de segunda ordem $\frac{1}{(s+\lambda)^2}$, teremos:

$$\frac{1}{(s + \lambda)^2} V_a = \begin{pmatrix} \frac{1}{K_1} & \frac{K_2}{K_1} & \frac{K_3}{K_1} \end{pmatrix} \cdot \begin{pmatrix} \frac{s^2}{(s+\lambda)^2} \omega \\ \frac{s}{(s+\lambda)^2} \omega \\ \frac{1}{(s+\lambda)^2} \omega \end{pmatrix} \quad (27)$$

No script abaixo consta a definição dos parâmetros iniciais e a implementação do modelo paramétrico no MATLAB.

```

1 % Experimento 5 - modelo parametrico
2
3 % Parametros do problema
4 Ra= 1.36;
5 La= 0.0036;
6 Km= 0.838;
7 Kb=Km;
8 J= 0.001;
9 b= 0.268;
10 t= linspace(0,10,10000);
11
12 lambda= 1;
13
14 % Constantes simplificadas do problema
15 K1= Km/(J*La);
16 K2= (J*Ra + b*La)/(J*La);
17 K3= (Kb*Km)/(J*La);
18
19 % Vetor de tempo
20 t = linspace(0,25,1000);
21 % Sinal de entrada (Nesse caso, um sinal rico)
22 Va= sin(pi*t/3)+sin(pi*t/2)+sin(5*pi*t/3);%+sin(100*pi*t/3)+sin(0.1*pi*t
    /3)+sin(400*pi*t/3)+sin(38*pi*t/3)+sin(0.001*pi*t/3)+sin(42*pi*t/3);
23
24 % Funcao de transferencia
25 G_5= tf(K1, [1 K2 K3]);
26 % Obtencao do sinal de entrada w
27 w= lsim(G_5, Va, t);
28
29 % Declaracao do filtro
30 s= tf('s');
31 filtro= 1/(s+lambda)^2;
32
33 % Sinais do modelo parametrico
34 z= lsim(filtro,Va,t);

```

```
35
36 phi_1= lsim(filtro*s^2,w,t);
37 phi_2= lsim(filtro*s,w,t);
38 phi_3= lsim(filtro,w,t);
39
40 phi= [phi_1 phi_2 phi_3]';
```

5.1.2. b)

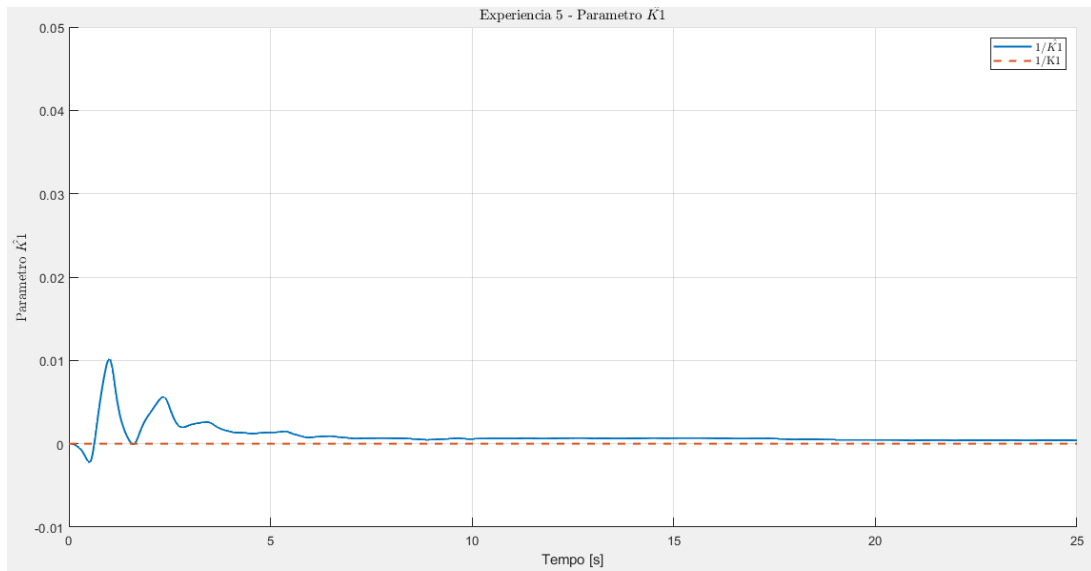
Logo após a parametrização, foi montado um algoritmo para estimação dos parâmetros K_m , K_1 , K_2 e K_3 , o método escolhido foi o dos Mínimos Quadrados Recursivo puro.

O raciocínio utilizado foi semelhante ao apresentado no exercício 4 e novamente foram utilizadas as Equações 19, 20, 21 e 22 com o objetivo de definir ϵ , m_s , \dot{P} e $\dot{\theta}$, que são necessários para a implementação.

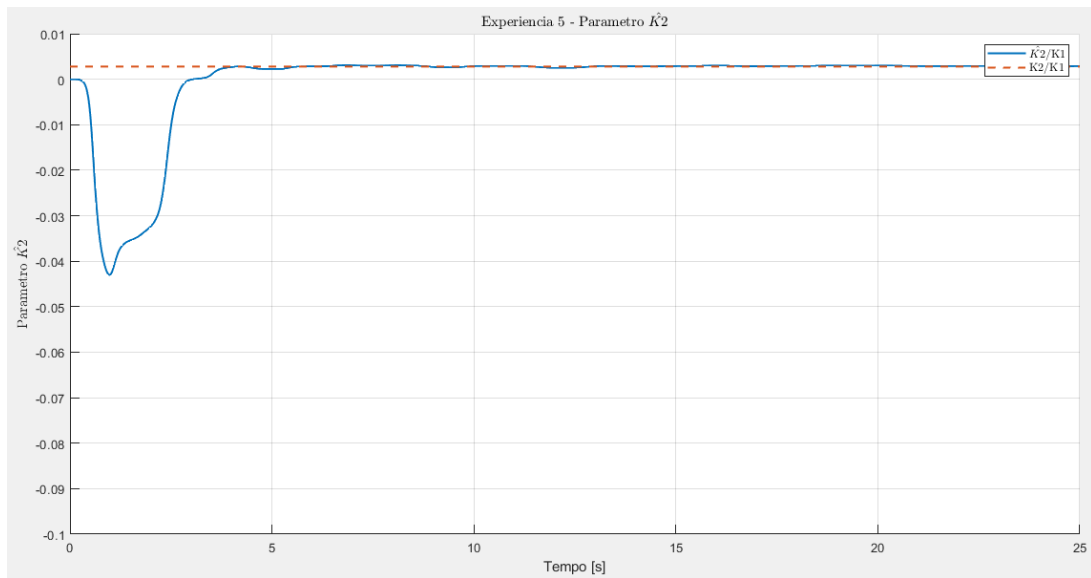
Os valores iniciais de P_0 e θ_0 que foram escolhidos arbitrariamente para o experimento, considerando o desempenho final obtido, são mostrados a seguir:

$$P_0 = 10 \cdot \begin{pmatrix} 100 & 0 & 0 \\ 0 & 10 & 0 \\ 0 & 0 & 10 \end{pmatrix} \quad ; \quad \theta_0 = \begin{pmatrix} 0 \\ 0 \\ 1 \end{pmatrix}$$

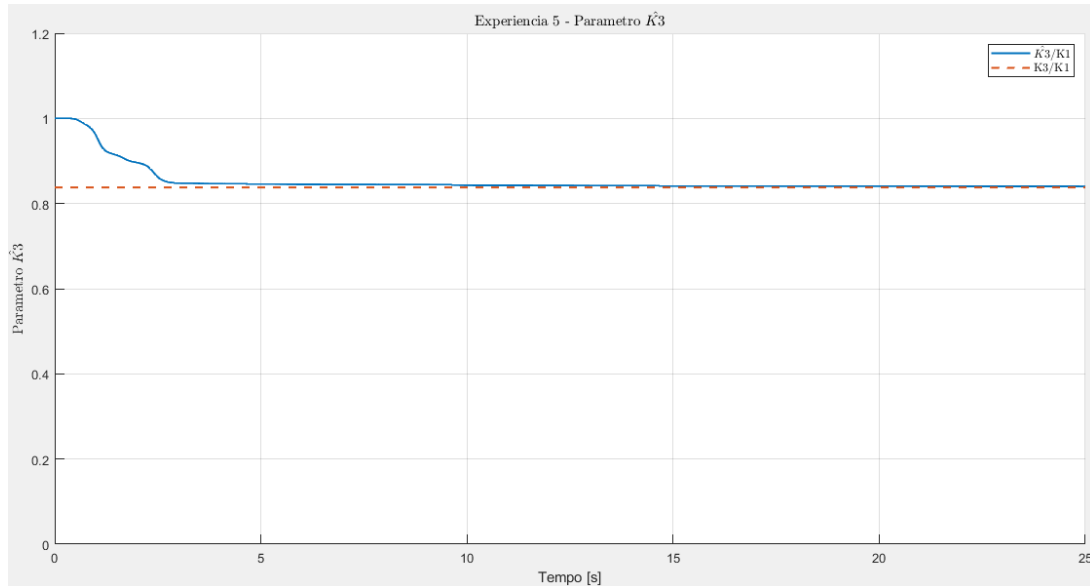
Portanto, é possível obter os gráficos dos parâmetros estimados \hat{K}_1 , \hat{K}_2 e \hat{K}_3 que são mostrados nas Figuras 15, 16 e 17, respectivamente.

Figura 15: Estimativa do parâmetro \hat{K}_1 

Fonte: Autoria própria

Figura 16: Estimativa do parâmetro \hat{K}_2 

Fonte: Autoria própria

Figura 17: Estimativa do parâmetro \hat{K}_3 

Fonte: Autoria própria

No script abaixo é possível observar a implementação do algoritmo utilizado no MATLAB e a plotagem dos sinais de \hat{K}_1 , \hat{K}_2 e \hat{K}_3 estimados.

```

1
2 % Experimento 5 - MMQ
3
4 % Matriz inicial P
5 P0= 10*[100 0 0; 0 10 0; 0 0 10];
6
7 % Matriz inicial theta
8 theta_0= [0;0;1];
9
10 dt = t(2)-t(1);
11 theta_m= [];
12
13 for i=1:length(t)
14     phi_i = phi(:,i); % Valor de phi pro instante i
15
16     ms = 1+phi_i'*phi_i; % Valor de ms para o instante i
17
18     P_d = -P0*phi_i*phi_i'*P0/(ms^2); % Calculo da derivada de P
19     P = P0 + P_d*dt; % Atualizacao de P
20
21     z_i = z(i); % Valor de z para o instante i
22     z_hat = theta_0'*phi_i; % Estimativa de z com os parametros atuais

```

```

23
24     e = (z_i - z_hat)/(ms^2); % Calculo de erro
25
26     theta_d = P*e*phi_i; % Calculo da derivada de theta
27     theta = theta_0 + theta_d*dt; % Atualizacao de theta
28
29     theta_m(:, end+1) = theta; % Armazenamento da progressao de theta_v
30
31     % Valores para a proxima iteracao
32     P0 = P;
33     theta_0 = theta;
34 end
35
36 %% Experimento 5 - plots
37
38 one= ones(1,length(t));
39 linha_referencia1 = one*(1/K1);
40 linha_referencia2 = one*(K2/K1);
41 linha_referencia3 = one*(K3/K1);
42
43 index_fig = index_fig + 1;
44 figure(index_fig)
45 grid on
46 hold on
47 plot(t, theta_m(1,:)', 'LineWidth', 1.5)
48 plot(t, linha_referencia1, '--', 'LineWidth', 1.5)
49 htitle = title("Experiencia 5 - Parametro  $\hat{K}_1$ ");
50 set(htitle, 'Interpreter', 'latex');
51 hLeg = legend ("1/ $\hat{K}_1$ ", "1/K1");
52 set(hLeg, 'Interpreter', 'latex');
53 xlabel ('Tempo [s]');
54 hylabel = ylabel("Parametro  $\hat{K}_1$ ");
55 set(hylabel, 'Interpreter', 'latex');
56 ylim([-0.01,0.05]);
57
58 index_fig = index_fig + 1;
59 figure(index_fig)
60 grid on
61 hold on
62 plot(t, theta_m(2,:)', 'LineWidth', 1.5)
63 plot(t, linha_referencia2, '--', 'LineWidth', 1.5)
64 htitle = title("Experiencia 5 - Parametro  $\hat{K}_2$ ");
65 set(htitle, 'Interpreter', 'latex');

```

```
66 hLeg = legend ("$\hat{K2}$/$K1", "K2/K1");
67 set(hLeg, 'Interpreter', 'latex');
68 xlabel ('Tempo [s]');
69 hylabel = ylabel("Parametro $\hat{K2}$");
70 set(hylabel, 'Interpreter', 'latex');
71 ylim([-0.1,0.01]);
72
73 index_fig = index_fig + 1;
74 figure(index_fig)
75 grid on
76 hold on
77 plot(t, theta_m(3,:), 'LineWidth', 1.5)
78 plot(t, linha_referencia3, '--', 'LineWidth', 1.5)
79 htitle = title("Experiencia 5 - Parametro $\hat{K3}$");
80 set(htitle, 'Interpreter', 'latex');
81 hLeg = legend ("$\hat{K3}$/$K1", "K3/K1");
82 set(hLeg, 'Interpreter', 'latex');
83 xlabel ('Tempo [s]');
84 hylabel = ylabel("Parametro $\hat{K3}$");
85 set(hylabel, 'Interpreter', 'latex');
86 ylim([0,1.2]);
```

6. Experiência 6 – Identificação de Parâmetros

- (a) Os valores dos parâmetros estimados alcançaram os valores esperados? Comente.
- (b) Por que o método aplicado é nomeado "Método dos Mínimos Quadrados"?
- (c) Enumere os passos para implementação do "Método dos Mínimos Quadrados" no procedimento de identificação paramétrica.
- (d) Quais características o sinal de entrada do sistema deve apresentar para obtermos um bom desempenho do sistema de identificação?
- (e) Qual variável determina a velocidade do processo de identificação? Como ela atua?

6.1. Resolução

6.1.1. a)

Não. Isso ocorre pois os parâmetros são estimados com base na dinâmica do erro do sistema, o que garante apenas que esses parâmetros serão limitados. Existem infinitas soluções que fazem com que o modelo da planta siga o modelo de referência, logo não há garantia de que a solução encontrada seja a solução em que os parâmetros estimados sigam os valores ideais.

6.1.2. b)

O método aplicado recebe esse nome pois atua de uma forma a minimizar uma função custo que envolve o erro quadrático da diferença entre os valores observados e os valores estimados. Isso resulta em uma previsão adaptativa que pode reduzir ou quase zerar o erro do sistema.

6.1.3. c)

A implementação do método dos mínimos quadrados pode ser feita seguindo os seguintes passos:

1. Gerar os sinais z e ϕ do sistema a ser analisado.
2. Definir os valores iniciais P_0 e θ_0 ;
3. Fazer os passos 4 a 10 em *loop* até finalizar o procedimento;

4. Estimar a saída com os parâmetros atuais;
5. Calcular o fator de correção Ms ;
6. Estimar a variação da matriz de adaptação P ;
7. Calcular o próximo P em um intervalo de tempo dt ;
8. Calcular o erro de estimativa;
9. Estimar a variação dos parâmetros θ ;
10. Calcular o próximo θ em um intervalo de tempo dt .

Este procedimento foi detalhado no pseudocódigo do Algoritmo 1 deste documento.

6.1.4. d)

Para possibilitar um bom desempenho no sistema de identificação, o sinal de entrada deve ser um sinal “rico”, ou seja, deve conter uma faixa de frequências ampla o suficiente para excitar toda a dinâmica do sistema, de forma permanente, sob diferentes condições ao longo do tempo

6.1.5. e)

A variável que determina a velocidade de processo é matriz P . Isso ocorre, pois ela atua como fator de aprendizagem no processo de atualização dos parâmetros, multiplicando o erro de estimação dos parâmetros. Quanto maior os valores de $P(0)$, mais rápido os parâmetros irão convergir para os valores esperados.

7. Experiência 7(a) – Controle Adaptativo

Considere o sistema de primeira ordem:

$$\dot{x} = ax + bu, \quad x(0) = x_0. \quad (28)$$

onde a e b são constantes desconhecidas com $b > 0$. Projete e analise um sistema de Controle Adaptativo em Modelo de Referência (MRAC) direto que possa estabilizar o sistema e regular x tendendo a zero para qualquer condição inicial x_0 . Simule seu sistema para diferentes condições iniciais e sinais de entrada de referência, e para os seguintes parâmetros: $a = -1, 2$ e $b = 5$.

Para implementação no MATLAB considere $a_m = 10$; $b_m = 1$; $r = 5\cos(t) + 2\sin(\pi t)$. Gere os sinais de $x(t)$, $x_m(t)$, $e(t)$, $k(t)$ e $l(t)$. Confira se $k(t)$ e $l(t)$ alcançaram k^* e l^* respectivamente. Comente.

7.1. Resolução:

Para o desenvolvimento da sistema de controle será utilizado o modelo de referência apresentado na Equação 29:

$$\dot{x}_m = -a_m x_m + b_m r \quad (29)$$

A lei de controle ideal, adotada para que o modelo MRAC atinja o objetivo de controle, é dada pela Equação 30.

$$u^* = -k^* x + l^* r \quad (30)$$

onde k^* e l^* são os valores ideais de ganhos do controlador.

Para obter os ganhos ideais em função dos parâmetros a e b da planta apresentado na Equação 28, é necessário igualar o sistema com o modelo de referência. Substituindo a Equação 30 na planta, obtém-se a Equação 31.

$$\begin{aligned} \dot{x} &= ax + b(-k^* x + l^* r) \\ \dot{x} &= (a - k^*)x + bl^* r \end{aligned} \quad (31)$$

Para que a lei de controle acompanhe o modelo é necessário que $\dot{x} = \dot{x}_m$. Comparando as Equações 29 e 31, obtém-se as relações apresentadas na Equação 32.

$$\begin{cases} a_m = a + bk^* \\ b_m = bl^* \end{cases} \quad (32)$$

Supondo que não seja possível obter os ganhos reais da planta, se faz necessário propor uma estratégia para estimar esses ganhos. Para isso, é proposta a lei de controle apresentada na Equação 33.

$$u = -k(t)x + l(t)r \quad (33)$$

onde $k(t)$ e $l(t)$, são aproximações de k^* e l^* , respectivamente.

Antes de substituir a lei de controle no modelo apresentado na Equação 28, é necessário realizar uma manipulação matemática somando e subtraindo o termo bu^* na equação, conforme apresentado a seguir:

$$\dot{x} = ax + bu - bk^*x + bl^*r + bk^*x - bl^*r$$

Substituindo então as Equações 32 e 33, obtém-se:

$$\begin{aligned} \dot{x} &= ax + bu - bk^*x + bl^*r + bk^*x - bl^*r \\ \dot{x} &= -a_mx + b_mr + b(k^*x - l^*r - k(t)x + l(t)r) \end{aligned} \quad (34)$$

Com a equação de \dot{x} baseada nos parâmetros ótimos e estimados, é possível encontrar a expressão para o erro do sistema, descrita da seguinte forma:

$$\begin{aligned} e &= x - x_m \\ \dot{e} &= \dot{x} - \dot{x}_m \\ \dot{e} &= (-a_mx + b_mr + b(k^*x - l^*r - k(t)x + l(t)r)) - (-a_mx_m + b_mr) \\ \dot{e} &= a_m(x_m - x) + b(k^*x - l^*r - k(t)x + l(t)r) \end{aligned} \quad (35)$$

Que pode ser reescrito como:

$$\dot{e} = a_me + b(-\tilde{k}x + \tilde{l}r) \quad (36)$$

onde \tilde{k} e \tilde{l} são os erros de estimativa dos parâmetros dados por:

$$\begin{cases} \tilde{k} = k(t) - k^* \\ \tilde{l} = l(t) - l^* \end{cases} \quad (37)$$

Para gerar as estimativas dos parâmetros propostos é eleita a função de Lyapunov candidata da Equação 38.

$$V(e, \tilde{k}, \tilde{l}) = \frac{e^2}{2} + \frac{\tilde{k}^2}{2\gamma_1}|b| + \frac{\tilde{l}^2}{2\gamma_2}|b| \quad (38)$$

onde $\gamma_1, \gamma_2 > 0$

Derivando a função se tem:

$$\dot{V}(e, \tilde{k}, \tilde{l}) = -a_me^2 - b\tilde{k}ex + b\tilde{l}er + \frac{|b|\tilde{k}\dot{\tilde{k}}}{\gamma_1} + \frac{|b|\tilde{l}\dot{\tilde{l}}}{\gamma_2} \quad (39)$$

Para garantir a estabilidade do sistema é necessário que $\dot{V}(e, \tilde{k}, \tilde{l}) \leq 0$. O único termo que garante isso pelas condições conhecidas, é $-a_me^2$. Logo, com o intuito de zerar o restante dos termos da função, são obtidas as seguintes expressões:

$$\begin{cases} b\tilde{k}ex = \frac{|b|\tilde{k}\dot{\tilde{k}}}{\gamma_1} \\ b\tilde{l}er = \frac{|b|\tilde{l}\dot{\tilde{l}}}{\gamma_2} \end{cases} \quad (40)$$

Como k^* e l^* são constantes, então $\dot{\tilde{k}} = \dot{k}$ e $\dot{\tilde{l}} = \dot{l}$. Logo, as leis de adaptações podem ser reescritas conforme apresentado nas Equações 41:

$$\begin{cases} \dot{k} = \gamma_1 ex \sin g(b) \\ \dot{l} = -\gamma_2 er \sin g(b) \end{cases} \quad (41)$$

Por fim, para a implementação do controle adaptativo, foi desenvolvido o script apresentado a seguir. Os valores de γ_1 , γ_2 , k_0 e l_0 foram definidos de forma arbitrária.

```

1 %% Experiencia 7 - (a)
2
3 % Parametros da planta
4 a = -1;
5 b = 5;
6 % Parametros do modelo de referencia
7 am = 10;
8 bm = 1;

```

```
9
10 % Valores ideais de controle
11 k_star = (a+am)/b;
12 l_star = bm/b;
13
14 % Vetor de tempo
15 dt = 0.01;
16 t = 0:dt:10;
17
18 % Sinal de entrada
19 r = 5*cos(t) + 2*sin(pi*t);
20
21 % Valores de x para o controlador ideal
22 x0 = 0;
23 x = zeros(1,length(t));
24 x(1) = x0;
25
26 % Funcao de transferencia modelo de referencia
27 s = tf('s');
28 G = bm/(s+am);
29 xm = lsim(G, r, t);
30
31 % Valores iniciais de adaptacao
32 k0 = 1;
33 l0 = 1;
34 gamma1 = 50;
35 gamma2 = 0.5;
36
37 % Valores de x para o controlador adaptativo
38 x_hat = zeros(1,length(t));
39 x0_hat = 0;
40 x_hat(1) = x0_hat;
41
42 % Vetores para progressao dos ganhos e do erro
43 k = zeros(1,length(t));
44 k(1) = k0;
45 l = zeros(1,length(t));
46 l(1) = l0;
47 e = zeros(1,length(t));
48 e(1) = x_hat(1)-xm(1);
49
50 for i=2:length(t)
51     % X com controlador adaptativo
```

```
52     e(i-1) = x_hat(i-1) - xm(i-1);
53
54     k_dot = gamma1*e(i-1)*x_hat(i-1)*sign(b);
55     k(i) = k_dot*dt + k(i-1);
56
57     l_dot = -gamma2*e(i-1)*r(i-1)*sign(b);
58     l(i) = l_dot*dt + l(i-1);
59
60     u_hat = -k(i)*x_hat(i-1) + l(i)*r(i-1);
61     x_hat_dot = a*x_hat(i-1) + b*u_hat;
62     x_hat(i) = x_hat_dot * dt + x_hat(i-1);
63
64     % X como controlador ideal
65     u = -k_star*x(i-1) + l_star*r(i-1);
66     x_dot = a*x(i-1) + b*u;
67     x_i = x(i-1) + x_dot*dt;
68     x(i) = x_i;
69 end
70
71 figure(1)
72 hold on
73 grid on
74 plot(t, x, "LineWidth", 1)
75 plot(t, xm, '--', "LineWidth", 2)
76 plot(t, x_hat, "LineWidth", 1)
77 legend("Controlador Ideal", "Modelo de Referencia", "Adaptativo")
78 xlabel("Tempo [s]")
79 ylabel("Amplitude")
80 title("Experiencia 7(a) - Estado x")
81
82
83 figure(2)
84 hold on
85 grid on
86 plot(t,e)
87 xlabel("Tempo [s]")
88 ylabel("Erro")
89 title("Experiencia 7(a) - Erro de adaptacao")
90
91 k_star_vector = k_star*ones(1, length(t));
92 figure(3)
93 hold on
94 grid on
```

```

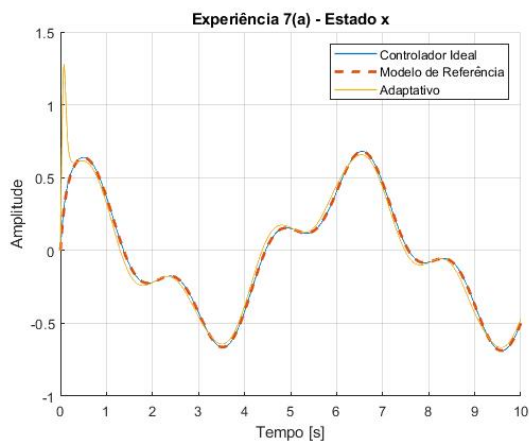
95 plot(t,k)
96 plot(t, k_star_vector, '--')
97 legend("Adaptativo", "Ideal")
98 xlabel("Tempo [s]")
99 ylabel("Erro")
100 title("Experiencia 7(a) - Parametro de controle k")
101 ylim([0, 9])
102
103 l_star_vector = l_star*ones(1, length(t));
104 figure(4)
105 hold on
106 grid on
107 plot(t,l)
108 plot(t, l_star_vector, '--')
109 legend("Adaptativo", "Ideal")
110 xlabel("Tempo [s]")
111 ylabel("Erro")
112 title("Experiencia 7(a) - Parametro de controle l")
113 ylim([0, 1.5])

```

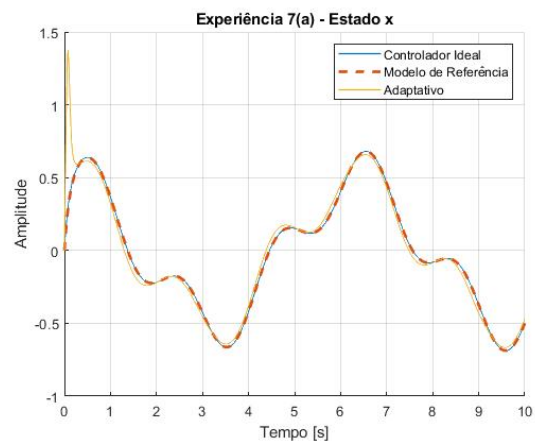
O sistema foi implementado considerando dois valores de a , -1 e 2 . Para cada valor de a foram gerados os gráficos do Estado x , do erro e e dos parâmetros $k(t)$ e $l(t)$ em comparação com seus valores ideais.

Figura 18: Estado x em comparação com x_m

(a) Estado x para $a = -1$

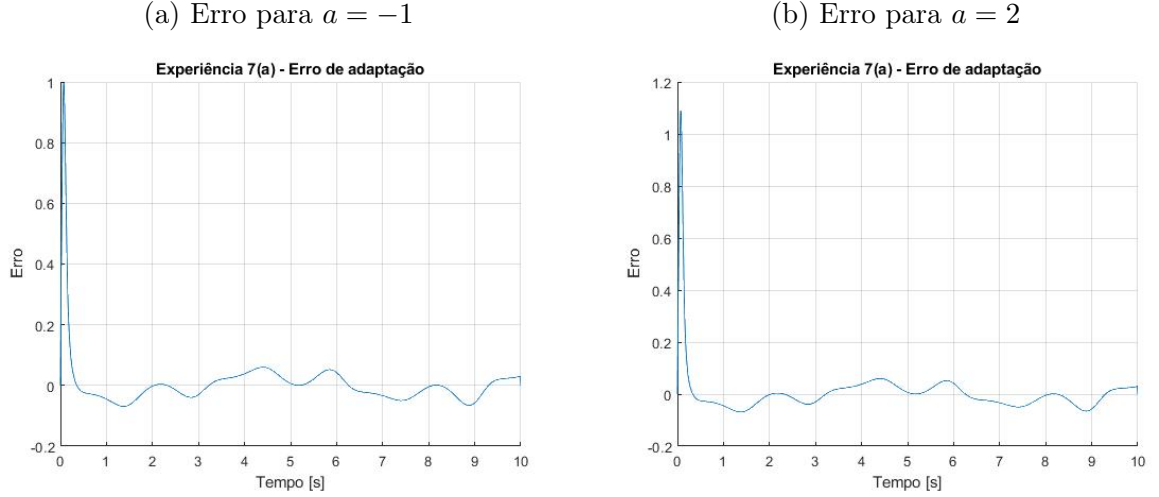


(b) Estado x para $a = 2$

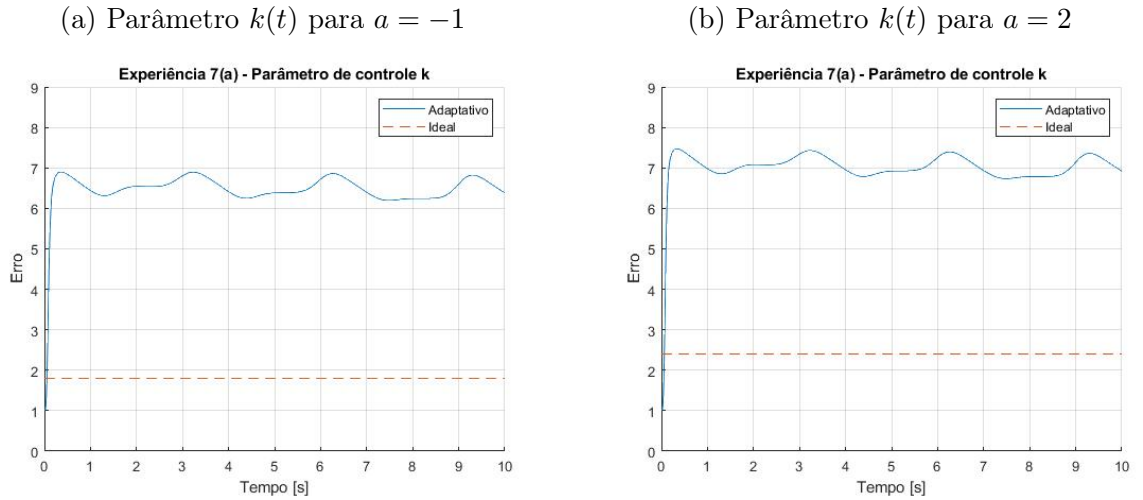


Fonte: Autoria própria.

Figura 19: Erro do sistema



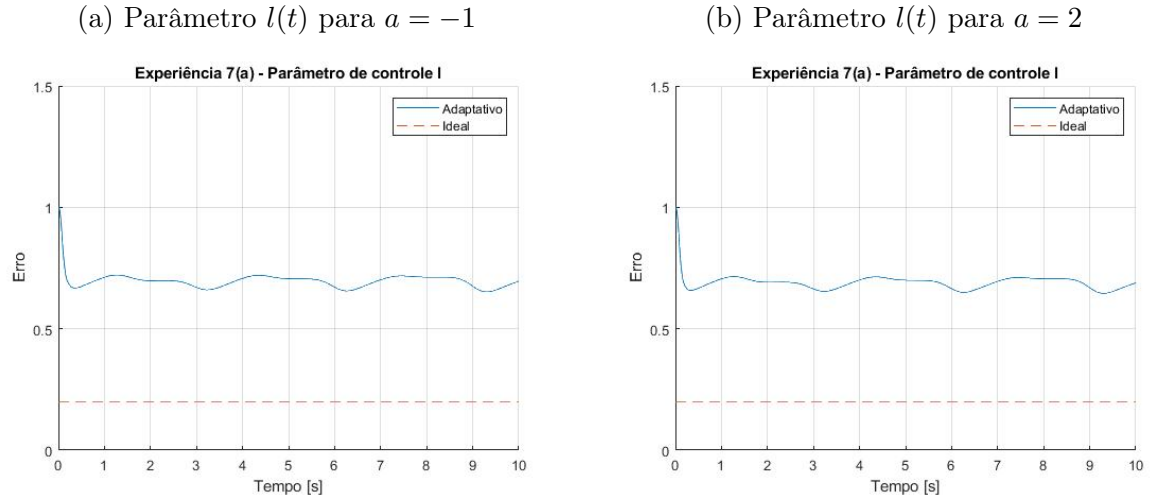
Fonte: Autoria própria.

Figura 20: Estimativa do parâmetro $k(t)$ em comparação do com k^* 

Fonte: Autoria própria.

É possível notar que o único parâmetro que apresentou mudança significativamente foi o $k(t)$, que conforme apresentado na Equação 32, é diretamente dependente do valor de a . No entanto, mesmo para esse parâmetro, a variação de erro se manteve. Isso ocorre, pois como o controle é adaptativo, mesmo mudando a planta ele vai tentar convergir os valores ideais para alcançar o modelo de referência.

O sinais de x e e , assim como o parâmetro l , como não são diretamente dependentes do valor de a , sofrem pouca, ou nenhuma, influência dessa mudança.

Figura 21: Estimativa do parâmetro $l(t)$ em comparação do com l^* 

Fonte: Autoria própria.

Também é possível notar que, para nenhum dos valores utilizados o sistema obteve um erro zero no intervalo de tempo simulado. Além disso, mesmo com o controle chegando próximo ao modelo de referência, conforme visto na Figura 18, os valores de $k(t)$ e $l(t)$, não atingiram os valores ideais de ganhos k^* e l^* .

8. Experiência 7(b) – Controle Adaptativo

Considere o sistema de primeira ordem:

$$y_p = \frac{b}{s-1} u_p \quad (42)$$

onde $b > 0$ é o único parâmetro desconhecido. Projete e analise um sistema de Controle Adaptativo em Modelo de Referência (MRAC) direto que possa estabilizar o sistema e forçar y_p a seguir a saída y_m do modelo de referência.

$$y_m = \frac{2}{s+2} r \quad (43)$$

para qualquer sinal de referência r que seja limitado e contínuo. Simule seu sistema para diferentes condições iniciais e para o valor $r = 5, \sin(2t), \frac{1}{1+t}$ e $b = 12$.

Gere os sinais de $x(t)$, $x_m(t)$, $e(t)$, $k(t)$ e $l(t)$ para cada caso. Confira se $k(t)$ e $l(t)$ alcançaram k^* e l^* respectivamente, em todos os casos. Comente.

8.1. Resolução:

Inicialmente é definida uma lei de controle ideal do sistema, apresentada na Equação 46, que é aplicada ao sistema para igualar o mesmo ao modelo de referência.

$$u = -k^* y_p + l^* r \quad (44)$$

onde k^* e l^* são dados pelas expressões a seguir:

$$\begin{cases} k^* = \frac{a_m - a}{b} \\ l^* = \frac{b_m}{b} \end{cases} \quad (45)$$

No entanto, os ganhos do controlador, dados pela Equação 45, são dependentes do parâmetro b , que é desconhecido. Portanto se faz necessário o uso de uma estimativa dos parâmetros, dada pela lei de controle da Equação 46.

$$u_p = -k(t) y_p + l(t) r \quad (46)$$

Para encontrar \dot{y}_p em função dos parâmetros ideias é necessário fazer uma manipulação matemática somando e subtraindo bu na expressão, conforme apresentado a seguir:

$$y_p = \frac{b}{s+a} u$$

$$\begin{aligned}
\dot{y}_p &= -ay_p + bu_p \\
\dot{y}_p &= -ay_p + bu_p + bu - bu \\
\dot{y}_p &= -ay_p + bu_p - bk^*y + bl^*r + bk^*y_p - bl^*r \\
\dot{y}_p &= -ay_p + bu_p - a_my_p + ay_p + b_mr + bk^*y_p - bl^*r \\
\dot{y}_p &= -a_my_p + b_mr + b(k^*y_p - bl^*r + u_p)
\end{aligned} \tag{47}$$

Com isso, é possível definir o erro de acompanhamento do sistema como $e = y_p - y_m$ e, conseqüentemente, $\dot{e} = \dot{y}_p - \dot{y}_m$. Assim a dinâmica do erro é definida por:

$$\begin{aligned}
\dot{e} &= (-a_my_p + b_mr_p + b(k^*y_p - l^*r + u_p)) - (-a_my_m + b_mr) \\
\dot{e} &= -a_m(y_p - y_m) + b(k^*y_p - bl^*r + u_p)
\end{aligned} \tag{48}$$

Substituindo u_p e considerando $\tilde{k} = k(t) - k^*$ e $\tilde{l} = l(t) - l^*$, obtém-se a seguinte expressão para o erro:

$$\begin{aligned}
&-a_m(y_p - y_m) + b(k^*y_p - bl^*r - k(t)y_p + l(t)r) \\
\dot{e} &= -a_me + b(-\tilde{k}y + \tilde{l})
\end{aligned} \tag{49}$$

De forma análoga ao exercício anterior é proposta uma função de Lyapunov candidata, afim de projetar a lei de adaptação do sistema. A função proposta é apresentada na Equação 50:

$$V(e, \tilde{k}, \tilde{l}) = \frac{e^2}{2} + \frac{\tilde{k}^2}{2\gamma_1}|b| + \frac{\tilde{l}^2}{2\gamma_2}|b| \tag{50}$$

onde $\gamma_1, \gamma_2 > 0$

Derivando a função se tem a Equação 51:

$$\dot{V}(e, \tilde{k}, \tilde{l}) = -a_me^2 - b\tilde{k}ex + b\tilde{l}er + \frac{|b|\tilde{k}\dot{\tilde{k}}}{\gamma_1} + \frac{|b|\tilde{l}\dot{\tilde{l}}}{\gamma_2} \tag{51}$$

Assim como no exercício anterior, garantir a estabilidade do sistema é necessário que $\dot{V}(e, \tilde{k}, \tilde{l}) \leq 0$. Como o valor de a_m é conhecido e positivo e e^2 é sempre positivo, isso garante que o termo $-a_me^2$, será sempre negativo.

Para os demais termos da função, não se tem informações suficientes para garantir o sinal. Logo, a lei de adaptação pode ser obtida zerando esses termos da função. Assim, são obtidas as seguintes relações:

$$\begin{cases} b\tilde{k}_{ex} = \frac{|b|\tilde{k}}{\gamma_1}\dot{\tilde{k}} \\ b\tilde{l}_{er} = \frac{|b|\tilde{l}}{\gamma_l}\dot{\tilde{l}} \end{cases} \quad (52)$$

Como k^* e l^* são constantes, então $\dot{\tilde{k}} = \dot{k}$ e $\dot{\tilde{l}} = \dot{l}$. Além disso, b pode ser escrito como $|b| \cdot \text{sign}(b)$, cancelando o módulo de b . Logo, as leis de adaptações podem ser reescritas conforme apresentado nas Equações 53:

$$\begin{cases} \dot{k} = \gamma_1 \text{exsing}(b) \\ \dot{l} = -\gamma_2 \text{ersing}(b) \end{cases} \quad (53)$$

Para a implementação desses sistema de controle, foi realizado o script apresentado a seguir. Nele o sistema é simulado considerando três entradas diferentes.

```

1 %% Experiencia 7 - (b)
2
3 index_fig = 0;
4
5 a = -1;
6 b = 12;
7 am = 2;
8 bm = 2;
9
10 % Valores ideais de controle
11 k_star = (a+am)/b;
12 l_star = bm/b;
13
14 % Intervalo de tempo
15 dt = 0.01;
16 t = 0:dt:10;
17
18 % Valores de referencia
19 r1 = 5*ones(1,length(t));
20 r2 = sin(2*t);
21 r3 = 1./(1+t);
22
23 r = [r1; r2; r3];
24
25 % Funcao de transferencia modelo de referencia
26 s = tf('s');
27 G = bm/(s+am);

```

```
28
29 xm_1 = lsim(G, r1, t);
30 xm_2 = lsim(G, r2, t);
31 xm_3 = lsim(G, r3, t);
32
33 xm = [xm_1 xm_2 xm_3]';
34
35 % Valores iniciais de adaptacao
36 k0 = 1;
37 l0 = 1;
38 gamma1 = 1;
39 gamma2 = 20;
40
41 % Valores de x para o controlador adaptativo
42 x_hat = zeros(3,length(t));
43 x0_hat = 0;
44 x_hat(1) = x0_hat;
45
46 % Vetores para progressao dos ganhos e do erro
47 k = zeros(3,length(t));
48 k(1) = k0;
49 l = zeros(3,length(t));
50 l(1) = l0;
51 e = zeros(3,length(t));
52 e(1) = x_hat(1)-xm(1);
53
54 for j=[1,2,3]
55     for i=2:length(t)
56         % X com controlador adaptativo
57         e(j,i-1) = x_hat(j,i-1) - xm(j,i-1);
58
59         k_dot = gamma1*e(j,i-1)*x_hat(j,i-1)*sign(b);
60         k(j,i) = k_dot*dt + k(j,i-1);
61
62         l_dot = -gamma2*e(j,i-1)*r(j,i-1)*sign(b);
63         l(j,i) = l_dot*dt + l(j,i-1);
64
65         u_hat = -k(j,i)*x_hat(j,i-1) + l(j,i)*r(j,i-1);
66         x_hat_dot = a*x_hat(j,i-1) + b*u_hat;
67         x_hat(j,i) = x_hat_dot * dt + x_hat(j,i-1);
68     end
69 end
70
```

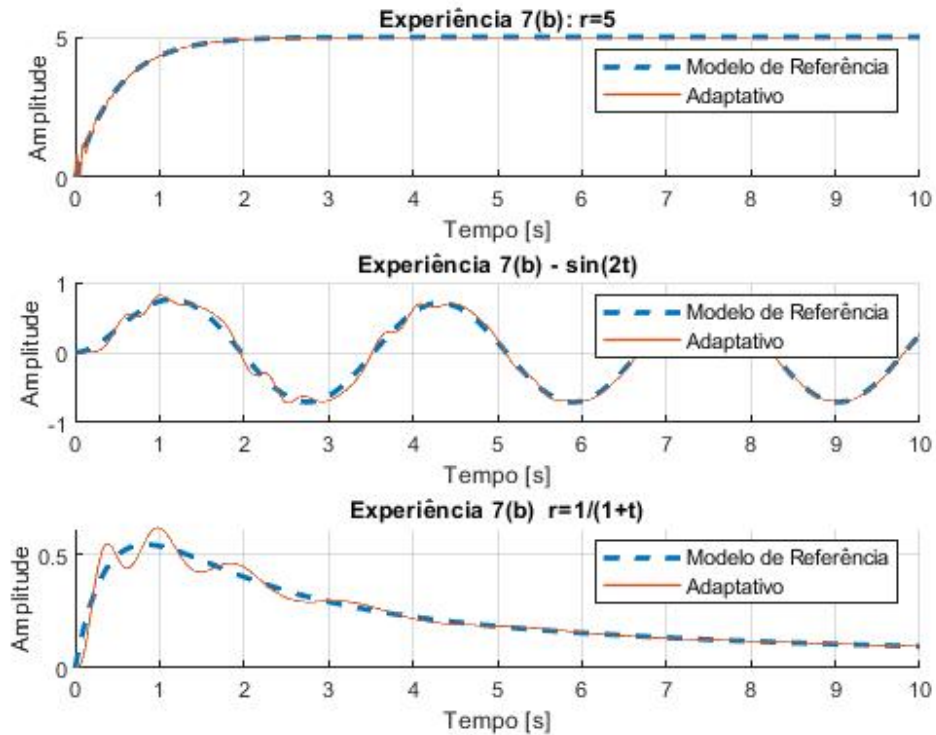
```
71 % Plot de x
72
73 index_fig = index_fig + 1;
74 figure(index_fig)
75 subplot(3,1,1)
76 hold on
77 grid on
78 plot(t, xm(1,:), '--', "LineWidth", 2)
79 plot(t, x_hat(1,:), "LineWidth", 1)
80 legend("Modelo de Referencia", "Adaptativo")
81 xlabel("Tempo [s]")
82 ylabel("Amplitude")
83 title("Experiencia 7(b): r=5")
84 subplot(3,1,2)
85 hold on
86 grid on
87 plot(t, xm(2,:), '--', "LineWidth", 2)
88 plot(t, x_hat(2,:), "LineWidth", 1)
89 legend("Modelo de Referencia", "Adaptativo")
90 xlabel("Tempo [s]")
91 ylabel("Amplitude")
92 title("Experiencia 7(b) - sin(2t)")
93 subplot(3,1,3)
94 hold on
95 grid on
96 plot(t, xm(3,:), '--', "LineWidth", 2)
97 plot(t, x_hat(3,:), "LineWidth", 1)
98 legend("Modelo de Referencia", "Adaptativo")
99 xlabel("Tempo [s]")
100 ylabel("Amplitude")
101 title("Experiencia 7(b) r=1/(1+t)")
102
103 % Plot de e
104
105 index_fig = index_fig + 1;
106 figure(index_fig)
107 subplot(3,1,1)
108 hold on
109 grid on
110 plot(t, e(1,:))
111 xlabel("Tempo [s]")
112 ylabel("Erro")
113 title("Experiencia 7(b): r=5")
```

```

114 subplot(3,1,2)
115 hold on
116 grid on
117 plot(t,e(2,:))
118 xlabel("Tempo [s]")
119 ylabel("Erro")
120 title("Experiencia 7(b) - sin(2t)")
121 subplot(3,1,3)
122 hold on
123 grid on
124 plot(t,e(3,:))
125 xlabel("Tempo [s]")
126 ylabel("Erro")
127 title("Experiencia 7(b)  r=1/(1+t)")
128
129 k_star_vector = k_star*ones(1, length(t));
130
131 index_fig = index_fig + 1;
132 figure(index_fig)
133 hold on
134 grid on
135 plot(t,k)
136 plot(t, k_star_vector, '--')
137 legend("r=5", "r=sin(2t)", "r=1/(1+t)", "Ideal")
138 xlabel("Tempo [s]")
139 ylabel("Erro")
140 title("Experiencia 7(b) - Parametro de controle k")
141
142 l_star_vector = l_star*ones(1, length(t));
143
144 index_fig = index_fig + 1;
145 figure(index_fig)
146 hold on
147 grid on
148 plot(t,l)
149 plot(t, l_star_vector, '--')
150 legend("r=5", "r=sin(2t)", "r=1/(1+t)", "Ideal")
151 xlabel("Tempo [s]")
152 ylabel("Erro")
153 title("Experiencia 7(b) - Parametro de controle L")

```

As Figuras 22, 23, 24 e 25, apresentam os sinais y_p e y_m , o erro e do sistema e os parâmetros $k(t)$ e $l(t)$, respectivamente.

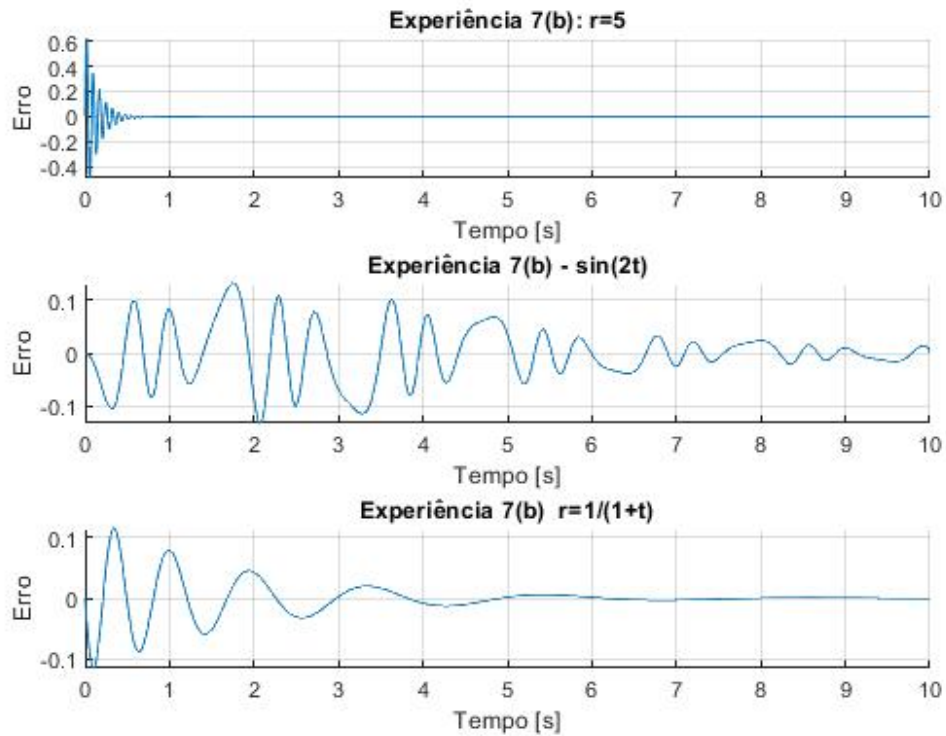
Figura 22: Estado y_p em comparação com y_m para várias entradas

Fonte: Autoria própria

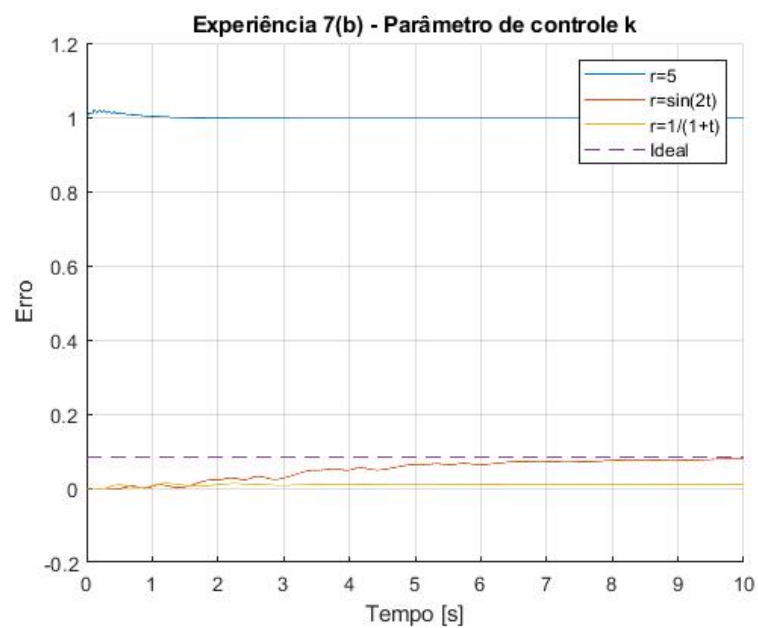
Em relação aos estados, é possível notar que para todas as entradas o sistema segue o modelo de referência. No entanto, analisando o gráfico de erro, nota-se que para a segunda entrada o sistema não chega em erro nulo como acontece nas outras duas.

Agora em relação aos ganhos $k(t)$ e $l(t)$, é possível notar que a entrada que obteve o sinal de erro mais estável, foi justamente a que obteve o maior erro de estimativa dos ganhos. As demais entradas chegam próximas dos valores ideais de ganho do controlador.

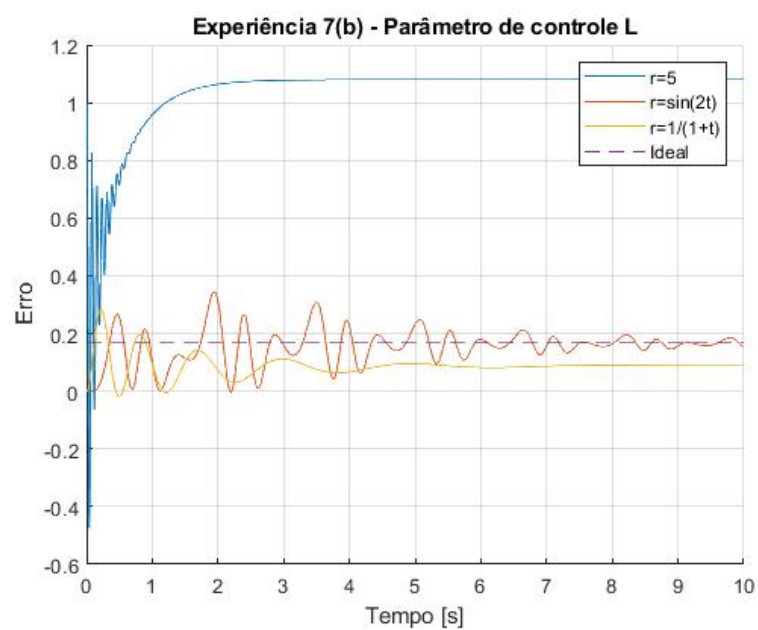
Figura 23: Erro do sistema para várias entradas



Fonte: Autoria própria

Figura 24: Estimativa do parâmetro $k(t)$ em comparação do com k^* 

Fonte: Autoria própria

Figura 25: Estimativa do parâmetro $l(t)$ em comparação do com l^* 

Fonte: Autoria própria

9. Experiência 7(c) – Controle Adaptativo

A dinâmica do acelerador para o subsistema de velocidade de um veículo pode ser representada por um sistema de primeira ordem da Equação 54.

$$V = \frac{b}{s + a}\theta + d \quad (54)$$

onde V é a velocidade do veículo, θ é o ângulo do acelerador e d é o distúrbio constante de carregamento. Os parâmetros $b > 0$ e a são constantes desconhecidas cujos valores dependem do estado operacional do veículo, definido pelo estado da engrenagem, pela velocidade em estado estacionário, pelo arrasto, etc. Projete um sistema CC escolhendo o ângulo do acelerador θ de modo que V seguirá a velocidade desejada V_m gerada pelo modelo de referência da Equação 55.

$$V_m = \frac{0.5}{s + 0.5}V_s \quad (55)$$

onde V_s é a velocidade desejada definida pelo motorista.

- (a) Assuma que a , b e d são exatamente conhecidos. Projete uma lei MRC que atinja o objetivo de controle.
- (b) Projete e analise um sistema MRAC direto para ser usado no caso de a , b e d serem desconhecidos (com $b > 0$).
- (c) Projete um esquema MRAC indireto para ser usado no caso de a , b e d serem desconhecidos (com $b > 0$).
- (d) Simule e compare seus sistemas em (b) e (c), assumindo $V_s = 55$ e usando os seguintes valores para a , b e d :
 - (i) $a = 0.5$, $b = 1.5$ e $d = 10$;
 - (ii) $a = 0.5 + \frac{0.04}{1 + V}$, $b = 1.5$ e $d = 0.2 + \sin(0.02t)$;

Escolha $\theta = -k^*V + l^*V_s + \delta^*$. Gere os sinais de $V(t)$, $V_m(t)$, $e(t)$, $k(t)$, $l(t)$ e $\delta(t)$ para cada caso. Confira se $k(t)$, $l(t)$ e $\delta(t)$ alcançaram k^* , l^* e δ^* , respectivamente, em todos os casos.

- (e) (Exercício proposto adicional) Use o controlador indireto MRAC considerando a lei de controle $\theta = -kV + lV_s$, sem a parcela adicional de controle. Analise os resultados.

9.1. Resolução

9.1.1. a)

A lei de controle para que o modelo MRC atinja o objetivo de controle pode ser formalizada pela Equação 56:

$$\theta^* = -k^*V + l^*V_s + \delta^* \quad (56)$$

onde k^* , l^* e δ^* são os valores ideais para os ganhos do controlador.

O objetivo do projeto do modelo MRC é encontrar os valores ideais da lei de controle em função dos parâmetros da planta a , b e d . Para isso, é necessário escrever a Equação 56 de modo que seja comparável com o modelo de referência. Substituindo então a Equação 54 nela, obtém-se como resultado a Equação 57.

$$\begin{aligned} V &= \frac{b}{s+a}(-k^*V + l^*V_s + \delta^*) + d \\ V(s+a+bk^*) &= V_s(bl^*) + [\delta^*b + d(s+a)] \end{aligned} \quad (57)$$

Reescrevendo o modelo de referência da Equação 55 no mesmo formato acima, substituindo as constantes para valores genéricos a_m e b_m , a Equação 58 é obtida.

$$\begin{aligned} V_m &= \frac{b_m}{s+a_m}V_s \\ V_m(s+a_m) &= V_sb_m \end{aligned} \quad (58)$$

Para que a planta seja capaz de acompanhar o modelo de referência, ou seja, em que $V_m = V$, os valores ideais de ganhos do controlador são obtidos pela comparação entre a Equação 57 com a 58. Os valores obtidos por este método são vistos na Equação 59

$$\begin{cases} a_m = a + bk^* \\ b_m = bl^* \\ 0 = \delta^*b + d(s+a) \end{cases} \quad (59)$$

$$\begin{cases} k^* = \frac{a_m - a}{b} \\ l^* = \frac{b_m}{b} \\ \delta^* = -\frac{da}{b} \end{cases}$$

Observação: O termo ds que aparece no sistema é considerado 0 pois, nesse caso, d é tratado como uma constante.

9.1.2. b)

Iniciando o projeto de um MRAC direto, é necessário voltar em 54 para somar e subtrair $b\theta^*$.

$$\begin{aligned} V(s+a) &= b\theta + d(s+a) \\ \dot{V} + Va &= b\theta + da + b\theta^* - b\theta^* \\ \dot{V} &= -V(a+bk^*) + bl^*V_s + da + b\delta^* + b(k^*V - l^*V_s - \delta^* + \theta) \end{aligned} \quad (60)$$

Algumas modificações podem ser feitas na Equação 60, sabendo que $\delta^* = -\frac{da}{b}$, $a_m = a + bk^*$ e $b_m = bl^*$, é obtida a Equação 61

$$\dot{V} = -a_m V + b_m V_s + b(k^*V - l^*V_s - \delta^* + \theta) \quad (61)$$

Tendo a equação de \dot{V} com base nos parâmetros ótimos e do modelo de referência, é possível encontrar a dinâmica de erro do sistema:

$$\begin{aligned} e &= v - V_m \\ \dot{e} &= \dot{V} - \dot{V}_m \\ \dot{e} &= -a_m e + b(k^*V - l^*V_s - \delta^* + \theta) \end{aligned} \quad (62)$$

Substituindo em 62 a relação $\theta = -k(t)V + l(t)V_s + \delta(t)$ como a lei de controle adaptativa do processo, obtém-se:

$$\dot{e} = -a_m e + b(\tilde{k}V - \tilde{l}V_s - \tilde{\delta}) \quad (63)$$

onde $\tilde{k} = k(t) - k^*$, $\tilde{l} = l(t) - l^*$ e $\tilde{\delta} = \delta(t) - \delta^*$.

Para mostrar que o erro é estável para esse sistema adaptativo, é necessário propor a função de Liapunov candidata da Equação 64.

$$V_L(e, \tilde{k}, \tilde{l}, \tilde{\delta}) = \frac{e^2}{2} + \frac{\tilde{k}^2}{2\gamma_1}|b| + \frac{\tilde{l}^2}{2\gamma_2}|b| + \frac{\tilde{\delta}^2}{2\gamma_3}|b| \quad (64)$$

Derivando V_L a partir do método do gradiente de 65, obtém-se a Equação 66:

$$\dot{V}_L(e, \tilde{k}, \tilde{l}, \tilde{\delta}) = \frac{\partial V_L}{\partial e} \dot{e} + \frac{\partial V_L}{\partial \tilde{k}} \dot{\tilde{k}} + \frac{\partial V_L}{\partial \tilde{l}} \dot{\tilde{l}} + \frac{\partial V_L}{\partial \tilde{\delta}} \dot{\tilde{\delta}} \quad (65)$$

$$\dot{V}_L(e, \tilde{k}, \tilde{l}, \tilde{\delta}) = -a_m e^2 + be(-\tilde{k}V + \tilde{l}V_s + \tilde{\delta}) + \frac{\tilde{k}}{\gamma_1} |b| \dot{\tilde{k}} + \frac{\tilde{l}}{\gamma_2} |b| \dot{\tilde{l}} + \frac{\tilde{\delta}}{\gamma_3} |b| \dot{\tilde{\delta}} \quad (66)$$

Sabendo que $a_m e^2 < 0$, para garantir a estabilidade do sistema basta que as outras parcelas do polinômio se cancelem. Para isso, resolve-se o sistema da Equação 67:

$$\begin{cases} be\tilde{k}V = \frac{\tilde{k}|b|\dot{\tilde{k}}}{\gamma_1} \\ -be\tilde{l}V_s = \frac{\tilde{l}|b|\dot{\tilde{l}}}{\gamma_2} \\ -be\tilde{\delta} = \frac{\tilde{\delta}|b|\dot{\tilde{\delta}}}{\gamma_3} \end{cases} \quad (67)$$

Para que as relações de 67 sejam verdadeiras, precisamos definir a dinâmica dos parâmetros adaptativos. Como k^* , l^* e δ^* são constantes, então $\dot{\tilde{k}} = k(t)$, $\dot{\tilde{l}} = l(t)$ e $\dot{\tilde{\delta}} = \delta(t)$. Portanto, a dinâmica dos parâmetros são dadas pelas Equações 68, 69 e 70, respectivamente.

$$k(t) = e\gamma_1 V \text{sgn}(b) \quad (68)$$

$$l(t) = e\gamma_2 V_s \text{sgn}(b) \quad (69)$$

$$\delta(t) = e\gamma_3 \text{sgn}(b) \quad (70)$$

9.1.3. c)

Para projetar as leis de adaptação para o MRAC Indireto, é necessário voltar novamente na Equação 54. A partir de algumas manipulações é obtido o modelo de \dot{V} somando e subtraindo o termo $a_m V$ e definindo $da = h$ na Equação 71

$$\begin{aligned} V &= \frac{b}{s+a} \theta + d \\ \dot{V} &= b\theta + da - aV + a_m V - a_m V \\ \dot{V} &= a_m V - (a + a_m)V + b\theta + h \end{aligned} \quad (71)$$

Dessa forma, a dinâmica de alteração da variável de tensão estimada \hat{V} com os

parâmetros adaptados \hat{a} , \hat{b} e \hat{h} , baseado no modelo obtido anteriormente é mostrado na Equação 72.

$$\dot{\hat{V}} = a_m \hat{V} - (\hat{a} + a_m)V + \hat{b}\theta + \hat{h} \quad (72)$$

Como o erro de referência é definido por $e := V - \hat{V}$, a dinâmica de erro é dada pela Equação 73

$$\dot{e} = -a_m e + \tilde{a}V - \tilde{b}\theta - \tilde{h} \quad (73)$$

sendo $\tilde{a} = a - \hat{a}$, $\tilde{b} = b - \hat{b}$ e $\tilde{h} = h - \hat{h}$.

Para mostrar que o erro é estável para esse sistema adaptativo, é necessário propor a função de Liapunov candidata da Equação 74.

$$V_L(e, \tilde{a}, \tilde{b}, \tilde{h}) = \frac{e^2}{2} + \frac{\tilde{a}^2}{2\gamma_1} + \frac{\tilde{b}^2}{2\gamma_2} + \frac{\tilde{h}^2}{2\gamma_3} \quad (74)$$

Derivando V_L a partir do método do gradiente de 75, obtém-se a Equação 76

$$\dot{V}_L(e, \tilde{a}, \tilde{b}, \tilde{h}) = \frac{\partial V_L}{\partial e} \dot{e} + \frac{\partial V_L}{\partial \tilde{a}} \dot{\tilde{a}} + \frac{\partial V_L}{\partial \tilde{b}} \dot{\tilde{b}} + \frac{\partial V_L}{\partial \tilde{h}} \dot{\tilde{h}} \quad (75)$$

$$\dot{V}_L(e, \tilde{a}, \tilde{b}, \tilde{h}) = -a_m e^2 + e(\tilde{a}V - \tilde{b}\theta - \tilde{h}) + \frac{\tilde{a}}{\gamma_1} \dot{\tilde{a}} + \frac{\tilde{b}}{\gamma_2} \dot{\tilde{b}} + \frac{\tilde{h}}{\gamma_3} \dot{\tilde{h}} \quad (76)$$

Sabendo que $a_m e^2 < 0$, para garantir a estabilidade do sistema basta que as outras parcelas do polinômio se cancelem. Para isso, resolve-se o sistema da Equação 77

$$\begin{cases} e\tilde{a}V = -\frac{\tilde{a}\dot{\tilde{a}}}{\gamma_1} \\ e\tilde{b}V_s = -\frac{\tilde{b}\dot{\tilde{b}}}{\gamma_2} \\ e\tilde{h} = -\frac{\tilde{h}\dot{\tilde{h}}}{\gamma_3} \end{cases} \quad (77)$$

Para que as relações de 77 sejam verdadeiras, precisamos definir a dinâmica dos parâmetros adaptativos. Como a , b e h são constantes, então $\dot{\tilde{a}} = \dot{\hat{a}}(t)$, $\dot{\tilde{b}} = \dot{\hat{b}}(t)$ e $\dot{\tilde{h}} = \dot{\hat{h}}(t)$. Portanto, a dinâmica dos parâmetros são dadas pelas Equações 78, 79 e 80, respectivamente.

$$\dot{\hat{a}} = -e\gamma_1 V \quad (78)$$

$$\dot{b} = \begin{cases} e\gamma_2 V_s, & \text{para } |b| > b_{min} \\ 0, & \text{caso contrário} \end{cases} \quad (79)$$

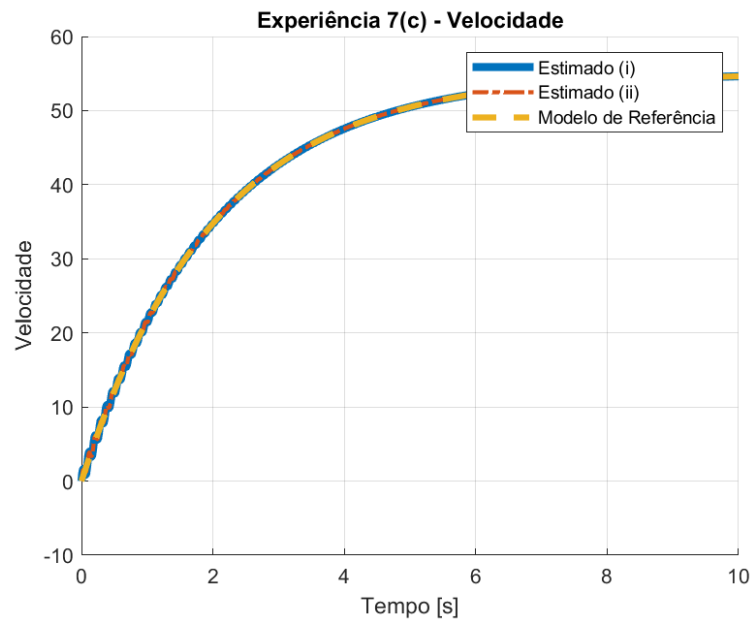
$$\dot{h} = -e\gamma_3 \quad (80)$$

9.1.4. d)

❖ MRAC Direto

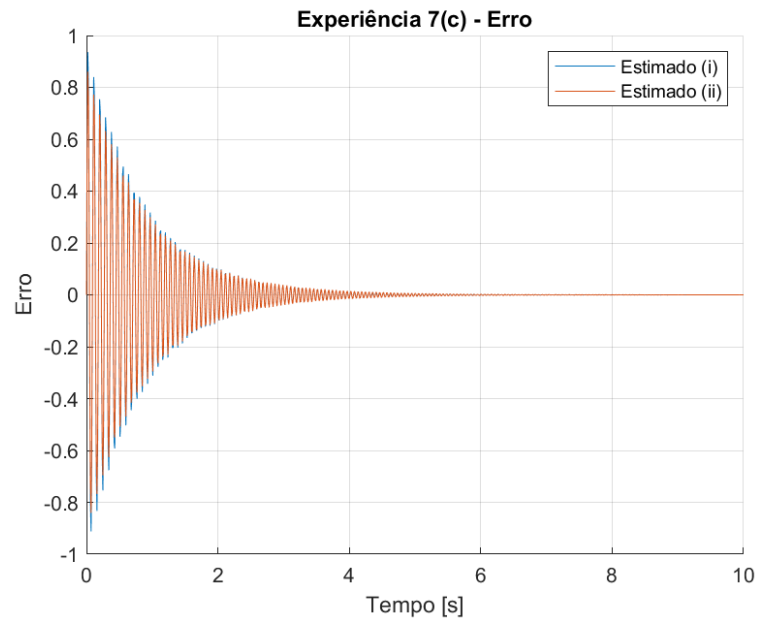
Primeiro, os gráficos para o MRAC direto solicitados para os dois modelos (i) e (ii) podem ser vistos nos gráficos de 26 a 30.

Figura 26: Saída de velocidade para (i) e (ii)

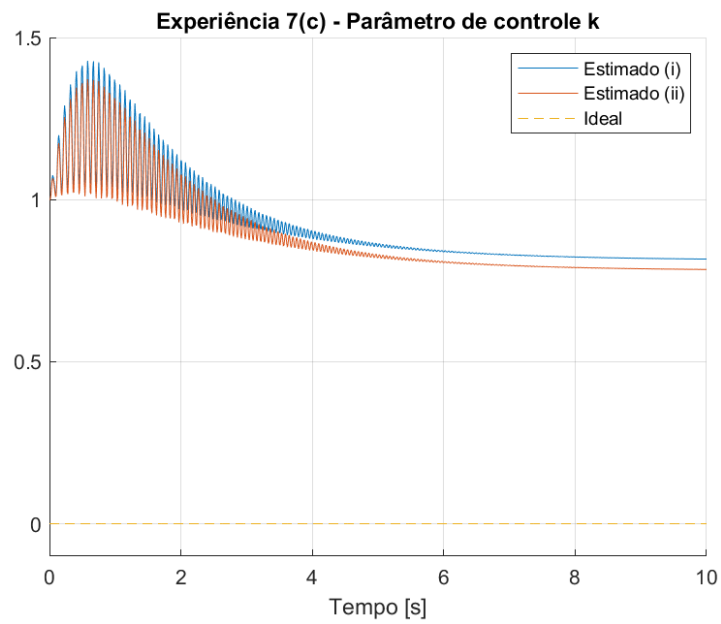


Fonte: Autoria própria

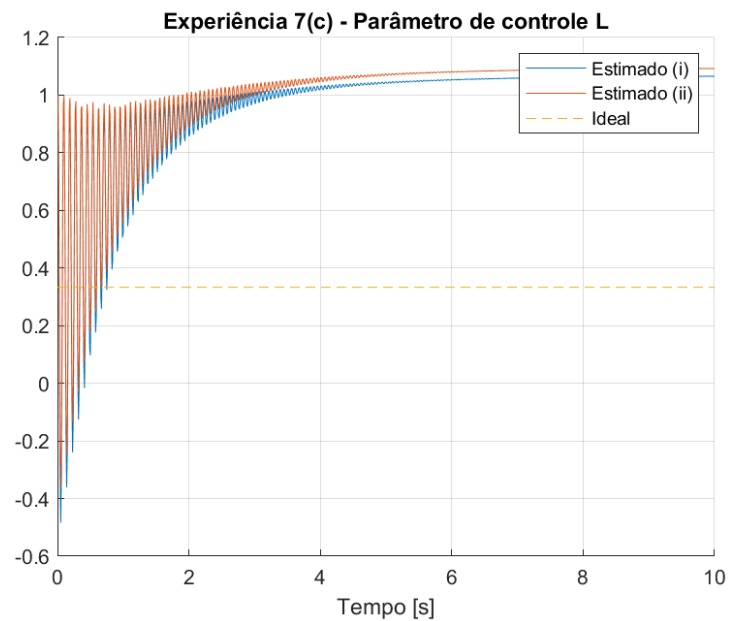
Figura 27: Sinal de erro para (i) e (ii)



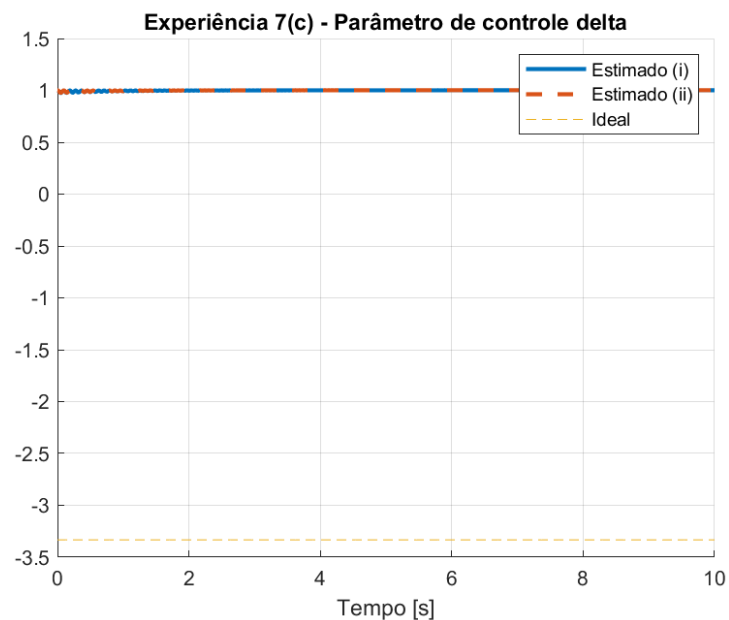
Fonte: Autoria própria

Figura 28: Adaptação de \hat{k} para (i) e (ii)

Fonte: Autoria própria

Figura 29: Adaptação de \hat{l} para (i) e (ii)

Fonte: Autoria própria

Figura 30: Adaptação de $\hat{\delta}$ para (i) e (ii)

Fonte: Autoria própria

É possível notar que as Figuras 26 e 27 mostram que independente do tipo do sistema ser o (i) ou o (ii), o modelo adaptativo não possui alterações significativas no sinal de

saída e converge o erro para 0 da mesma forma em ambos os casos.

Além disso, existem algumas diferenças maiores nos valores finais de ganhos do controlador \hat{k} e \hat{l} das Figuras 28 e 29, respectivamente, mostrando que para mínimos comportamentos diferentes da planta, como o caso de um pequeno fator de escala acrescido em a e uma pequena oscilação em d , o sistema de controle consegue se adaptar tranquilamente a essas perturbações. Vale ressaltar também que nenhum dos parâmetros chegou nos valores ideais, mas isso é esperado pois o modelo de referência prevê que o erro da saída convirja a 0, e não os parâmetros de controle.

O código utilizado para gerar os gráficos do MRAC Direto pode ser visto na sequência.

```
1  close all;
2  clc;
3  clear;
4
5  %% Experiencia 7 - (c)
6
7  index_fig = 0;
8
9  a = 0.5;
10 b = 1.5;
11 d = 10;
12
13 am = 0.5;
14 bm = 0.5;
15
16 % Valores ideais de controle
17 k_star = (am-a)/b;
18 l_star = bm/b;
19 delta_star = -d*a/b;
20
21 % Intervalo de tempo
22 dt = 0.01;
23 t = 0:dt:10;
24
25 % Valores de referencia
26 Vs = 55*ones(1,length(t));
27
28 % Funcao de transferencia modelo de referencia
29 s = tf('s');
30 G = bm/(s+am);
31
32 Vm = lsim(G, Vs, t);
```

```
33
34 % Valores iniciais de adaptacao
35 k0 = 1;
36 l0 = 1;
37 delta0 = 1;
38
39 gamma1 = 2;
40 gamma2 = 1;
41 gamma3 = 1;
42
43 % Valores de V para o controlador adaptativo
44 V_hat = zeros(1,length(t));
45 V0_hat = 0;
46 V_hat(1) = V0_hat;
47
48 % Vetores para progressao dos ganhos e do erro
49 k = zeros(1,length(t));
50 k(1) = k0;
51 l = zeros(1,length(t));
52 l(1) = l0;
53 delta = zeros(1,length(t));
54 delta(1) = delta0;
55
56 e = zeros(1,length(t));
57 e(1) = V_hat(1)-Vm(1);
58
59 for i=2:length(t)
60     % X com controlador adaptativo
61     e(i-1) = V_hat(i-1) - Vm(i-1);
62
63     k_dot = gamma1*e(i-1)*V_hat(i-1)*sign(b);
64     k(i) = k_dot*dt + k(i-1);
65
66     l_dot = -gamma2*e(i-1)*Vs(i-1)*sign(b);
67     l(i) = l_dot*dt + l(i-1);
68
69     delta_dot = -gamma3*e(i-1)*sign(b);
70     delta(i) = delta_dot*dt + delta(i-1);
71
72     u_hat = -k(i)*V_hat(i-1) + l(i)*Vs(i-1) + delta(i);
73     V_hat_dot = - a*V_hat(i-1) + b*u_hat + d*a;
74     V_hat(i) = V_hat_dot * dt + V_hat(i-1);
75 end
```

```
76
77
78 %% Experiencia 7 - (c) - (ii)
79 % RODAR SECAO ANTERIOR ANTES!
80
81 % Valores iniciais de adaptacao
82 k0 = 1;
83 l0 = 1;
84 delta0 = 1;
85
86 gamma1 = 2;
87 gamma2 = 1;
88 gamma3 = 1;
89
90 V0_hat = 0;
91
92 % Valores de V para o controlador adaptativo
93 V_hat_ii = zeros(1,length(t));
94 V_hat_ii(1) = V0_hat;
95
96 % Vetores para progressao dos ganhos e do erro
97 k_ii = zeros(1,length(t));
98 k_ii(1) = k0;
99 l_ii = zeros(1,length(t));
100 l_ii(1) = l0;
101 delta_ii = zeros(1,length(t));
102 delta_ii(1) = delta0;
103
104 e_ii = zeros(1,length(t));
105 e_ii(1) = V_hat_ii(1)-Vm(1);
106
107 for i=2:length(t)
108     % X com controlador adaptativo
109     e_ii(i-1) = V_hat_ii(i-1) - Vm(i-1);
110
111     k_ii_dot = gamma1*e_ii(i-1)*V_hat_ii(i-1)*sign(b);
112     k_ii(i) = k_ii_dot*dt + k_ii(i-1);
113
114     l_ii_dot = -gamma2*e_ii(i-1)*Vs(i-1)*sign(b);
115     l_ii(i) = l_ii_dot*dt + l_ii(i-1);
116
117     delta_ii_dot = -gamma3*e_ii(i-1)*sign(b);
118     delta_ii(i) = delta_ii_dot*dt + delta_ii(i-1);
```

```
119
120     u_hat = -k_ii(i)*V_hat_ii(i-1) + l_ii(i)*Vs(i-1) + delta_ii(i);
121     a1 = a + 0.04/(1+V_hat_ii(i-1));
122     d1 = 0.2 + sin(0.02*t(i-1));
123     V_hat_dot = - a1*V_hat_ii(i-1) + b*u_hat + d1*a1;
124     V_hat_ii(i) = V_hat_dot * dt + V_hat_ii(i-1);
125 end
126
127 %% Plots
128
129 % Plot de x
130
131 index_fig = index_fig + 1;
132 figure(index_fig)
133 hold on
134 grid on
135 plot(t, V_hat, "LineWidth", 2)
136 plot(t, Vm, '--', "LineWidth", 3)
137 plot(t, V_hat, '-.', "LineWidth", 2)
138 legend("Adaptativo (i)", "Modelo de Referencia", "Adaptativo (ii)")
139 xlabel("Tempo [s]")
140 ylabel("Velocidade")
141 title("Experiencia 7(c) - Velocidade")
142
143 % Plot de e
144
145 index_fig = index_fig + 1;
146 figure(index_fig)
147 hold on
148 grid on
149 plot(t,e)
150 plot(t,e_ii)
151 legend("Adaptativo (i)", "Adaptativo (ii)")
152 xlabel("Tempo [s]")
153 ylabel("Erro")
154 title("Experiencia 7(c) - erro")
155
156 % Plot de k
157
158 k_star_vector = k_star*ones(1, length(t));
159 index_fig = index_fig + 1;
160 figure(index_fig)
161 hold on
```

```

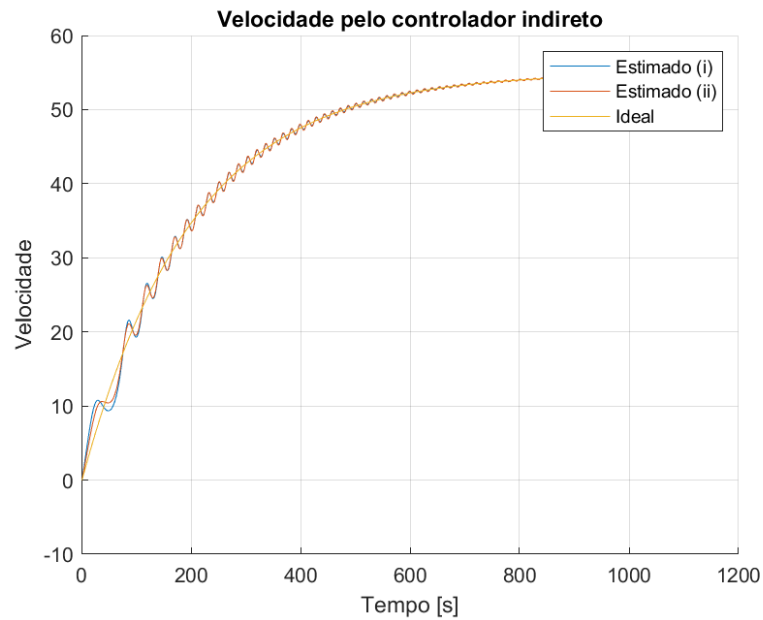
162 grid on
163 plot(t,k)
164 plot(t, k_star_vector, '--')
165 plot(t,k_ii)
166 legend("Estimado (i)", "Ideal", "Estimado (ii)")
167 xlabel("Tempo [s]")
168 ylim([-0.1, 1.5])
169 title("Experiencia 7(c) - Parametro de controle k")
170
171 % Plot de l
172
173 l_star_vector = l_star*ones(1, length(t));
174 index_fig = index_fig + 1;
175 figure(index_fig)
176 hold on
177 grid on
178 plot(t,l)
179 plot(t, l_star_vector, '--')
180 plot(t,l_ii)
181 legend("Estimado (i)", "Ideal","Estimado (ii)")
182 xlabel("Tempo [s]")
183 title("Experiencia 7(c) - Parametro de controle L")
184
185 % Plot de delta
186
187 delta_star_vector = delta_star*ones(1, length(t));
188 index_fig = index_fig + 1;
189 figure(index_fig)
190 hold on
191 grid on
192 plot(t,delta)
193 plot(t, delta_star_vector, '--')
194 plot(t,delta_ii, '--')
195 legend("Estimado (i)", "Ideal","Estimado (ii)")
196 xlabel("Tempo [s]")
197 title("Experiencia 7(c) - Parametro de controle delta")

```

❖ MRAC indireto

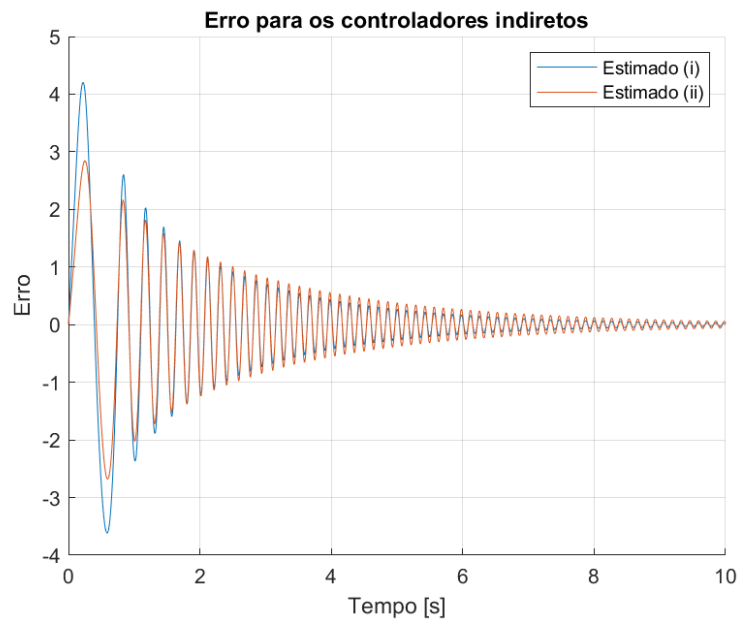
Para o controlador MRAC Indireto projetado no item (c), as respostas obtidas pela planta de velocidade e erro para os casos (i) e (ii) são vistas nas Figuras 31 e 32.

Figura 31: Saída de velocidade para o MRAC Indireto



Fonte: Autoria própria

Figura 32: Sinal de erro para o MRAC Indireto



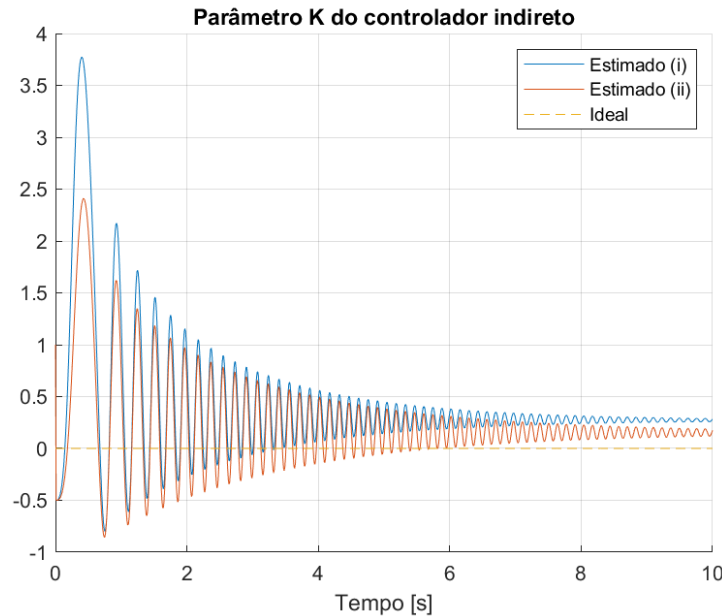
Fonte: Autoria própria

Percebe-se que a resposta do controlador indireto possui um transitório com mais oscilações em relação ao direto. Entretanto, ambos os casos de teste (i) e (ii) não apresentam

diferenças significativas entre eles, acompanhando de perto o modelo de referência.

A progressão das constantes do controlador k , l e δ podem ser conferidas nos gráficos das Figuras 33, 34 e 35, respectivamente.

Figura 33: Progressão de k para (i) e (ii) no MRAC Indireto



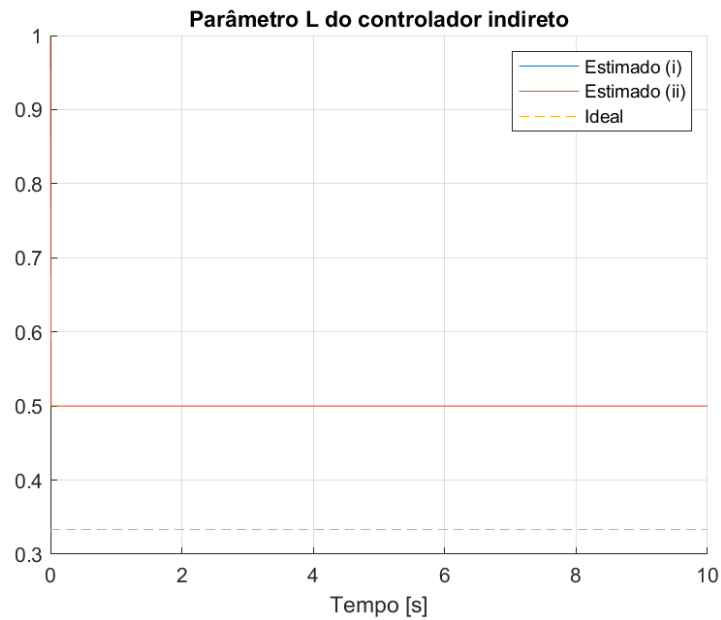
Fonte: Autoria própria

Novamente, todos os parâmetros de controle não alcançaram os valores ideais k^* , l^* e δ^* , mas eles apresentaram estabilização ao longo do tempo com a adaptação dos parâmetros. Existe também uma mínima diferença no comportamento encontrado no caso (i) e (ii), estabilizando em valores diferentes de constantes e mostrando que a alteração da planta faz com que o controlador se adapte para gerar o mesmo desempenho na saída.

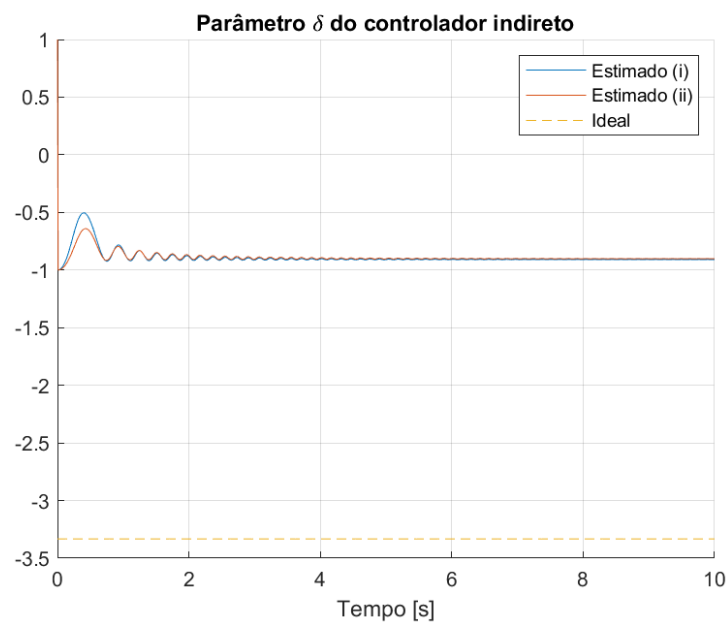
Com relação aos parâmetros da planta, a Figura 36 mostra a adaptação do parâmetro \hat{b} para ambos os controladores, tendo em vista que o valor b_m é o mesmo para ambos os modelos.

Os valores encontrados para $\hat{b} = 1$ constantes são explicados pela limitação imposta pelo algoritmo do MRAC Indireto, que exige um valor limite definido como $b_{min} = 1$ para este experimento. Logo, durante toda a adaptação dos parâmetros, o valor de \hat{b} tendeu a decrescer e não o foi permitido. Esse comportamento reflete diretamente no valor do parâmetro do controlador 34, tendo em vista que seu cálculo depende do valor de \hat{b} .

Agora, para o parâmetro \hat{a} os resultados dos itens (i) e (ii) serão vistos separadamente, já que os valores esperados para ambos também são diferentes. A Figura 37 mostra para o caso (i), enquanto a Figura 38 mostra para o (ii).

Figura 34: Progressão de l para (i) e (ii) no MRAC Indireto

Fonte: Autoria própria

Figura 35: Progressão de δ para (i) e (ii) no MRAC Indireto

Fonte: Autoria própria

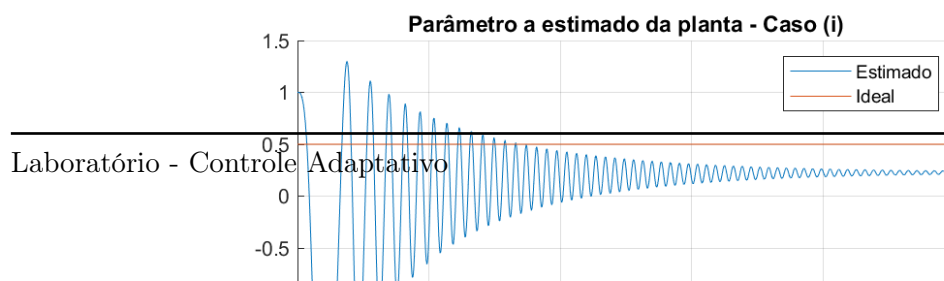
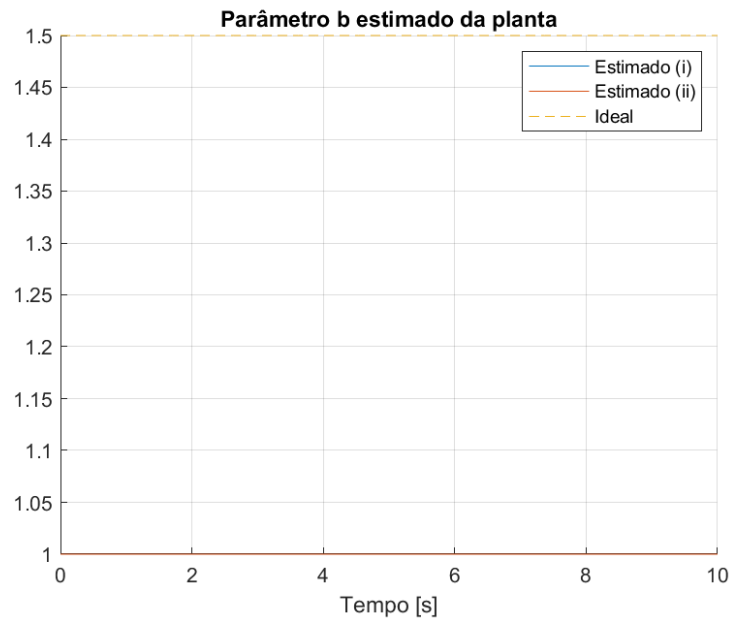
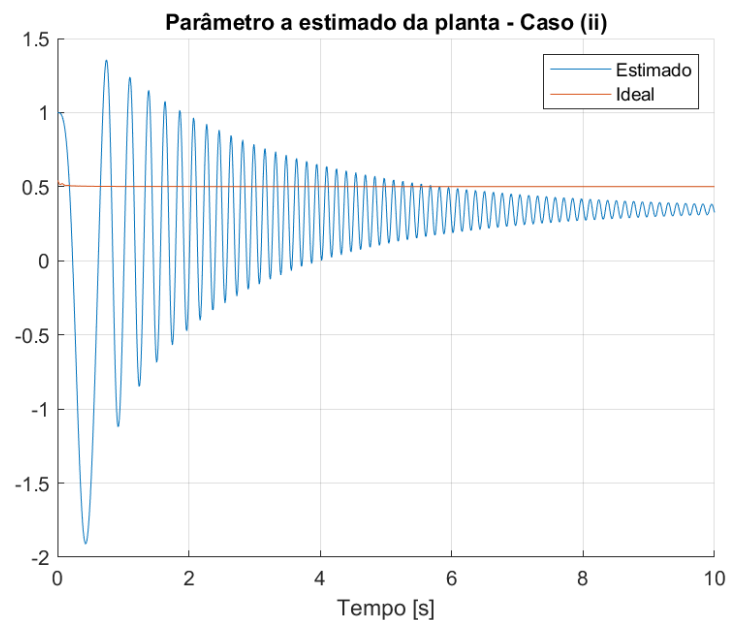
Figura 37: Adaptação de a para (i) no MRAC Indireto

Figura 36: Adaptação de b para (i) e (ii) no MRAC Indireto

Fonte: Autoria própria

Figura 38: Adaptação de a para (ii) no MRAC Indireto

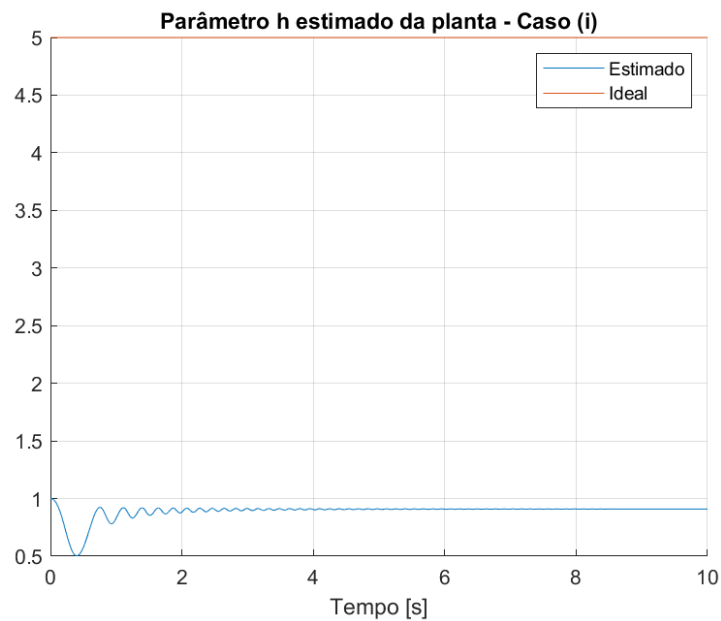
Fonte: Autoria própria

Ambos os parâmetros possuem uma progressão muito similar entre eles, mostrando que mesmo no caso (ii) o parâmetro a_m gerar uma pequena diferença inicial de valor

esperado, a estimativa não é afetada.

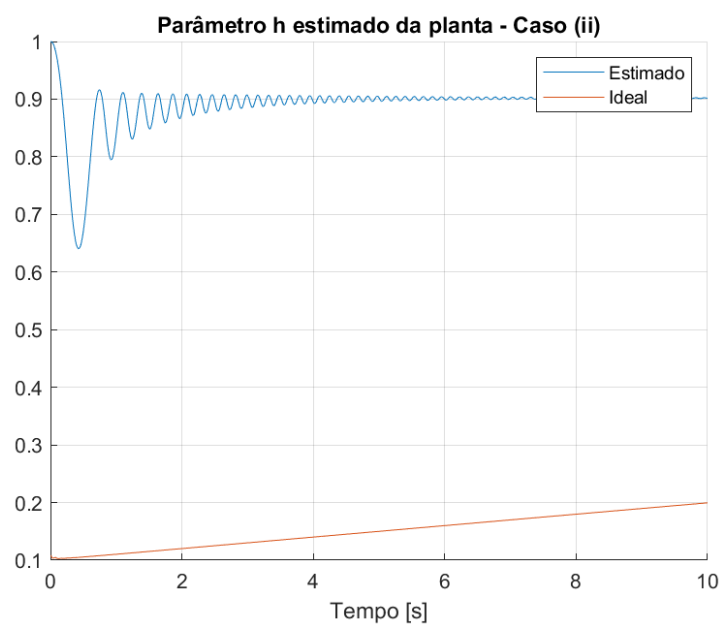
Da mesma forma, a comparação para o parâmetro \hat{h} é feita nas Figuras 39 e 40.

Figura 39: Adaptação de h para (i) no MRAC Indireto



Fonte: Autoria própria

Figura 40: Adaptação de h para (ii) no MRAC Indireto



Fonte: Autoria própria

É possível perceber que, mesmo no caso (ii) o parâmetro ideal ser totalmente diferente do que no caso (i), em ambos os gráficos a estimativa do modelo segue o mesmo comportamento. Logo, conclui-se que a alteração mínima nos parâmetros já garante o acompanhamento do modelo de referência e, além disso, que o parâmetro \hat{h} não possui tanta influência na saída final da planta.

9.1.5. e)

Como exercício extra, foi testado o desempenho do controlador MRAC Direto e Indireto sem a parcela δ de adaptação, ou seja, com os modelos originais discutidos em aulas. O resultado obtido foi o mesmo, com os mesmos gráficos a uma diferença mínima de 5% dos valores obtidos anteriormente. Logo, essa nova parcela inserida no controlador não possui grande influência na adaptação do controlador em geral. O teste se encontra no repositório de códigos como *Experiencia7c_extra.m* e os gráficos serão omitidos deste relatório.

10. Experiência 7(d) – Controle Adaptativo

Considere a planta

$$y_p = \frac{b}{s+a} u_p \quad (81)$$

onde $b \geq 1$ e a são constantes desconhecidas. O modelo de referência é dado por

$$y_m = \frac{10}{s+10} r \quad (82)$$

Faça os seguintes itens:

- a) Projete uma lei MRAC direta baseada no algoritmo do gradiente
- b) Repita (a) para o algoritmo LS
- c) Simule os projetos dos itens (a) e (b). Para ela, utilize $b = 3$, $a = 5$ e r um sinal de sua escolha.

10.1. Resolução

10.1.1. a)

A planta da Equação 81 pode ser reescrita pelo modelo de primeira ordem da Equação 83

$$\dot{y}_p = -ay_p + bu_p \quad (83)$$

A Lei de controle da Equação 84, com os valores definidos em 85 garantem que o sinal em malha fechada é limitada e que o estado y_p converge exponencialmente para o estado x_m do modelo de referência da Equação 82, com $a_m = 10$ e $b_m = 10$.

$$u = -k^* y_p + l^* r \quad (84)$$

$$\begin{cases} k^* = \frac{a_m - a}{b} \\ l^* = \frac{b_m}{b} \end{cases} \quad (85)$$

Como a e b são desconhecidos, os parâmetros k^* e l^* viram $k(t)$ e $l(t)$ por serem estimativas online ao longo do tempo. Somando e subtraindo $-bk^*x + bl^*r$ na Equação 81 e usando 85 para eliminar o parâmetro desconhecido a , obtem-se a Equação 86.

$$\dot{y}_p = -a_m y_p + b_m r + b(u_p + k^* y_p - l^* r) \quad (86)$$

onde junto com 82 e definindo $e = y_p - y_m$, tem-se a Equação 87.

$$e = \frac{b}{s + a_m} [u_p + k^* y_p - l^* r] \quad (87)$$

Essa pode ser reescrita na forma B-SPM conforme mostra a Equação

$$e = b(\theta^{*T} \phi + u_f), \quad (88)$$

onde $\theta^* = [k^*, l^*]$, $\phi = \frac{1}{s+a_m} [y_p, -r]^T$, $u_f = \frac{1}{s+a_m} u_p$. Usando as técnicas de adaptação, as estimativas para θ^* e b são dadas por

$$\begin{cases} \dot{\theta} = \Gamma \epsilon \phi \text{sgn}(b), \theta(t) = [k(t), l(t)]^T, \\ \dot{\hat{b}} = \gamma \epsilon \xi, \xi = \theta^T \phi + u_f, \\ \epsilon = \frac{e - \hat{b}(\theta^T \phi + u_f)}{m_s^2} = \frac{e - \hat{b}\xi}{m_s^2} \end{cases} \quad (89)$$

sendo o sinal normalizado $m_s^2 = 1 + \phi^T \phi + u_f^2$

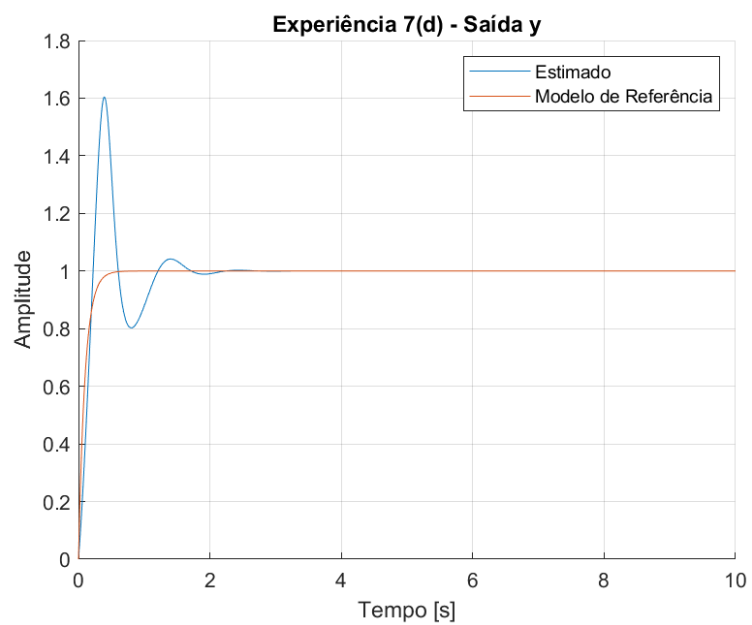
10.1.2. c)

Para implementar as equações de adaptação para esse caso, a entrada adotada foi um degrau unitário e a seguinte ordem de cálculos foi adotada:

- 1- Calcular u_f filtrado;
- 2- Calcular ϕ filtrado;
- 3- Calcular ξ ;
- 4- Estimar \hat{b} ;
- 5- Calcular ϵ ;
- 6- Estimar θ ;
- 7- Calcular a nova ação de controle;
- 8- Simular a nova saída da planta.

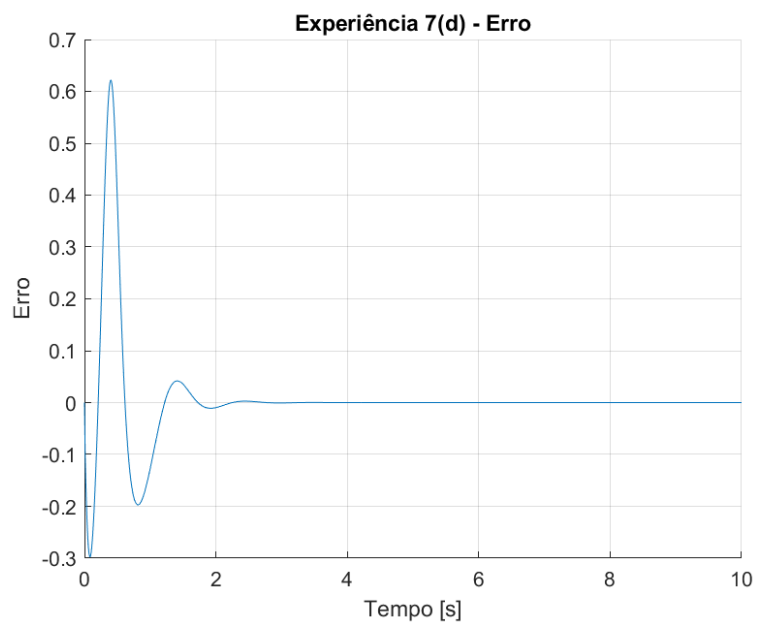
Dessa forma, os gráficos das Figuras 41 à 44 mostram os resultados encontrados para o método proposto.

Figura 41: Saída do sistema MRAC com gradiente

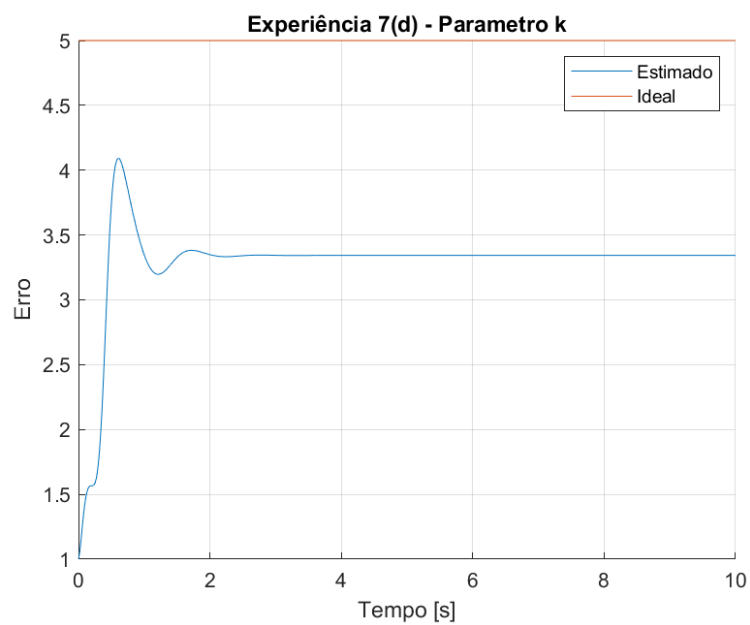


Fonte: Autoria própria

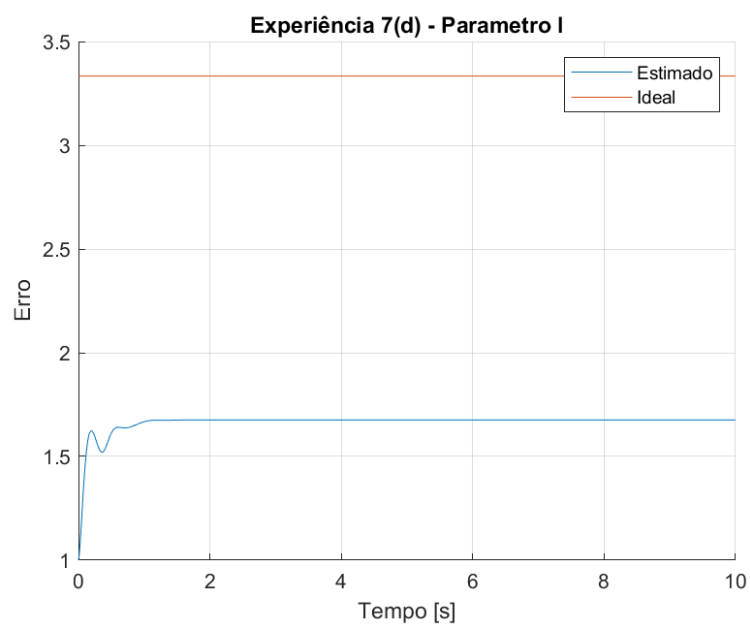
Figura 42: Erro do sistema MRAC com gradiente



Fonte: Autoria própria

Figura 43: Parâmetro K do sistema MRAC com gradiente

Fonte: Autoria própria

Figura 44: Parâmetro L do sistema MRAC com gradiente

Fonte: Autoria própria

11. Experiência 8 – Controle Adaptativo

Considere a planta escalar representada por:

$$\dot{x} = ax + u \quad , \quad x(0) = x_0 \quad (90)$$

tal que a é uma constante desconhecida. A lei de controle por realimentação de estados definida por $u = -k(t)x$ faz com que o polo do sistema convirja para um polo desejado em $a_m > 0$ quando $t \rightarrow \infty$. Sendo $k^* = a + a_m$ e $\tilde{k} = k(t) - k^*$ o erro de estimativa do parâmetro k do regulador, dada a função de Lyapunov:

$$v(x, \tilde{k}) = \frac{x^2}{4} - \beta \tilde{k}^2 \quad (91)$$

demonstre que a lei de adaptação do parâmetro k que faz com que todos os sinais de malha fechada sejam limitados é dada por:

$$\dot{k} = -\frac{1}{4\beta}x^2 \quad (92)$$

11.1. Resolução

De acordo com Lyapunov, uma forma de provar que a lei de adaptação do parâmetro k dada por $\dot{k} = -\frac{1}{4\beta}x^2$ faz com que todos os sinais de malha fechada sejam limitados é demonstrando que:

$$\dot{V} = \frac{\partial V}{\partial x} \dot{x} + \frac{\partial V}{\partial \tilde{k}} \dot{\tilde{k}} \leq 0 \quad (93)$$

Então, com base na equação 91 podemos dizer que:

$$\dot{V} = \frac{x}{2} \dot{x} + 2\beta \tilde{k} \dot{\tilde{k}} \quad (94)$$

De acordo com as informações do enunciado, sabemos que $\dot{x} = ax + u$ e $\tilde{k} = k - k^*$. Então, substituindo essas informações na Equação 94, teremos:

$$\dot{V} = \frac{x}{2} (ax + u) + 2\beta (k - k^*) \dot{k} \quad (95)$$

Além disso, temos que $u = -kx$ e $k^* = a + a_m$. Portanto, substituindo esses valores e manipulando algebricamente a expressão, reescrevemos \dot{V} como:

$$\dot{V} = \frac{x^2}{2} (a - k) + 2\beta (a - k + a_m) \dot{k} \quad (96)$$

Dessa forma, rearranjando os termos, podemos escrever como será mostrado na Equação 97 e garantir que os termos α e γ sejam ≤ 0 .

$$\dot{V} = \underbrace{\frac{x^2}{2} (a - k) + 2\beta (a - k) \dot{k}}_{\alpha} + \underbrace{2\beta a_m \dot{k}}_{\gamma} \quad (97)$$

Inicialmente, manipulando o termo α ao igualá-lo a zero, teremos:

$$\dot{k} \cdot 2\beta (a - k) = -\frac{x^2}{2} (a - k) \quad (98)$$

Portanto, isolando \dot{k} , chegamos em:

$$\dot{k} = -\frac{x^2}{4\beta} \quad (99)$$

Nota-se que a Equação 99 é exatamente a Equação 92 fornecida pelo enunciado, então prova-se que para α ser nulo, este deve ser o valor de \dot{k} .

Além disso, após a obtenção de uma expressão para \dot{k} , podemos reescrever γ substituindo \dot{k} :

$$\gamma = 2\beta \cdot a_m \cdot \left(-\frac{x^2}{4\beta}\right) \quad (100)$$

Na Equação 100 a variável β será anulada, então γ pode ser reescrita como:

$$\gamma = -a_m \frac{x^2}{2} \quad (101)$$

Sabemos de acordo com o enunciado que $a_m > 0$, então a Equação 101 mostra que $\alpha \leq 0, \forall x \neq 0$.

Dessa forma podemos garantir que:

$$\dot{V} = \underbrace{\frac{x^2}{2} (a - k) + 2\beta (a - k) \dot{k}}_{\alpha} + \underbrace{2\beta a_m \dot{k}}_{\gamma} \leq 0 \quad (102)$$

Esta afirmação garante a estabilidade do sistema de acordo com o teorema de Lyapunov a partir da condição de que $\dot{k} = -\frac{x^2}{4\beta}$.

12. Experiência 9 – Controle Adaptativo

Seja o circuito de um filtro passa-baixa representado pelo seguinte modelo:

$$y = \frac{b}{s + a} u \quad (103)$$

Tem-se por objetivo ajustar a resposta deste circuito para que ele opere com frequência de corte em 1.061 Hz e ganho DC de 0.5. Dessa forma, considere o modelo de referência dado por:

$$y_m = \frac{3.3}{s + 6.7} r \quad (104)$$

- (a) Admita que os parâmetros a e b são exatamente conhecidos. Projete uma lei de controle por modelo de referência que faça com que todos os sinais de malha fechada sejam limitados e y convirja para y_m quando $t \rightarrow \infty$ para qualquer sinal de referência limitado r . Determine k^* e l^* .
- (b) Admita que os parâmetros a e b são constantes e desconhecidos, com $b > 0$. Projete um MRAC direto de forma que todos os sinais de malha fechada sejam limitados e y convirja para y_m quando $t \rightarrow \infty$ para qualquer sinal de referência limitado r .
- (c) Admita que os parâmetros a e b são constantes e desconhecidos, com $b > 0$. Projete um MRAC indireto de forma que todos os sinais de malha fechada sejam limitados e y convirja para y_m quando $t \rightarrow \infty$ para qualquer sinal de referência limitado r .
- (d) Implemente as leis de controle obtidas em a), b) e c) considerando $a = 1$, $b = 5$ e $r = 15$. Gere os sinais de $y(t)$, $y_m(t)$, $u(t)$, $e(t)$, $k(t)$ e $l(t)$ para cada caso.
 - Para cada caso, plote os sinais $y(t)$, $y_m(t)$ e $e(t)$ em um mesmo gráfico.
 - Plote o sinal $u(t)$ em um mesmo gráfico para os três casos.
 - Plote o sinal $k(t)$ em um mesmo gráfico para os três casos.
 - Plote o sinal $l(t)$ em um mesmo gráfico para os três casos.
- (e) Implemente as leis de controle obtidas em a), b) e c) considerando $a = 1$, $b = 5$ e $r = 2 \sin(10t) + 5 \sin(3t)$. Gere os sinais de $y(t)$, $y_m(t)$, $u(t)$, $e(t)$, $k(t)$ e $l(t)$ para cada caso.
 - Para cada caso, plote os sinais $y(t)$, $y_m(t)$ e $e(t)$ em um mesmo gráfico.

- Plote o sinal $u(t)$ em um mesmo gráfico para os três casos.
- Plote o sinal $k(t)$ em um mesmo gráfico para os três casos.
- Plote o sinal $l(t)$ em um mesmo gráfico para os três casos.

(f) Os sinais $k(t)$ e $l(t)$ alcançaram k^* e l^* , respectivamente, em todos os casos? Comente.

12.1. Resolução

12.1.1. a)

Para o caso de a e b conhecidos, é necessário propor uma lei de controle com ganhos k^* e l^* , relacionados ao estado y e a entrada r , respectivamente, que farão com que y se iguale ao modelo de referência. Logo, é proposta uma lei de controle do tipo:

$$u = -k^*y + l^*r \quad (105)$$

Substituindo a Equação 105 em 103 e igualando a equação ao modelo de referência da Equação 104, obtém-se:

$$\begin{aligned} y &= \frac{b}{s+a} (-k^*y + l^*r) \\ y(s+a+bk^*) &= bl^*r \\ y &= \frac{bl^*}{s+a+bk^*} \\ y &= y_m \\ \frac{bl^*}{s+a+bk^*} &= \frac{3.3}{s+6.7} \end{aligned} \quad (106)$$

Através da Equação 106, é possível obter as relações que descrevem k^* e l^* , apresentadas na Equação 107.

$$\begin{cases} k^* = \frac{6.7-a}{b} \\ l^* = \frac{3.3}{b} \end{cases} \quad (107)$$

Substituindo esses valores na Equação 105, é possível obter a lei de controle em função dos parâmetros conhecidos da planta.

$$u = -\frac{6.7-a}{b}x + \frac{3.3}{b}r \quad (108)$$

12.1.2. b)

No caso de a e b serem parâmetros desconhecidos, não é possível implementar a lei de controle do item anterior. Para isso, é necessário propor uma nova lei de controle na qual os parâmetros são estimações dos valores de k^* e l^* . Logo, a lei de controle proposta é apresentada na Equação 109.

$$u = -k(t)y + l(t)r \quad (109)$$

onde $k(t)$ e $l(t)$ são as estimativas de k^* e l^* , para cada instante t .

De forma análoga aos exercícios anteriores, é necessário manipular o modelo da planta e somar e subtrair bu^* para deixá-lo em função dos parâmetros do modelo de referência. A Equação 110 mostra o modelo comparável da planta.

$$\begin{aligned} y &= \frac{b}{s+a} u \\ \dot{y} &= -ay + bu \\ \dot{y} &= -ay + bu + bu^* - bu^* \\ \dot{y} &= -ay + bu - bk^*y + bl^*r + bk^*y - bl^*r \\ \dot{y} &= -ay + bu - a_my + ay + b_mr + bk^*y - bl^*r \\ \dot{y} &= -a_my + b_mr + b(k^*y - bl^*r + u) \end{aligned} \quad (110)$$

É então definido o erro de acompanhamento do sistema como $e = y - y_m$, de forma análoga $\dot{e} = \dot{y} - \dot{y}_m$. Logo a dinâmica do erro é definida por:

$$\begin{aligned} \dot{e} &= (-a_my + b_mr + b(k^*y - l^*r + u)) - (-a_my_m + b_mr) \\ \dot{e} &= -a_m(y - y_m) + b(k^*y - bl^*r + u) \end{aligned} \quad (111)$$

Substituindo u e considerando $\tilde{k} = k(t) - k^*$ e $\tilde{l} = l(t) - l^*$, é possível obter a seguinte expressão para o erro:

$$\dot{e} = -a_me + b(-\tilde{k}y + \tilde{l}) \quad (112)$$

Para projetar a lei adaptativa é necessário eleger uma função de Lyapunov candidata, nesse caso a função escolhida é apresentada na Equação 113:

$$V(e, \tilde{k}, \tilde{l}) = \frac{e^2}{2} + \frac{\tilde{k}^2}{2\gamma_1}|b| + \frac{\tilde{l}^2}{2\gamma_2}|b| \quad (113)$$

onde $\gamma_1, \gamma_2 > 0$

Derivando a função se tem:

$$\dot{V}(e, \tilde{k}, \tilde{l}) = -a_me^2 - b\tilde{k}ex + b\tilde{l}er + \frac{|b|\tilde{k}\dot{\tilde{k}}}{\gamma_1} + \frac{|b|\tilde{l}\dot{\tilde{l}}}{\gamma_2} \quad (114)$$

Para garantir a estabilidade do sistema é necessário que $\dot{V}(e, \tilde{k}, \tilde{l}) \leq 0$. O único termo que garante isso pelas condições conhecidas, é $-a_me^2$.

A lei de adaptação pode ser obtida zerando os demais termos da função. Assim, são obtidas as seguintes relações:

$$\begin{cases} b\tilde{k}ex = \frac{|b|\tilde{k}\dot{\tilde{k}}}{\gamma_1} \\ b\tilde{l}er = \frac{|b|\tilde{l}\dot{\tilde{l}}}{\gamma_2} \end{cases} \quad (115)$$

Como k^* e l^* são constantes, então $\dot{\tilde{k}} = \dot{k}$ e $\dot{\tilde{l}} = \dot{l}$. Além disso, b pode ser escrito como $|b| \cdot \text{sign}(b)$, cancelando o módulo de b . Logo, as leis de adaptações podem ser reescritas conforme apresentado nas Equações 126:

$$\begin{cases} \dot{k} = \gamma_1 \text{exsing}(b) \\ \dot{l} = -\gamma_2 \text{ersing}(b) \end{cases} \quad (116)$$

12.1.3. c)

O modelo de referência a ser utilizado pode ser escrito conforme a Equação 117. Na qual $a_m = 6.7$ e $b_m = 3.3$.

$$\dot{y}_m = -a_my_m + b_mr \quad (117)$$

Enquanto a planta é dada pela Equação 118.

$$\dot{y} = -ay + bu \quad (118)$$

Na qual a lei de controle u é definida pela Equação 119.

$$u = -k(t)y + l(t)r \quad (119)$$

Como $k(t)$ e $l(t)$ são parâmetros desconhecidos, são feitas estimativas para esses valores através dos parâmetros \hat{a} e \hat{b} . Assim, as relações que descrevem $k(t)$ e $l(t)$ são apresentadas na Equação 120.

$$\begin{cases} k = \frac{a_m - \hat{a}}{\hat{b}} \\ l = \frac{b_m}{\hat{b}} \end{cases} \quad (120)$$

Os parâmetros \hat{a} e \hat{b} são gerados através das leis de adaptação. Para encontrar a lei de adaptação que dita esses parâmetros é realizada uma manipulação matemática somando e subtraindo o termo a_my no modelo da planta. Conforme apresentado na Equação 121.

$$\dot{y} = -ay + bu + a_my - a_my$$

$$\dot{y} = -a_my + (a_m - a)y + bu \quad (121)$$

É então definido o erro de acompanhamento do sistema como $e = y - y_m$, de forma análoga $\dot{e} = \dot{y} - \dot{y}_m$. Para realizar essa comparação é utilizada uma aproximação de y_m , para \hat{y} , considerando que, em regime, $\dot{\hat{y}}$ tende para \dot{y}_m . A aproximação $\dot{\hat{y}}$ é apresentada na Equação 122.

$$\dot{\hat{y}} = -a_m\hat{y} + (a_m - \hat{a})y + \hat{b}u \quad (122)$$

Definindo $\tilde{a} = \hat{a} - a$ e $\tilde{b} = \hat{b} - b$, a dinâmica do erro de acompanhamento pode ser dada pela expressão:

$$\dot{e} = -a_me + \tilde{a}y - \tilde{b}u \quad (123)$$

Para projetar a lei adaptativa é necessário eleger uma função de Lyapunov candidata, nesse caso a função escolhida é apresentada na Equação 113:

$$V(e, \tilde{a}, \tilde{b}) = \frac{e^2}{2} + \frac{\tilde{a}^2}{2\gamma_1} + \frac{\tilde{b}^2}{2\gamma_2} \quad (124)$$

onde $\gamma_1, \gamma_2 > 0$

Derivando a função no tempo se tem:

$$\dot{V}(e, \tilde{a}, \tilde{b}) = -a_me^2 - \tilde{a}ye - \tilde{b}ue + \frac{\dot{\tilde{a}}\tilde{a}}{\gamma_1} + \frac{\dot{\tilde{b}}\tilde{b}}{\gamma_2} \quad (125)$$

Para garantir a estabilidade do sistema é necessário que $\dot{V}(e, \tilde{a}, \tilde{l}) \leq 0$. O único termo que garante isso pelas condições conhecidas, é $-a_m e^2$.

A lei de adaptação pode ser obtida zerando os demais termos da função. Como a e b são constantes, $\dot{\hat{a}} = \dot{a}$ e $\dot{\hat{b}} = \dot{b}$. Assim, são obtidas as seguintes relações para a lei de adaptação do MRAC indireto:

$$\begin{cases} \dot{\hat{a}} = ye\gamma_1 \\ \dot{\hat{b}} = ue\gamma_2 \end{cases} \quad (126)$$

12.1.4. d)

Considerando as Equações 126 e 126 obtidas nos itens (b) e (c), foi possível realizar a implementação dos sistemas MRAC Direto e Indireto. Os pseudocódigos para a implementação de ambos são vistos na sequência.

Algoritmo 2: MRAC Direto

Require: a_m, b_m

Ensure: \hat{k}, \hat{l}

Definir K_0, L_0

Definir γ_1, γ_2

Adquirir x_m

for $i \leftarrow 2, \dots, \text{length}(t)$ **do**

$e(i-1) \leftarrow \hat{x}(i-1) - x_m(i-1)$

$\dot{K} \leftarrow \gamma_1 e(i-1) \hat{x}(i-1) \text{sgn}(b)$

$\hat{K}(i) \leftarrow K.dt + \hat{K}(i-1)$

$\dot{L} \leftarrow -\gamma_2 e(i-1) \hat{r}(i-1) \text{sgn}(b)$

$\hat{L}(i) \leftarrow L.dt + \hat{L}(i-1)$

$\hat{u} \leftarrow -\hat{K}(i) \hat{x}(i-1) + \hat{L}(i) \hat{r}(i-1)$

$\hat{\dot{x}} \leftarrow a \hat{x}(i-1) + b \hat{u}$

▷ Simulação do sistema controlado

$\hat{x}(i) \leftarrow \hat{\dot{x}}.dt + \hat{x}(i-1)$

end for

Os algoritmos necessitam de parâmetros iniciais, tanto para o MRAC Direto quanto para o Indireto. Estes foram definidos como mostrados na sequência.

$$K_0 = 1, L_0 = 1, a_0 = 1, b_0 = 1$$

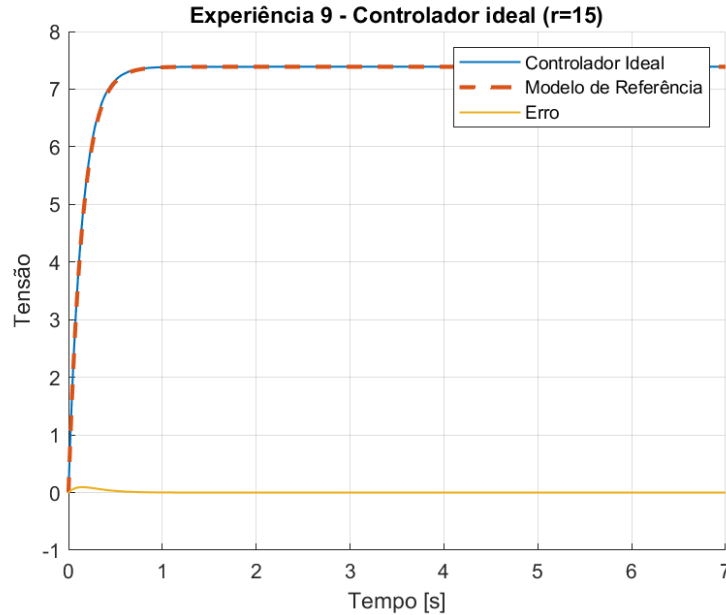
$$\gamma_1 = 1, \gamma_2 = 1$$

Dessa forma, os gráficos solicitados no enunciado, gerados em MATLAB, podem ser conferidos nas Figuras 45 até 52

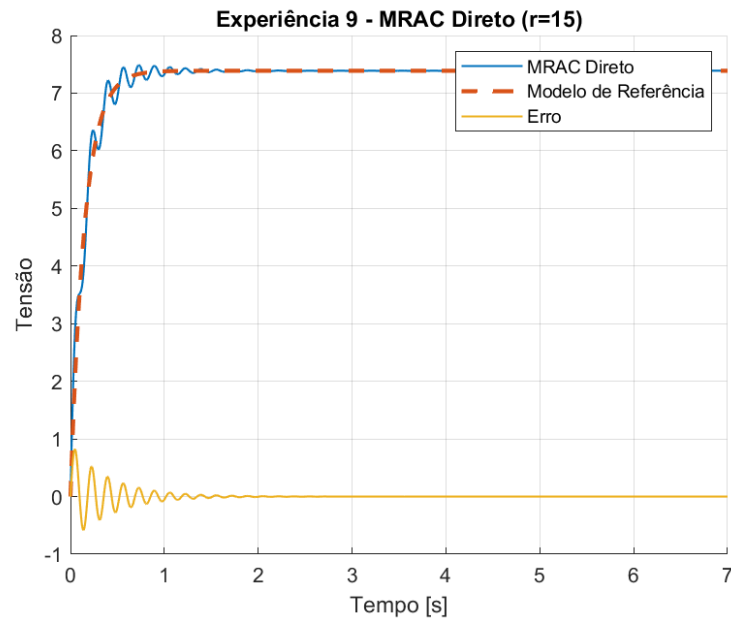
Algoritmo 3: MRAC Indireto

Require: a_m, b_m **Ensure:** \hat{a}, \hat{b} Definir $K_0, L_0, a_0, b_0, b_{min}$ Definir γ_1, γ_2 Adquirir x_m **for** $i \leftarrow 2, \dots, \text{length}(t)$ **do** $e(i-1) \leftarrow \hat{x}(i-1) - x_m(i-1)$ $\hat{K}(i) \leftarrow (a_m + \hat{a}(i-1)) / \hat{b}(i-1)$ $\hat{L}(i) \leftarrow b_m / \hat{b}(i-1)$ $\hat{u} \leftarrow -\hat{K}(i)\hat{x}(i-1) + \hat{L}(i)\hat{r}(i-1)$ $\dot{\hat{a}} \leftarrow \gamma_1 e(i-1)\hat{x}(i-1)$ $\hat{a}(i) \leftarrow \dot{\hat{a}}.dt + \hat{a}(i-1)$ $\dot{\hat{b}} \leftarrow \gamma_2 e(i-1)\hat{u}$ $\hat{b}(i) \leftarrow \dot{\hat{b}}.dt + \hat{b}(i-1)$ $\hat{b}(i) \leftarrow \max(\hat{b}(i), b_{min})$ $\dot{\hat{x}} \leftarrow \hat{a}\hat{x}(i-1) + \hat{b}\hat{u}$ $\hat{x}(i) \leftarrow \dot{\hat{x}}.dt + \hat{x}(i-1)$ **end for**

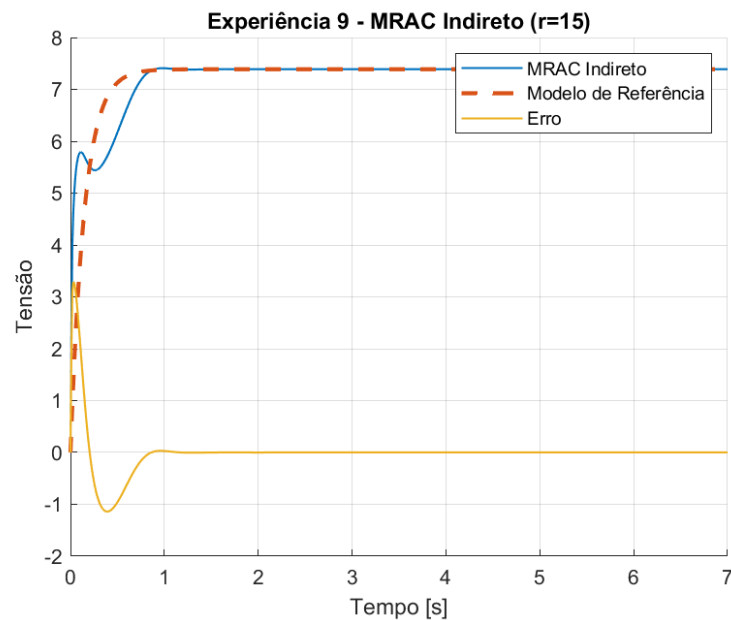
▷ Simulação do sistema controlado

Figura 45: Saída do sistema para o controlador ideal com $r = 15$ 

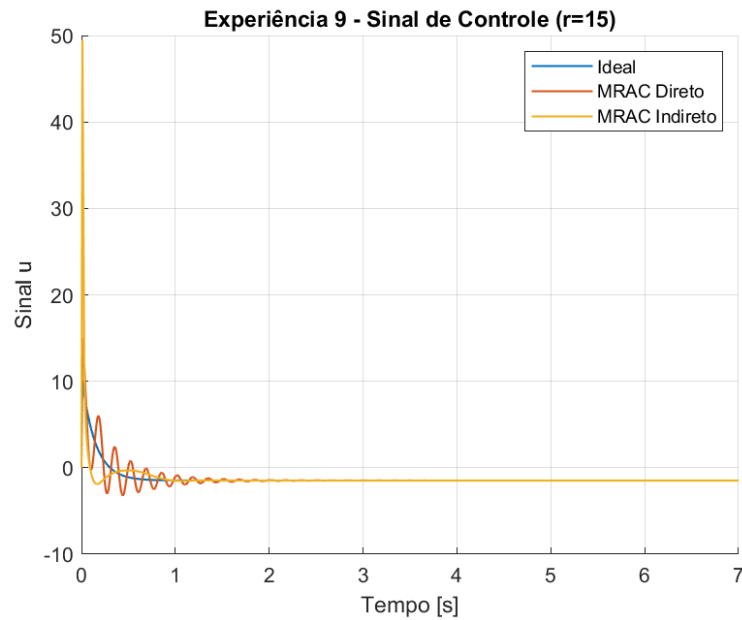
Fonte: Autoria própria

Figura 46: Saída do sistema para o MRAC Direto com $r = 15$ 

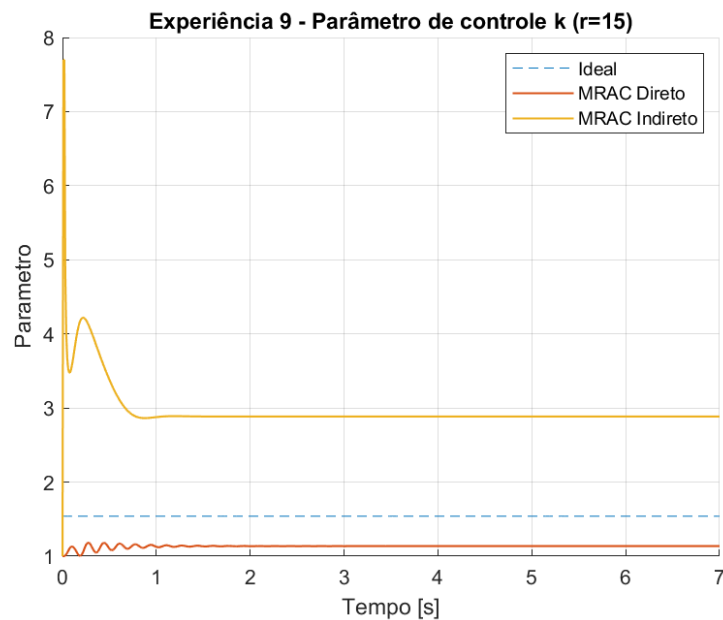
Fonte: Autoria própria

Figura 47: Saída do sistema para o MRAC Indireto com $r = 15$ 

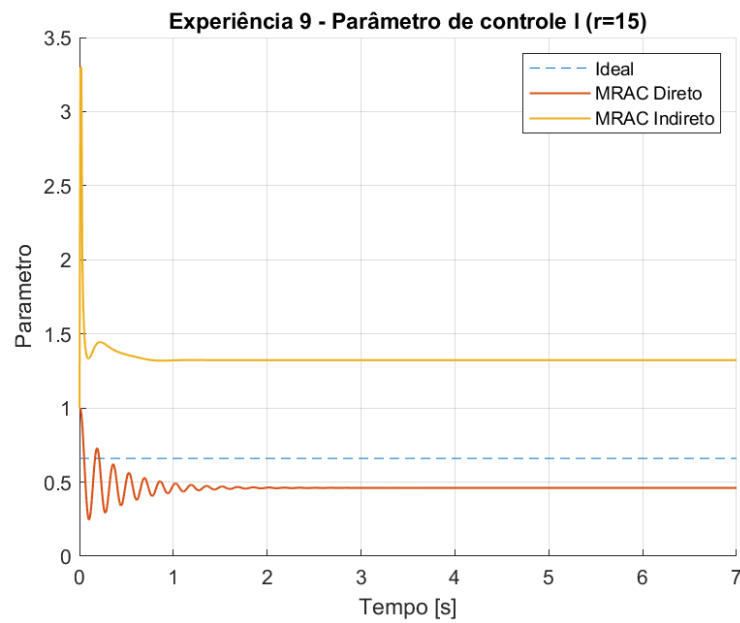
Fonte: Autoria própria

Figura 48: Sinal de controle para os três controladores com $r = 15$ 

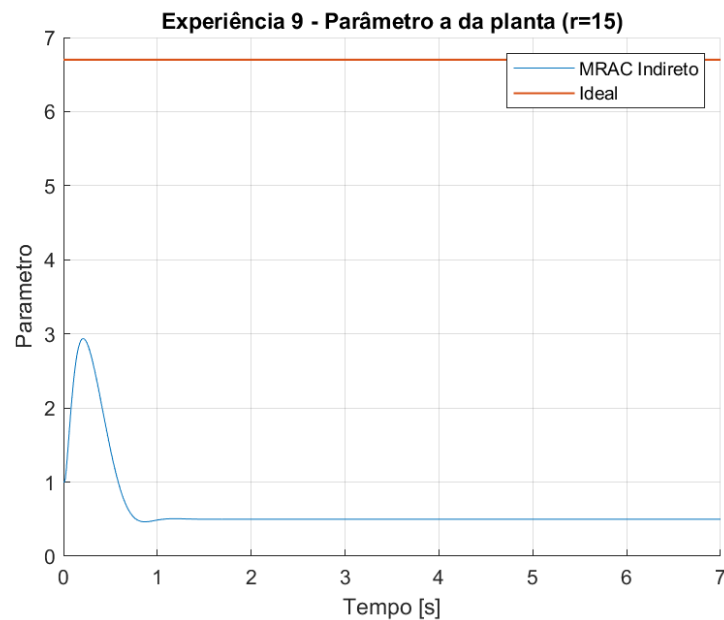
Fonte: Autoria própria

Figura 49: Parâmetro de controle \hat{k} para os controladores adaptativos com $r = 15$ 

Fonte: Autoria própria

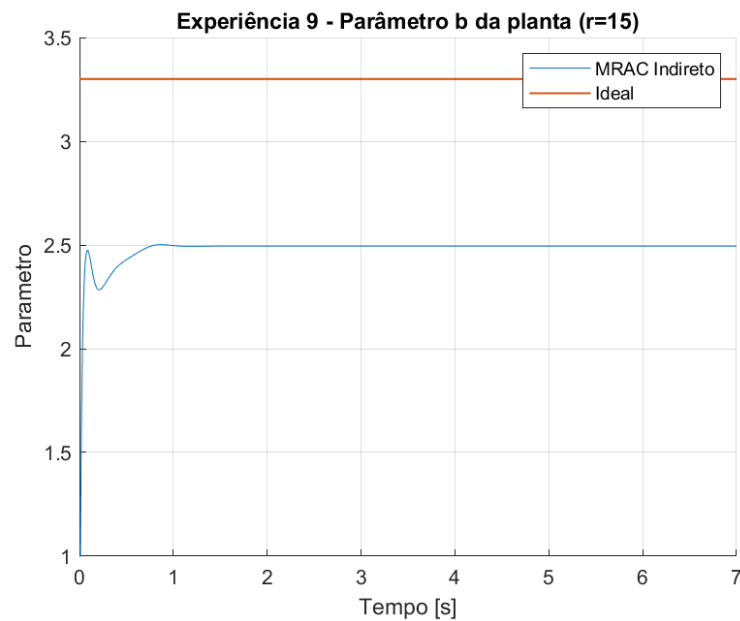
Figura 50: Parâmetro de controle \hat{l} para os controladores adaptativos com $r = 15$ 

Fonte: Autoria própria

Figura 51: Parâmetro da planta \hat{a} para o controlador indireto com $r = 15$ 

Fonte: Autoria própria

Figura 52: Parâmetro da planta \hat{b} para o controlador indireto com $r = 15$



Fonte: Autoria própria

Na sequência é mostrado o algoritmo para a execução do controlador indireto.

```

1 %% Experiencia 7 (c) - Indireto (i)
2
3 % Valores
4 a = 0.5;
5 b = 1.5;
6 d = 10;
7
8 am = 0.5;
9 bm = 0.5;
10
11 % Valores ideais de controle
12 k_star = (am-a)/b;
13 l_star = bm/b;
14 delta_star = -d*a/b;
15
16 % Valores iniciais de adaptacao
17 a0 = 1;
18 b0 = 1;
19 d0 = 1;
20 b_limite=1;
21 k0 = 1;
22 l0 = 1;

```

```
23 delta0 = 1;
24
25 gamma1 = 0.5;
26 gamma2 = 0.5;
27 gamma3 = 0.5;
28
29
30 % Valores de V para o controlador adaptativo
31 V_hat_indireto = zeros(1,length(t));
32 V0_hat = 0;
33 V_hat_indireto(1) = V0_hat;
34
35 % Vetores para progressao dos ganhos, do erro e da planta
36 k_indireto = zeros(1,length(t));
37 k_indireto(1) = k0;
38 l_indireto = zeros(1,length(t));
39 l_indireto(1) = l0;
40 delta_indireto = zeros(1,length(t));
41 delta_indireto(1) = delta0;
42 e_indireto = zeros(1,length(t));
43 e_indireto(1) = V_hat_indireto(1)-Vm(1);
44
45 a_indireto = zeros(1,length(t));
46 a_indireto(1) = a0;
47 b_indireto = zeros(1,length(t));
48 b_indireto(1) = b0;
49 h_indireto = zeros(1,length(t));
50 h_indireto(1) = d0;
51 u_indireto = zeros(1,length(t));
52
53 for i=2:length(t)
54     % V com controlador adaptativo
55     e_indireto(i-1) = V_hat_indireto(i-1) - Vm(i-1);
56
57     % Adaptacao dos parametros da planta
58     a_indireto_dot = -gamma1*e_indireto(i-1)*V_hat_indireto(i-1);
59     a_indireto(i) = a_indireto_dot*dt + a_indireto(i-1);
60
61     if( abs(b_indireto(i-1)) > b_limite || ( abs(b_indireto(i-1)) ==
        b_limite) && (sign(e_indireto(i-1)*u_indireto(i-1)*b)) >= 0))
62         b_indireto_dot = gamma2*e_indireto(i-1)*u_indireto(i);
63     else
64         b_indireto_dot = 0;
```

```

65         if b_indireto(i-1) > 0
66             b_indireto(i-1) = abs(b_limite);
67         else
68             b_indireto(i-1) = -abs(b_limite);
69         end
70     end
71     b_indireto(i) = b_indireto_dot*dt + b_indireto(i-1);
72
73     h_indireto_dot = -gamma3*e_indireto(i-1);
74     h_indireto(i) = h_indireto_dot*dt + h_indireto(i-1);
75
76     % Atualizacao da lei de controle
77
78     k_indireto_i = (am-a_indireto(i))/b_indireto(i);
79     k_indireto(i) = k_indireto_i;
80
81     l_indireto_i = (bm)/b_indireto(i);
82     l_indireto(i) = l_indireto_i;
83
84     delta_indireto_i = -(h_indireto(i))/b_indireto(i);
85     delta_indireto(i) = delta_indireto_i;
86
87     u_hat_indireto = -k_indireto(i)*V_hat_indireto(i-1) + l_indireto(i)*
88         Vs(i-1) + delta_indireto(i);
89     u_indireto(i) = u_hat_indireto;
90
91     % Simulacao da planta
92
93     V_hat_indireto_dot = -a*V_hat_indireto(i-1) + b*u_indireto(i) + d;
94     V_hat_indireto(i) = V_hat_indireto_dot * dt + V_hat_indireto(i-1);
95 end
96 %% Experiencia 7 (c) - Indireto (ii)
97
98 b = 1.5;
99
100 % Valores iniciais de adaptacao
101 a0_ii = 1;
102 b0_ii = 1;
103 h0_ii = 1;
104 b_limite_ii=1;
105 k0_ii = 1;
106 l0_ii = 1;

```

```

107 delta0_ii = 1;
108
109 gamma1_ii = 0.5;
110 gamma2_ii = 0.5;
111 gamma3_ii = 0.5;
112
113
114 % Valores de V para o controlador adaptativo
115 V_hat_indireto_ii = zeros(1,length(t));
116 V0_hat_ii = 0;
117 V_hat_indireto_ii(1) = V0_hat_ii;
118
119 % Vetores para progressao dos ganhos, do erro e da planta
120 k_indireto_ii = zeros(1,length(t));
121 k_indireto_ii(1) = k0_ii;
122 l_indireto_ii = zeros(1,length(t));
123 l_indireto_ii(1) = l0_ii;
124 delta_indireto_ii = zeros(1,length(t));
125 delta_indireto_ii(1) = delta0_ii;
126 e_indireto_ii = zeros(1,length(t));
127 e_indireto_ii(1) = V_hat_indireto_ii(1)-Vm(1);
128
129 a_indireto_ii = zeros(1,length(t));
130 a_indireto_ii(1) = a0_ii;
131 b_indireto_ii = zeros(1,length(t));
132 b_indireto_ii(1) = b0_ii;
133 h_indireto_ii = zeros(1,length(t));
134 h_indireto_ii(1) = h0_ii;
135
136 a_planta = zeros(1,length(t));
137 a_planta(1) = 0.5 + 0.04/(1+V0_hat);
138 d_planta = zeros(1,length(t));
139 d_planta(1) = 0.2 + sin(0.02*0);
140
141
142 u_indireto_ii = zeros(1,length(t));
143
144 for i=2:length(t)
145     % V com controlador adaptativo
146     e_indireto_ii(i-1) = V_hat_indireto_ii(i-1) - Vm(i-1);
147
148     % Adaptacao dos parametros da planta
149     a_indireto_dot = -gamma1_ii*e_indireto_ii(i-1)*V_hat_indireto_ii(i

```

```

-1);
150 a_indireto_ii(i) = a_indireto_dot*dt + a_indireto_ii(i-1);
151
152 if( abs(b_indireto_ii(i-1)) > b_limite_ii || ( (abs(b_indireto_ii(i-1)) == b_limite_ii) && (sign(e_indireto_ii(i-1)*u_indireto_ii(i-1)*b)) >= 0) )
153     b_indireto_dot = gamma2_ii*e_indireto_ii(i-1)*u_indireto_ii(i);
154 else
155     b_indireto_dot = 0;
156     if b_indireto_ii(i-1) > 0
157         b_indireto_ii(i-1) = abs(b_limite_ii);
158     else
159         b_indireto_ii(i-1) = -abs(b_limite_ii);
160     end
161 end
162 b_indireto_ii(i) = b_indireto_dot*dt + b_indireto_ii(i-1);
163
164 h_indireto_dot = -gamma3_ii*e_indireto_ii(i-1);
165 h_indireto_ii(i) = h_indireto_dot*dt + h_indireto_ii(i-1);
166
167 % Atualizacao da lei de controle
168
169 k_indireto_i2 = (am-a_indireto_ii(i))/b_indireto_ii(i);
170 k_indireto_ii(i) = k_indireto_i2;
171
172 l_indireto_i2 = (bm)/b_indireto_ii(i);
173 l_indireto_ii(i) = l_indireto_i2;
174
175 delta_indireto_i2 = -(h_indireto_ii(i))/b_indireto_ii(i);
176 delta_indireto_ii(i) = delta_indireto_i2;
177
178 u_hat_indireto_ii = -k_indireto_ii(i)*V_hat_indireto_ii(i-1) +
    l_indireto_ii(i)*Vs(i-1) + delta_indireto_ii(i);
179 u_indireto_ii(i) = u_hat_indireto_ii;
180
181 % Simulacao da planta
182 a_planta(i) = a + 0.04/(1+V_hat_ii(i-1));
183 d_planta(i) = 0.2 + sin(0.02*t(i-1));
184
185 V_hat_indireto_dot_ii = -a_planta(i)*V_hat_indireto_ii(i-1) + b*
    u_indireto_ii(i) + d_planta(i)*a_planta(i);
186 V_hat_indireto_ii(i) = V_hat_indireto_dot_ii * dt +
    V_hat_indireto_ii(i-1);

```

```
187 end
188
189 %% Plot dos graficos indireto
190
191 % Plot de velocidade
192
193 index_fig = index_fig + 1;
194 figure(index_fig)
195 hold on
196 grid on
197 plot(V_hat_indireto)
198 plot(V_hat_indireto_ii)
199 plot(Vm)
200 legend("Estimado (i)", "Estimado (ii)", "Ideal")
201 xlabel("Tempo [s]")
202 ylabel("Velocidade")
203 title("Velocidade pelo controlador indireto")
204 if saveFig
205     saveas(gcf, 'Exp7c_Velocidade_Indireto.png')
206 end
207
208 % Plot de e
209
210 index_fig = index_fig + 1;
211 figure(index_fig)
212 hold on
213 grid on
214 plot(t,e_indireto)
215 plot(t,e_indireto_ii)
216 legend("Estimado (i)", "Estimado (ii)")
217 xlabel("Tempo [s]")
218 ylabel("Erro")
219 title("Erro para os controladores indiretos")
220 if saveFig
221     saveas(gcf, 'Exp7c_Erro_Indireto.png')
222 end
223
224 % Plot de k
225
226 k_star_vector = k_star*ones(1, length(t));
227 index_fig = index_fig + 1;
228 figure(index_fig)
229 hold on
```

```
230 grid on
231 plot(t,k_indireto)
232 plot(t,k_indireto_ii)
233 plot(t, k_star_vector, '--')
234 legend("Estimado (i)", "Estimado (ii)", "Ideal")
235 xlabel("Tempo [s]")
236 title("Parametro K do controlador indireto")
237 if saveFig
238     saveas(gcf,'Exp7c_ParametroK_Indireto.png')
239 end
240
241 % Plot de l
242
243 l_star_vector = l_star*ones(1, length(t));
244 index_fig = index_fig + 1;
245 figure(index_fig)
246 hold on
247 grid on
248 plot(t,l_indireto)
249 plot(t,l_indireto_ii)
250 plot(t, l_star_vector, '--')
251 legend("Estimado (i)","Estimado (ii)", "Ideal")
252 xlabel("Tempo [s]")
253 title("Parametro L do controlador indireto")
254 if saveFig
255     saveas(gcf,'Exp7c_ParametroL_Indireto.png')
256 end
257
258 % Plot de delta
259
260 delta_star_vector = delta_star*ones(1, length(t));
261 index_fig = index_fig + 1;
262 figure(index_fig)
263 hold on
264 grid on
265 plot(t,delta_indireto)
266 plot(t,delta_indireto_ii)
267 plot(t, delta_star_vector, '--')
268 legend("Estimado (i)","Estimado (ii)", "Ideal")
269 xlabel("Tempo [s]")
270 title("Parametro \delta do controlador indireto")
271 if saveFig
272     saveas(gcf,'Exp7c_ParametroDelta_Indireto.png')
```

```
273 end
274
275 % Plot de b
276
277 b_vector = b*ones(1, length(t));
278 index_fig = index_fig + 1;
279 figure(index_fig)
280 hold on
281 grid on
282 plot(t,b_indireto)
283 plot(t,b_indireto_ii)
284 plot(t, b_vector, '--')
285 legend("Estimado (i)","Estimado (ii)","Ideal")
286 xlabel("Tempo [s]")
287 title("Parametro b estimado da planta")
288 if saveFig
289     saveas(gcf,'Exp7c_ParametroB_Indireto.png')
290 end
291
292 % Plot de a - i
293
294 a_vector = a*ones(1, length(t));
295 index_fig = index_fig + 1;
296 figure(index_fig)
297 hold on
298 grid on
299 plot(t,a_indireto)
300 plot(t, a_vector)
301 legend("Estimado","Ideal")
302 xlabel("Tempo [s]")
303 title("Parametro a estimado da planta - Caso (i)")
304 if saveFig
305     saveas(gcf,'Exp7c_ParametroA_i_Indireto.png')
306 end
307
308 % Plot de a - ii
309
310 index_fig = index_fig + 1;
311 figure(index_fig)
312 hold on
313 grid on
314 plot(t,a_indireto_ii)
315 plot(t, a_planta)
```

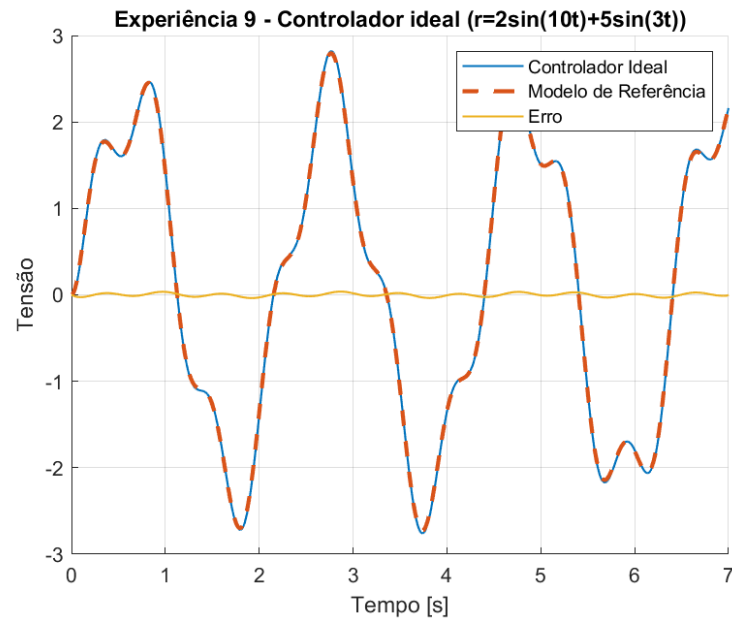
```

316 legend("Estimado","Ideal")
317 xlabel("Tempo [s]")
318 title("Parametro a estimado da planta - Caso (ii)")
319 if saveFig
320     saveas(gcf,'Exp7c_ParametroA_ii_Indireto.png')
321 end
322
323 % Plot de h - i
324
325 h_vector = (a*d)*ones(1, length(t));
326 index_fig = index_fig + 1;
327 figure(index_fig)
328 hold on
329 grid on
330 plot(t,h_indireto)
331 plot(t, h_vector)
332 legend("Estimado","Ideal")
333 xlabel("Tempo [s]")
334 title("Parametro h estimado da planta - Caso (i)")
335 if saveFig
336     saveas(gcf,'Exp7c_ParametroH_i_Indireto.png')
337 end
338
339 % Plot de h - ii
340
341 index_fig = index_fig + 1;
342 figure(index_fig)
343 hold on
344 grid on
345 plot(t,h_indireto_ii)
346 plot(t, d_planta.*a_planta)
347 legend("Estimado","Ideal")
348 xlabel("Tempo [s]")
349 title("Parametro h estimado da planta - Caso (ii)")
350 if saveFig
351     saveas(gcf,'Exp7c_ParametroH_ii_Indireto.png')
352 end

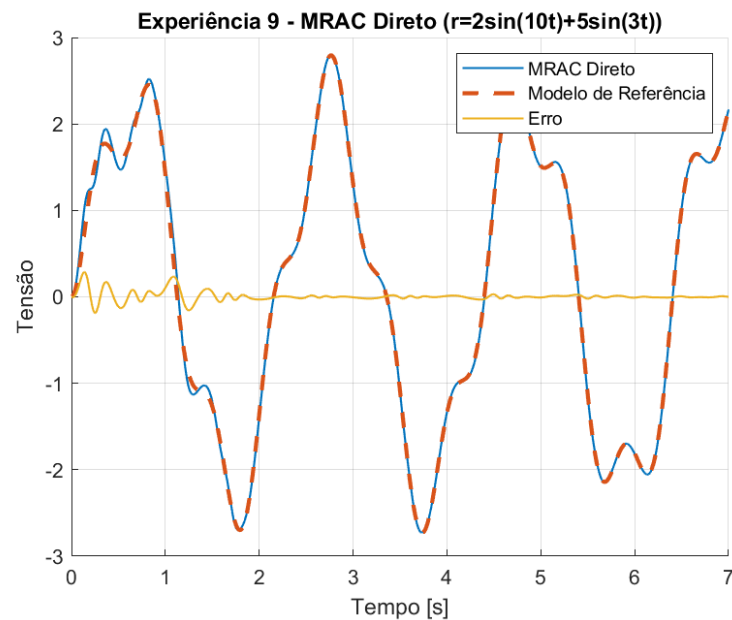
```

12.1.5. e)

Considerando agora as mesmas equações e algoritmos, a entrada $r = 2 \sin(10t) + 5 \sin(3t)$ é inserida no sistema, gerando os gráficos das Figuras 53 até 60 a seguir.

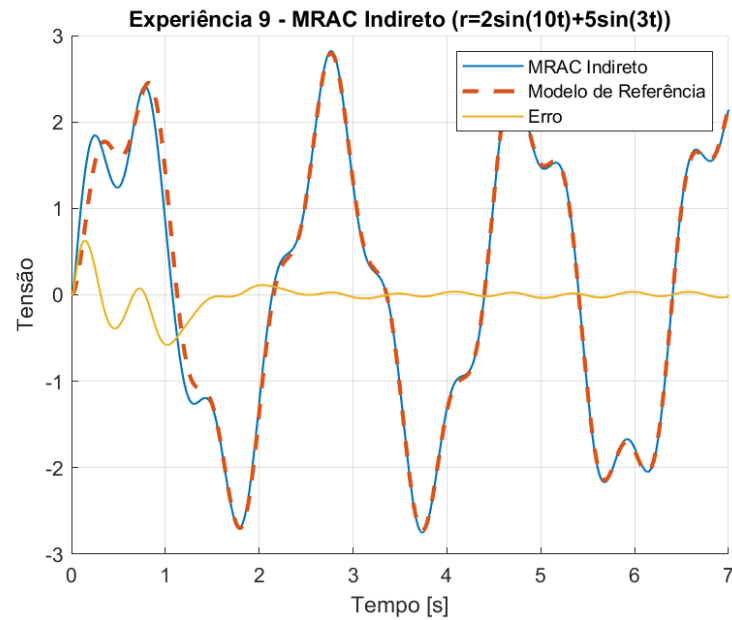
Figura 53: Saída do sistema para o controlador ideal com $r = 2 \sin(10t) + 5 \sin(3t)$ 

Fonte: Autoria própria

Figura 54: Saída do sistema para o MRAC Direto com $r = 2 \sin(10t) + 5 \sin(3t)$ 

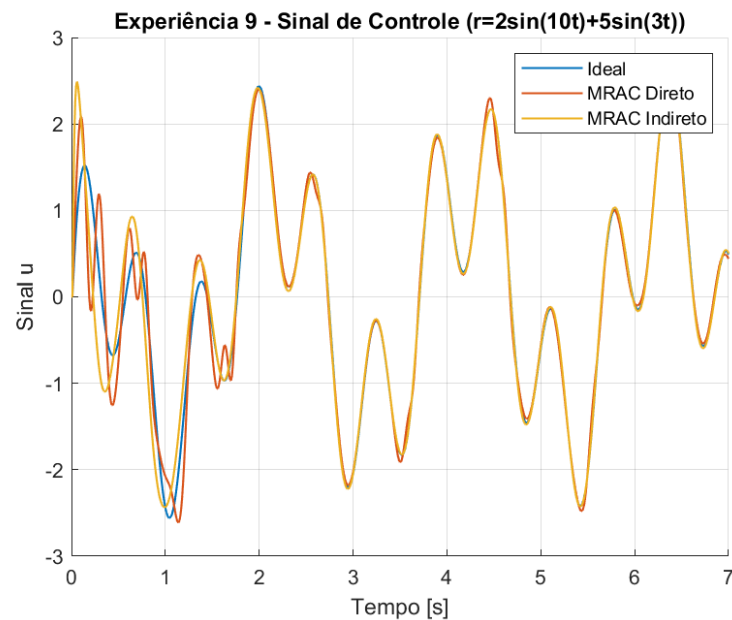
Fonte: Autoria própria

Figura 55: Saída do sistema para o MRAC Indireto com $r = 2 \sin(10t) + 5 \sin(3t)$



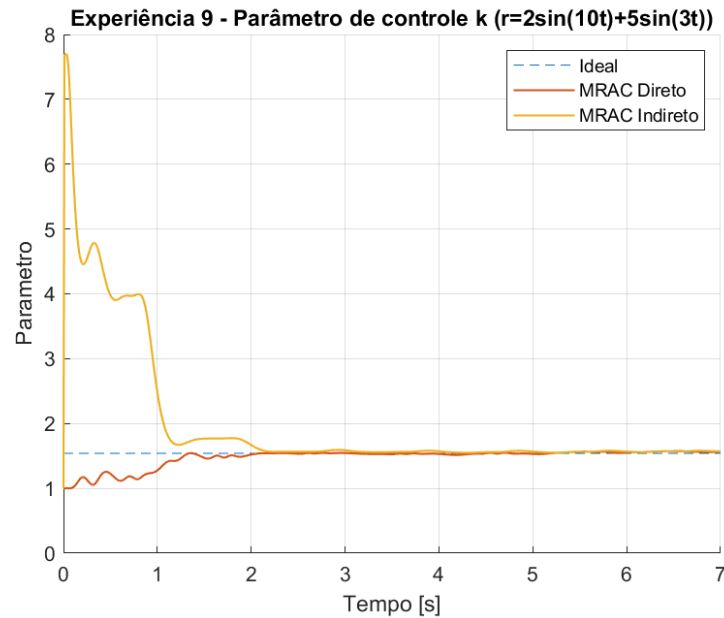
Fonte: Autoria própria

Figura 56: Sinal de controle para os três controladores com $r = 2 \sin(10t) + 5 \sin(3t)$



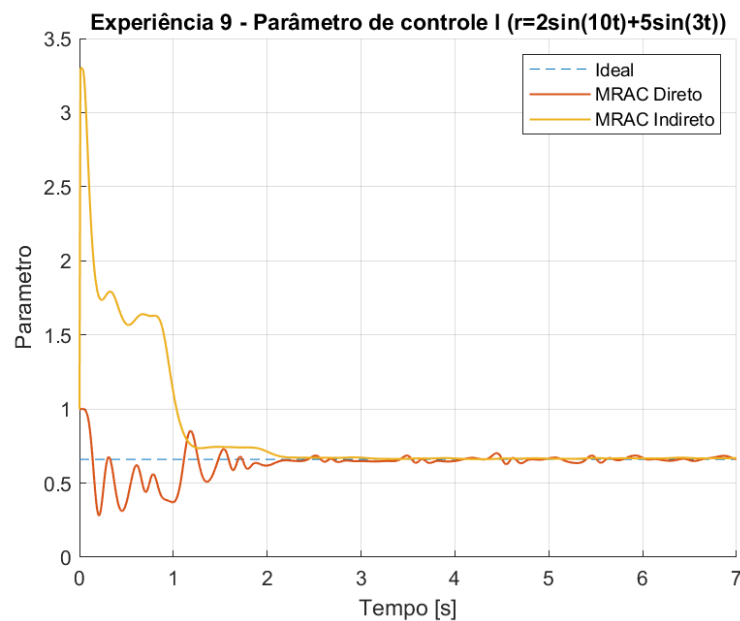
Fonte: Autoria própria

Figura 57: Parâmetro de controle \hat{k} para os controladores adaptativos com $r = 2 \sin(10t) + 5 \sin(3t)$

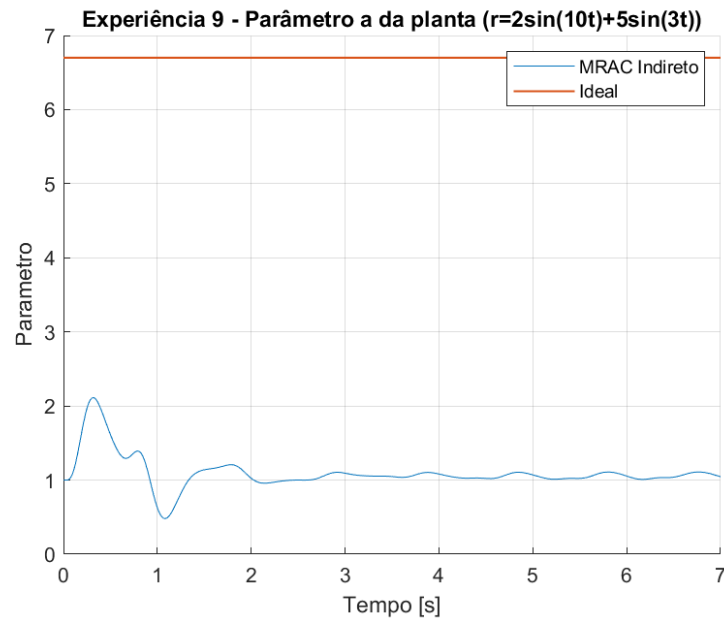


Fonte: Autoria própria

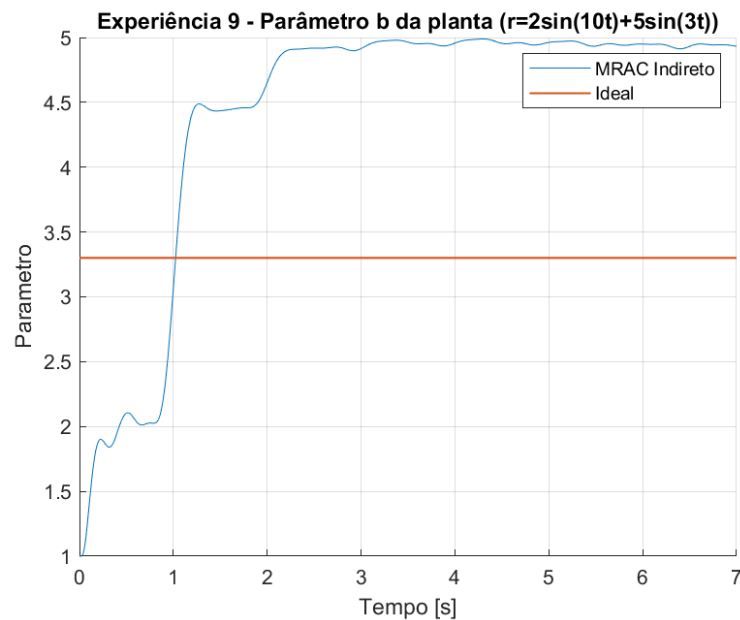
Figura 58: Parâmetro de controle \hat{l} para os controladores adaptativos com $r = 2 \sin(10t) + 5 \sin(3t)$



Fonte: Autoria própria

Figura 59: Parâmetro da planta \hat{a} para o controlador indireto com $r = 2 \sin(10t) + 5 \sin(3t)$ 

Fonte: Autoria própria

Figura 60: Parâmetro da planta \hat{b} para o controlador indireto com $r = 2 \sin(10t) + 5 \sin(3t)$ 

Fonte: Autoria própria

12.1.6. f)

Com relação ao item (d), primeiramente pode-se levantar comparações acerca dos gráficos 45, 46 e 47. Para o controle ideal, percebe-se que o sinal de saída acompanha com praticamente erro zero, acompanhando fielmente o modelo de referência do sistema. Enquanto isso, o MRAC Direto ainda possui um bom desempenho, apesar de oscilatório, em acompanhar o modelo de referência, e o MRAC Indireto possui um desvio maior no transitório.

Já para o gráfico da Figura 48, é notável a presença de um pico para o MRAC Indireto, enquanto os outros mantêm a mesma faixa de valores. Isso pode ser levado em consideração na implementação, sabendo que esses picos podem gerar danos ao sistema.

Todos os parâmetros apresentados nesse caso, \hat{k} , \hat{l} , \hat{a} e \hat{b} , com progressões temporais mostradas nas Figuras 49, 50, 51 e 52, respectivamente, não chegam a atingir os valores desejados e considerados como ideais. Entretanto, assumem um bom desempenho ao fazer com que a saída acompanhe x_m .

Outro ponto importante a se ressaltar é que o objetivo da implementação do controlador foi atingido, a planta está se comportando como um filtro passa-baixas com ganho DC de 0.5. Isso é comprovado no valor de regime permanente ao degrau $r = 15$, sendo $\hat{x}_\infty = 7.388$

Tomando como base agora o item (e), as mesmas observações sobre a saída da planta das Figuras 53, 54 e 55 podem ser feitas para este caso também, tendo como ordem de maior para menor desempenho o Ideal, seguido pelo MRAC Direto, e fechando com o MRAC Indireto.

Para esta entrada os parâmetros apresentados, \hat{k} , \hat{l} , \hat{a} e \hat{b} , com progressões temporais mostradas nas Figuras 49, 50, 51 e 52, respectivamente, também não chegam a atingir os valores desejados e considerados como ideais. Entretanto, assumem um bom desempenho ao fazer com que a saída acompanhe x_m .

Tendo em vista o comportamento do sistema como o filtro passa-baixas de 1 Hz, é possível perceber que a frequência de 3 rad/s (menor que 1 Hz) é muito presente no sinal, enquanto a frequência maior de 10 rad/s (maior que 3 Hz) é muito atenuada, gerando pequenos desvios na onda de saída, mostrando que o objetivo do sistema para frequência também foi atingido.

O algoritmo utilizado para gerar os gráficos e resultados dessa questão pode ser visto na sequência. Esse código seleciona qual entrada o usuário deseja e pode salvar os gráficos automaticamente a partir da flag saveFig.

1 `clc`

```
2 clear
3 close all
4
5 index_fig = 0;
6
7 %% Flags
8
9 saveFig = false;
10 %% Entrada
11
12 disp("Entrada 1: r=15");
13 disp("Entrada 2: r=2*sin(10*t) + 5*sin(3*t)")
14
15 entrada = input("Qual voce deseja? ");
16 clc;
17
18 %% Experiencia 9 - (d)
19
20 index_fig = 0;
21
22 % Parametros da planta
23 a = 1;
24 b = 5;
25 % Parametros do modelo de referencia
26 am = 6.7;
27 bm = 3.3;
28
29 % Valores ideais de controle
30 k_star = (a+am)/b;
31 l_star = bm/b;
32
33 % Vetor de tempo
34 dt = 0.01;
35 t = 0:dt:7;
36
37 % Sinal de entrada
38 if entrada==1
39     r = 15;
40     r = r*ones(1,length(t));
41 else
42     r = 2*sin(10*t) + 5*sin(3*t);
43 end
44
```

```
45 % Valores de x para o controlador ideal
46 x0 = 0;
47 x = zeros(1,length(t));
48 x(1) = x0;
49
50 % Funcao de transferencia modelo de referencia
51 s = tf('s');
52 G = bm/(s+am);
53 xm = lsim(G, r, t);
54
55 % Valores iniciais de adaptacao
56 k0 = 1;
57 l0 = 1;
58 % Sinal de entrada
59 if entrada==1
60     gamma1 = 1;
61     gamma2 = 1;
62 else
63     gamma1 = 7;
64     gamma2 = 7;
65 end
66
67 % Valores de x para o controlador adaptativo
68 x_hat_direto = zeros(1,length(t));
69 x0_hat = 0;
70 x_hat_direto(1) = x0_hat;
71
72 % Vetores para progressao dos ganhos e do erro
73 k_direto = zeros(1,length(t));
74 k_direto(1) = k0;
75 l_direto = zeros(1,length(t));
76 l_direto(1) = l0;
77 e_direto = zeros(1,length(t));
78 e_direto(1) = x_hat_direto(1)-xm(1);
79
80 u_direto = zeros(1,length(t));
81
82 e = zeros(1,length(t));
83 e(1) = x(1)-xm(1);
84
85 u_ideal = zeros(1,length(t));
86
87 for i=2:length(t)
```

```

88     % X com controlador adaptativo
89     e_direto(i-1) = x_hat_direto(i-1) - xm(i-1);
90
91     k_direto_dot = gamma1*e_direto(i-1)*x_hat_direto(i-1)*sign(b);
92     k_direto(i) = k_direto_dot*dt + k_direto(i-1);
93
94     l_direto_dot = -gamma2*e_direto(i-1)*r(i-1)*sign(b);
95     l_direto(i) = l_direto_dot*dt + l_direto(i-1);
96
97     u_hat_direto = -k_direto(i)*x_hat_direto(i-1) + l_direto(i)*r(i-1);
98     u_direto(i) = u_hat_direto;
99
100    x_hat_direto_dot = a*x_hat_direto(i-1) + b*u_hat_direto;
101    x_hat_direto(i) = x_hat_direto_dot * dt + x_hat_direto(i-1);
102
103    % X como controlador ideal
104    e(i-1) = x(i-1) - xm(i-1);
105    u = -k_star*x(i-1) + l_star*r(i-1);
106    u_ideal(i) = u;
107    x_dot = a*x(i-1) + b*u;
108    x_i = x(i-1) + x_dot*dt;
109    x(i) = x_i;
110 end
111
112 %% Experiencia 9 - MRAC Indireto
113
114 % Valores iniciais de adaptacao
115 a0 = 1;
116 b0 = 1;
117 b_limite=1;
118 if entrada==1
119     gamma1 = 1;
120     gamma2 = 1;
121 else
122     gamma1 = 7;
123     gamma2 = 7;
124 end
125
126 % Valores de x para o controlador adaptativo
127 x_hat_indireto = zeros(1,length(t));
128 x0_hat = 0;
129 x_hat_indireto(1) = x0_hat;
130

```

```

131 % Vetores para progressao dos ganhos e do erro
132 k_indireto = zeros(1,length(t));
133 k_indireto(1) = k0;
134 l_indireto = zeros(1,length(t));
135 l_indireto(1) = l0;
136 e_indireto = zeros(1,length(t));
137 e_indireto(1) = x_hat_indireto(1)-xm(1);
138
139 a_indireto = zeros(1,length(t));
140 a_indireto(1) = a0;
141 b_indireto = zeros(1,length(t));
142 b_indireto(1) = b0;
143
144 u_indireto = zeros(1,length(t));
145
146 for i=2:length(t)
147     % X com controlador adaptativo
148     e_indireto(i-1) = x_hat_indireto(i-1) - xm(i-1);
149
150     k_indireto_i = (am+a_indireto(i-1))/b_indireto(i-1);
151     k_indireto(i) = k_indireto_i;
152
153     l_indireto_i = (bm)/b_indireto(i-1);
154     l_indireto(i) = l_indireto_i;
155
156     u_hat_indireto = -k_indireto(i)*x_hat_indireto(i-1) + l_indireto(i)*
        r(i-1);
157     u_indireto(i) = u_hat_indireto;
158
159     a_indireto_dot = gamma1*e_indireto(i-1)*x_hat_indireto(i-1);
160     a_indireto(i) = a_indireto_dot*dt + a_indireto(i-1);
161
162     b_indireto_dot = gamma2*e_indireto(i-1)*u_hat_indireto;
163     b_indireto(i) = b_indireto_dot*dt + b_indireto(i-1);
164
165     if ~ ( (abs(b_indireto(i)) > abs(b_limite)) || ( (abs(b_indireto(i))
        > abs(b_limite)) && (e_indireto(i-1)*u_hat_indireto*sgn(b) > 0)
        ) )
166         if b_indireto(i) < 0
167             b_indireto(i) = - abs(b_limite);
168         else
169             b_indireto(i) = abs(b_limite);
170         end

```

```
171     end
172
173     x_hat_indireto_dot = a*x_hat_indireto(i-1) + b*u_hat_indireto;
174     x_hat_indireto(i) = x_hat_indireto_dot * dt + x_hat_indireto(i-1);
175 end
176
177
178 %% Experiencia 7 (a) - Plots
179
180 if entrada == 1
181     titulo = "(r=15)";
182 else
183     titulo = "(r=2sin(10t)+5sin(3t))";
184 end
185
186 % Plot do controlador ideal
187 index_fig = index_fig + 1;
188 figure(index_fig)
189 hold on
190 grid on
191 plot(t, x, "LineWidth", 1)
192 plot(t, xm, '--', "LineWidth", 2)
193 plot(t, e, "LineWidth", 1)
194 legend("Controlador Ideal", "Modelo de Referencia", "Erro")
195 xlabel("Tempo [s]")
196 ylabel("Tensao")
197 title("Experiencia 9 - Controlador ideal " + titulo)
198 if saveFig
199     saveas(gcf, 'Exp9_'+string(entrada)+'_EstadosIdeal.png')
200 end
201
202 % Plot do controlador direto
203 index_fig = index_fig + 1;
204 figure(index_fig)
205 hold on
206 grid on
207 plot(t, x_hat_direto, "LineWidth", 1)
208 plot(t, xm, '--', "LineWidth", 2)
209 plot(t, e_direto, "LineWidth", 1)
210 legend("MRAC Direto", "Modelo de Referencia", "Erro")
211 xlabel("Tempo [s]")
212 ylabel("Tensao")
213 title("Experiencia 9 - MRAC Direto " + titulo)
```



```
214 if saveFig
215     saveas(gcf, 'Exp9_'+string(entrada)+'_EstadosMRACDireto.png')
216 end
217
218 % Plot do controlador indireto
219 index_fig = index_fig + 1;
220 figure(index_fig)
221 hold on
222 grid on
223 plot(t, x_hat_indireto, "LineWidth", 1)
224 plot(t, xm, '--', "LineWidth", 2)
225 plot(t, e_indireto, "LineWidth", 1)
226 legend("MRAC Indireto", "Modelo de Referencia", "Erro")
227 xlabel("Tempo [s]")
228 ylabel("Tensao")
229 title("Experiencia 9 - MRAC Indireto " + titulo)
230 if saveFig
231     saveas(gcf, 'Exp9_'+string(entrada)+'_EstadosMRACIndireto.png')
232 end
233
234 % Sinal de controle
235 index_fig = index_fig + 1;
236 figure(index_fig)
237 hold on
238 grid on
239 plot(t, u_ideal, "LineWidth", 1)
240 plot(t, u_direto, "LineWidth", 1)
241 plot(t, u_indireto, "LineWidth", 1)
242 legend("Ideal", "MRAC Direto", "MRAC Indireto")
243 xlabel("Tempo [s]")
244 ylabel("Sinal u")
245 title("Experiencia 9 - Sinal de Controle " + titulo)
246 if saveFig
247     saveas(gcf, 'Exp9_'+string(entrada)+'_SinalControle.png')
248 end
249
250 k_star_vector = k_star*ones(1, length(t));
251 index_fig = index_fig + 1;
252 figure(index_fig)
253 hold on
254 grid on
255 plot(t, k_star_vector, '--')
256 plot(t, k_direto, "LineWidth", 1)
```

```
257 plot(t, k_indireto, "LineWidth", 1)
258 legend("Ideal","MRAC Direto","MRAC Indireto")
259 xlabel("Tempo [s]")
260 ylabel("Parametro")
261 title("Experiencia 9 - Parametro de controle k " + titulo)
262 if saveFig
263     saveas(gcf,'Exp9_'+string(entrada)+'_ParametroK.png')
264 end
265
266 l_star_vector = l_star*ones(1, length(t));
267 index_fig = index_fig + 1;
268 figure(index_fig)
269 hold on
270 grid on
271 plot(t, l_star_vector, '--')
272 plot(t, l_direto, "LineWidth", 1)
273 plot(t, l_indireto, "LineWidth", 1)
274 legend("Ideal","MRAC Direto","MRAC Indireto")
275 xlabel("Tempo [s]")
276 ylabel("Parametro")
277 title("Experiencia 9 - Parametro de controle l " + titulo)
278 if saveFig
279     saveas(gcf,'Exp9_'+string(entrada)+'_ParametroL.png')
280 end
281
282 am_vetor = am*ones(1,length(t));
283 index_fig = index_fig + 1;
284 figure(index_fig)
285 hold on
286 grid on
287 plot(t, a_indireto)
288 plot(t, am_vetor, "LineWidth", 1)
289 legend("MRAC Indireto","Ideal")
290 xlabel("Tempo [s]")
291 ylabel("Parametro")
292 title("Experiencia 9 - Parametro a da planta " + titulo)
293 if saveFig
294     saveas(gcf,'Exp9_'+string(entrada)+'_ParametroA.png')
295 end
296
297 bm_vetor = bm*ones(1,length(t));
298 index_fig = index_fig + 1;
299 figure(index_fig)
```

```
300 hold on
301 grid on
302 plot(t, b_indireto)
303 plot(t, bm_vetor, "LineWidth", 1)
304 legend("MRAC Indireto","Ideal")
305 xlabel("Tempo [s]")
306 ylabel("Parametro")
307 title("Experiencia 9 - Parametro b da planta " + titulo)
308 if saveFig
309     saveas(gcf, 'Exp9_'+string(entrada)+'_ParametroB.png')
310 end
```

13. Experiência 10 – Controle Adaptativo

Analizando os resultados obtidos nas Experiências 7, 8 e 9, responda:

- (a) Qual a diferença conceitual entre os controladores adaptativos e os métodos de identificação paramétrica estudados?
- (b) Qual o objetivo do “Controlador Adaptativo por Modelo de Referência”?
- (c) Qual a diferença conceitual entre o MRAC Direto e o MRAC Indireto?
- (d) Os controladores adaptativos estudados podem ser aplicados para estimar dinâmicas com estruturas desconhecidas?
- (e) Os métodos implementados são recursivos ou não-recursivos?
- (f) Em todos os casos trabalhados, os parâmetros estimados do controlador alcançam os mesmos valores? Comente.
- (g) Qual a metodologia aplicada para encontrar a lei de controle $u(t)$ e as leis de adaptação dos parâmetros?
- (h) A velocidade de estabilização do sistema controlado é regulada por quais variáveis? Elas são calculadas ou definidas pelo projetista? Comente sobre a atuação dessas variáveis.
- (i) As variáveis definidas pelo projetista na implementação dos controladores propostos estão sujeitas a alguma restrição para manter a estabilidade do sistema controlado em malha fechada?

13.1. Resolução

13.1.1. a)

Enquanto os métodos de identificação paramétrica estão preocupados em descobrir os parâmetros da planta analisada, os controladores adaptativos inserem no sistema uma realimentação negativa de controle adaptativa, juntamente com um modelo de referência, com o objetivo de gerar uma saída semelhante ou até igual ao seu modelo proposto, adaptando diretamente os valores de ganho deste controlador, sem necessariamente saber os parâmetros da planta para isso.

13.1.2. b)

O principal objetivo do Controlador Adaptativo por Modelo de Referência (MRAC) é estabelecer um modelo de referência desejado e garantir que a saída da planta seja coincidente com a saída do modelo de referência, independente da entrada do sistema.

13.1.3. c)

O MRAC Direto pode ser caracterizado como a classe em que os parâmetros do controlador são atualizados diretamente, sem a necessidade de cálculos intermediários. Já no MRAC Indireto, os parâmetros do controlador não são atualizados diretamente, mas são recalculados a cada instante de tempo usando as estimativas dos parâmetros do sistema.

13.1.4. d)

Não, pois os controladores implementados necessitam de um modelo referência, esse modelo deve seguir uma dinâmica na qual todas as deduções possam se concentrar na quantidade de polos da planta. Logo modelos com dinâmicas desconhecidas não se enquadram nesse tipo de controle.

13.1.5. e)

Os métodos implementados são recursivos, afinal atualizam os parâmetros a cada instante de tempo, utilizando valores anteriores e atuais dos sinais medidos

13.1.6. f)

Em alguns casos os parâmetros estimados alcançaram o mesmo valor e em outros não. O modelo MRAC não garante que os parâmetros atinjam os valores ideais, ele só garante que o sistema siga o modelo de referência.

13.1.7. g)

Para a lei de controle do sistema, foi adotada uma metodologia na qual eram definidas constantes que agem tanto no estado controlado da planta quanto na entrada do sistema. Essas constantes eram os parâmetros a serem estimados. Já para a lei de controle foi realizado uma metodologia aplicando uma função candidata de Lyapunov, a qual era dependente tanto do sinal de erro de acompanhamento do sistema, quanto os parâmetros

a serem estimados. Assim, para que a função fosse assintoticamente estável era garantido que o ponto de equilíbrio fosse zero, pelo teorema de LaSalle.

13.1.8. h)

A velocidade de estabilização é regulada majoritariamente pelas variáveis de adaptação γ presentes no projeto. Elas são definidas pelo projetista com o intuito de gerar a melhor convergência possível para a sua aplicação. Caso elas sejam muito pequenas, a convergência dos parâmetros também é lenta e, por outro lado, caso elas sejam grandes demais, o sistema pode se tornar muito oscilatório ou muito brusco. Logo, essa escolha deve ser feita com certos cuidados e atenção pelo projetista. Outras variáveis que também afetam a velocidade de convergência, mas em menor escala do que as citadas anteriormente, são as condições iniciais dos parâmetros da planta. Caso elas sejam muito destoantes da planta original, pode levar um tempo maior para que o algoritmo de identificação encontre os parâmetros ideais.

13.1.9. i)

Os parâmetros definidos pelo projetista (Passo de adaptação e condições iniciais) não estão sujeitos a restrições para manter a estabilidade. No processo de construção das leis de adaptação, mais especificamente nas funções de Liapunov, são definidos valores γ qualquer para propor a estabilidade do sistema, tanto que os termos que envolvem γ são anulados pela proposição das leis de adaptação.

13.2. Script

Por fim será apresentado o script construído para obter os valores desejados com todos os métodos apresentados neste capítulo. Inicialmente o código recebe do usuário qual conjunto de dados e método desejado e logo após, calcula os parâmetros de acordo com o método escolhido.

14. Exercício de Sala

Considere o seguinte conjunto de dados:

t	0	1	2	3	4	5	6	7	8	9	10	11	12	13	14
u(t)	1	0.8	0.6	0.4	0.2	0	0.2	0.4	0.6	0.8	1	0.8	0.6	0.4	0.2
y(t)	0.9	2.5	2.4	1.3	1.2	0.8	0	0.9	1.4	1.9	2.3	2.4	2.3	1.3	1.2

Obter a função de transferência estimada para um processo representado pelo seguinte modelo matemático:

$$y(t) = b_0 u(t) + b_1 u(t-1) \quad (127)$$

Utilizando os seguintes procedimentos:

- (a) Substituição direta;
- (b) Método do gradiente;
- (c) Método dos mínimos quadrados puro não-recursivo;
- (d) Método dos mínimos quadrados puro recursivo;
- (e) Método dos mínimos quadrados com fator de esquecimento não-recursivo;
- (f) Método dos mínimos quadrados com fator de esquecimento recursivo;

Para cada método utilize:

- (i) Apenas o conjunto de dados $N = 7, 8, \dots, 14$
- (ii) Todo o conjunto de dados

14.1. Resolução:

14.1.1. a)

O primeiro método a ser realizado foi através da substituição direta. De forma geral, a estrutura do sistema é apresentada a seguir:

$$y(i) = b_0 u(i) + b_1 u(i-1)$$

$$y(i+1) = b_0 u(i+1) + b_1 u(i)$$

Manipulando as equações e escrevendo na forma matricial, teremos:

$$\begin{pmatrix} u(i) & u(i-1) \\ u(i+1) & u(i) \end{pmatrix}^{-1} \cdot \begin{pmatrix} y(i) \\ y(i+1) \end{pmatrix} = \begin{pmatrix} b_0(i+1) \\ b_1(i+1) \end{pmatrix}$$

Dessa forma, o algoritmo foi implementado no MATLAB e possibilitou a obtenção dos valores de b_0 e b_1 para os casos (i) e (ii). Os dados referentes a ambos os casos constam, respectivamente, nas Tabelas 1 e 2.

Tabela 1: Ganhos para o caso (i) com o método de substituição direta

	1	2	3	4	5	6	7	8	9	10	11	12	13	14
b_0	0.0	-10.0	10.0	-5.0	-2.0	0.0	0.0	2.0	2.0	3.5	1.1	-9.5	8.5	-5.0
b_1	0.0	10.5	-4.5	5.5	4.0	4.0	4.5	0.5	0.5	-1.5	1.6	10.0	-3.5	5.5

Tabela 2: Ganhos para o caso (ii) com o método de substituição direta

	1	2	3	4	5	6	7
b_0	0.0	2.0	3.5	1.1	-9.5	8.5	-5.0
b_1	0.0	0.5	-1.5	1.6	10.0	-3.5	5.5

14.1.2. b)

Para o método do gradiente apresentado anteriormente, utilizando o formato da Equação 1, as seguintes variáveis são definidas:

$$\begin{aligned} z &= y(t) \\ \theta &= \begin{pmatrix} b_0 & b_1 \end{pmatrix}^T \\ \phi &= \begin{pmatrix} u(t), u(t-1) \end{pmatrix}^T \end{aligned}$$

Logo, as Tabelas 3 e 4 mostram os resultados obtidos pelo método para o conjunto N de dados (i) e para o conjunto completo (ii).

14.1.3. c)

O terceiro método utilizado é o MMQ puro não recursivo. O MMQ consiste em uma função custo que minimiza quadrado de todos os erros resultantes das diferenças de

Tabela 3: Ganhos para o caso (i) com o método do gradiente

	1	2	3	4	5	6	7	8	9	10	11	12	13	14
b_0	1	1.21	1.41	1.36	1.42	1.42	1.37	1.37	1.34	1.27	1.18	1.16	1.28	1.23
b_1	1	1.26	1.53	1.46	1.57	1.67	1.67	1.67	1.64	1.60	1.52	1.50	1.66	1.58

Tabela 4: Ganhos para o caso (ii) com o método do gradiente

	1	2	3	4	5	6	7
b_0	1	1.16	1.28	1.30	1.35	1.49	1.44
b_1	1	1.11	1.20	1.22	1.27	1.46	1.39

estimativas.

Para o método não recursivo, sem fator de esquecimento, primeiramente foi calculada a matriz de covariância $P(t)$, da forma como apresentado na Equação 128.

$$P(t) = \left[Q_0 + \int_0^t \frac{\phi(\tau) \phi^T(\tau)}{m_s^2(\tau)} d\tau \right] \quad (128)$$

onde Q_0 é uma matriz simétrica definida como:

$$Q_0 = \begin{pmatrix} 1 & 2 \\ 2 & 1 \end{pmatrix}$$

Com isso, a matriz dos parâmetros desconhecidos θ é dada pela Equação 129.

$$\theta(t) = P(t) \left[Q_0 \theta_0 + \int_0^t \frac{z(\tau) \phi(\tau)}{m_s^2(\tau)} d\tau \right] \quad (129)$$

As Tabelas 5 e 6 mostram os resultados desse método para o conjunto N completo e pela metade.

Tabela 5: Ganhos para o caso (i) com o método do MMQ puro não recursivo

	1	2	3	4	5	6	7	8	9	10	11	12	13	14
b_0	0.68	0.68	0.68	0.68	0.68	0.68	0.68	0.68	0.68	0.68	0.68	0.68	0.68	0.68
b_1	0.68	0.68	0.68	0.68	0.68	0.68	0.68	0.68	0.68	0.68	0.68	0.68	0.68	0.68

Tabela 6: Ganhos para o caso (ii) com o método do MMQ puro não recursivo

	1	2	3	4	5	6	7
b_0	0.74	0.74	0.74	0.74	0.74	0.74	0.74
b_1	0.74	0.74	0.74	0.74	0.74	0.74	0.74

É possível notar que, como o método não é recursivo, em todos os casos são obtidos os mesmos valores de b_0 e b_1 .

14.1.4. d)

Agora é utilizado o método dos Mínimos Quadrados Puro Recursivo, descrito em detalhes no Algoritmo 1 e pelas Equações 19 até a 22. Os resultados para o conjunto N de dados (i) e para o conjunto completo (ii) são apresentados pelas Tabelas 7 e 8.

Tabela 7: Ganhos para o caso (i) com o método do MMQ puro

	1	2	3	4	5	6	7	8	9	10	11	12	13	14
b_0	1.06	1.14	1.15	1.18	1.16	1.12	1.15	1.18	1.19	1.19	1.19	1.21	1.21	1.21
b_1	1.08	1.19	1.21	1.28	1.34	1.35	1.36	1.37	1.37	1.37	1.38	1.41	1.41	1.45

Tabela 8: Ganhos para o caso (ii) com o método do MMQ puro

	1	2	3	4	5	6	7
b_0	1.08	1.13	1.15	1.17	1.20	1.20	1.21
b_1	1.05	1.09	1.11	1.14	1.21	1.22	1.29

14.1.5. e)

A próxima estratégia utilizada foi o método dos mínimos quadrados com fator de esquecimento não-recursivo. Para implementar, foi utilizado um raciocínio com aquele apresentado no item c), porém com uma constante β para representar um fator de esquecimento no sistema. Assim as matrizes $P(t)$ e $\theta(t)$ possuem termos adicionais em relação as equações 128 e 129 que incluem a constante β . Neste caso iremos definir $P(t)$ conforme consta na Equação 130:

$$P(t) = \left[e^{-\beta t} Q_0 + \int_0^t e^{-\beta(t-\tau)} \frac{\phi(\tau) \phi^T(\tau)}{m_s^2(\tau)} d\tau \right]^{-1} \quad (130)$$

Q_0 se mantém sendo uma matriz simétrica definida como:

$$Q_0 = \begin{pmatrix} 1 & 2 \\ 2 & 1 \end{pmatrix}$$

E a matriz dos parâmetros desconhecidos θ é definida pela Equação 131

$$\theta(t) = P(t) \left[e^{-\beta t} Q_0 \theta_0 + \int_0^t e^{-\beta(t-\tau)} \frac{z(\tau) \phi(\tau)}{m_s^2(\tau)} d\tau \right] \quad (131)$$

Após implementação do algoritmo, os resultados obtidos para o conjunto N de dados (i) e para o conjunto completo (ii) são apresentados pelas Tabelas 9 e 10:

Tabela 9: Ganhos para o caso (i) com o MMQ com fator de esquecimento não-recursivo

	1	2	3	4	5	6	7	8	9	10	11	12	13	14
b_0	0.04	0.04	0.05	0.05	0.06	0.07	0.09	0.11	0.14	0.18	0.23	0.30	0.39	0.51
b_1	0.04	0.04	0.05	0.05	0.06	0.07	0.09	0.11	0.14	0.18	0.23	0.30	0.39	0.51

Tabela 10: Ganhos para o caso (ii) com o MMQ com fator de esquecimento não-recursivo

	1	2	3	4	5	6	7
b_0	0.27	0.30	0.33	0.37	0.42	0.50	0.60
b_1	0.27	0.30	0.33	0.37	0.42	0.50	0.60

Nota-se que, diferente do método apresentado na alternativa c), que não possuía fator de esquecimento, este altera os valores de b_0 e b_1 com o passar do tempo.

14.1.6. f)

Para realizar a implementação do método dos mínimos quadrados com fator de esquecimento e recursivo, foi utilizado um algoritmo semelhante ao do item d).

No entanto esse método conta com uma constante β , que é usada no sistema como o fator de esquecimento. Logo o algoritmo implementado para solucionar o problema de identificação dos parâmetros b_0 e b_1 , é apresentado a seguir.

Nas Tabela 11 e 12, é possível observar os valores encontrados para esses parâmetros.

Tabela 11: Ganhos para o caso (i) com o método do MMQ com fator de esquecimento

	1	2	3	4	5	6	7	8	9	10	11	12	13	14
b_0	1	1.08	1.23	1.23	1.29	1.21	1.04	1.15	1.16	1.13	1.09	1.10	1.05	1.12
b_1	1	1.10	1.29	1.30	1.47	1.68	1.73	1.74	1.74	1.73	1.69	1.62	1.81	1.64

Tabela 12: Ganhos para o caso (ii) com o método do gradiente

	1	2	3	4	5	6	7
b_0	1.11	1.19	1.22	1.25	1.32	1.31	1.30
b_1	1.07	1.13	1.16	1.21	1.38	1.35	1.58

1

2 % Exercício 2 - Identificacao de parametros

Algoritmo 4: MMQ com Fator de Esquecimento Recursivo

Require: t, z, ϕ **Ensure:** $\hat{\theta}$ Definir P_0 Definir θ_0 Definir β **for** $i \leftarrow 1, \dots, \text{length}(t)$ **do** $m_s \leftarrow 1 + \phi(i)^T \phi(i)$ $\dot{P} = \beta P_0 - (P_0 \phi(i) \phi(i)^T P_0) / m_s^2$ $P = \dot{P}.dt + P_0$ $\hat{z}(i) = \theta_0 \phi(i)$ $\epsilon = (z(i) - \hat{z}(i)) / m_s^2$ $\dot{\theta} = P \epsilon \phi(i)$ $\theta = \dot{\theta}.dt + \theta_0$ $P_0 = P$ $\theta_0 = \theta$ **end for**

```

3
4  clc;
5  clear;
6  close all;
7
8  %% Interface
9
10 disp("Entrada 1: Vetor inteiro");
11 disp("Entrada 2: Metade do vetor")
12
13 entrada = input("Qual voce deseja? ");
14 clc;
15
16 if entrada==1
17     half= false;
18 else
19     half= true;
20 end
21
22 disp("Entrada 1: Substituicao direta");
23 disp("Entrada 2: Metodo do gradiente");
24 disp("Entrada 3: MMQ puro nao recursivo");
25 disp("Entrada 4: MMQ puro recursivo");
26 disp("Entrada 5: MMQ nao recursivo com fator de esquecimento");

```

```
27 disp("Entrada 6: MMQ recursivo com fator de esquecimento");
28
29 metodo = input("Qual voce deseja? ");
30
31 %% Definicao dos vetores
32
33 dt = 1;
34 t = 0:dt:14;
35 u = [1 0.8 0.6 0.4 0.2 0 0.2 0.4 0.6 0.8 1 0.8 0.6 0.4 0.2];
36 y = [0.9 2.5 2.4 1.3 1.2 0.8 0 0.9 1.4 1.9 2.3 2.4 2.3 1.3 1.2];
37
38 if half
39     u = u(8:end);
40     y = y(8:end);
41     t = t(8:end);
42 end
43
44 %% a) Substituicao direta
45
46 if metodo==1
47
48     theta = zeros(2,length(t)-1);
49
50     for i=2:length(t)-1
51         M = [u(i), u(i-1);
52             u(i+1), u(i)];
53         y_i = [y(i); y(i+1)];
54
55         theta(:, i) = M^(-1)*y_i;
56     end
57
58 end
59
60 %% b) Metodo do gradiente
61 if metodo==2
62
63     % Vetores dos parametros
64     b0 = zeros(1, length(t)-1);
65     b1 = zeros(1, length(t)-1);
66     % Valores iniciais
67     b0(1) = 1;
68     b1(1) = 1;
69
```

```

70 theta = [b0; b1]';
71 phi = [u(2:end); u(1:(end-1))];
72
73 z = y(2:end);
74
75 gamma = 1;
76
77 z_hat = zeros(1, length(z));
78 e = zeros(1, length(z));
79
80 for i=1:length(z)-1
81     z_hat(i) = theta(i,:)*phi(:,i);
82     ms_2 = 1 + phi(:,i)'*phi(:,i);
83     e(i) = (z(i) - z_hat(i))/ms_2;
84     theta_dot = gamma*e(i)*phi(:,i)';
85     theta(i+1,:) = theta_dot*dt + theta(i,:);
86 end
87
88 end
89 %% c) MMQ puro nao recursivo
90 if metodo==3
91
92     % Vetores dos parametros
93     b0 = zeros(1, length(t)-1);
94     b1 = zeros(1, length(t)-1);
95     % Valores iniciais
96     b0(1) = 1;
97     b1(1) = 1;
98
99     %Parametros iniciais
100     beta= 0;
101     Q0= [1 2; 2 1];
102     theta_0= [b0(1); b1(1)];
103
104     theta = zeros(2,length(t)-1);
105     phi = [u(2:end); u(1:(end-1))];
106
107     z = y(2:end);
108
109     %Inicializacao
110     P= zeros(2,2,length(t)-1);
111     dt= 1;
112

```

```

113 for t_i = 1:length(t)-1
114     integral= 0;
115
116     for tal = 1:length(t)-1
117         phi_i = phi(:,tal); % Valor de phi pro instante tal
118         ms = 1+phi_i'*phi_i; % Valor de ms para o instante tal
119
120         derivada = exp(-beta*(t_i-tal)) * (phi_i'*phi_i)/ms^(2);
121         integral= integral + derivada*dt;
122     end
123
124     P(:, :, t_i) = (exp(-beta*t_i)*Q0 + integral)^(-1);
125 end
126
127
128 for t_i = 1:length(t)-1
129     integral_1= 0;
130
131     for tal = 1:length(t)-1
132         phi_i = phi(:,tal); % Valor de phi pro instante tal
133         z_i = z(tal); % Valor de z pro instante tal
134         ms = 1+phi_i'*phi_i; % Valor de ms para o instante tal
135
136         derivada_1 = exp(-beta*(t_i-tal)) * (z_i*phi_i)/ms^(2);
137         integral_1= integral_1 + derivada_1*dt;
138     end
139
140     theta(:, t_i) = P(:, :, t_i)*(exp(-beta*t_i)*Q0*theta_0 + integral);
141 end
142
143 end
144
145
146 %% d) MMQ puro recursivo
147
148 if metodo==4
149
150     % Vetores dos parametros
151     b0 = zeros(1, length(t)-1);
152     b1 = zeros(1, length(t)-1);
153     % Valores iniciais
154     b0(1) = 1;
155     b1(1) = 1;

```

```

156
157 theta = [b0; b1]';
158 phi = [u(2:end); u(1:(end-1))];
159
160 z = y(2:end);
161
162 %Valores iniciais de theta
163 theta_0= [b0(1); b1(1)];
164
165 % Matriz inicial P
166 P0 = [1 0 ;
167        0 1];
168
169 % Progressao de theta
170 theta_v = [theta_0];
171 P_m= [];
172
173 for i=1:length(t)-1
174     phi_i = phi(:,i); % Valor de phi pro instante i
175
176     ms = 1+phi_i'*phi_i; % Valor de ms para o instante i
177
178     P_d = -P0*phi_i*phi_i'*P0/(ms^2); % Calculo da derivada de P
179     P = P0 + P_d*dt; % Atualizacao de P
180
181     z_i = z(i); % Valor de z para o instante i
182     z_hat = theta_0'*phi_i; % Estimativa de z com os parametros atuais
183
184     e = (z_i - z_hat)/ms^2; % Calculo de erro
185
186     theta_d = P*e*phi_i; % Calculo da derivada de theta
187     theta = theta_0 + theta_d*dt; % Atualizacao de theta
188
189     theta_v(:, end+1) = theta; % Armazenamento da progressao de theta_v
190
191     % Valores para a proxima iteracao
192     P0 = P;
193     theta_0 = theta;
194 end
195 theta= theta_v;
196 end
197
198 %% e) MMQ nao recursivo com fator de esquecimento

```



```

199 if metodo==5
200
201 % Vetores dos parametros
202 b0 = zeros(1, length(t)-1);
203 b1 = zeros(1, length(t)-1);
204 % Valores iniciais
205 b0(1) = 1;
206 b1(1) = 1;
207
208 %Parametros iniciais
209 beta= 0.3;
210 Q0= [1 2; 2 1];
211 theta_0= [b0(1); b1(1)];
212
213 theta = zeros(2,length(t)-1);
214 phi = [u(2:end); u(1:(end-1))];
215
216 z = y(2:end);
217
218 %Inicializacao
219 P= zeros(2,2,length(t)-1);
220 dt= 1;
221
222 for t_i = 1:length(t)-1
223     integral= 0;
224
225     for tal = 1:length(t)-1
226         phi_i = phi(:,tal); % Valor de phi pro instante tal
227         ms = 1+phi_i'*phi_i; % Valor de ms para o instante tal
228
229         derivada = exp(-beta*(t_i-tal)) * (phi_i'*phi_i)/ms^(2);
230         integral= integral + derivada*dt;
231     end
232
233     P(:,:,t_i) = (exp(-beta*t_i)*Q0 + integral)^(-1);
234 end
235
236
237 for t_i = 1:length(t)-1
238     integral_1= 0;
239
240     for tal = 1:length(t)-1
241         phi_i = phi(:,tal); % Valor de phi pro instante tal

```

```

242         z_i = z(tal); % Valor de z pro instante tal
243         ms = 1+phi_i'*phi_i; % Valor de ms para o instante tal
244
245         derivada_1 = exp(-beta*(t_i-tal)) * (z_i*phi_i)/ms^(2);
246         integral_1= integral_1 + derivada_1*dt;
247     end
248
249     theta(:,t_i) = P(:, :, t_i)*(exp(-beta*t_i)*Q0*theta_0 + integral);
250 end
251
252 end
253
254 %% f) MMQ recursivo com fator de esquecimento
255
256 if metodo==6
257
258     % Vetores dos parametros
259     b0 = zeros(1, length(t)-1);
260     b1 = zeros(1, length(t)-1);
261     % Valores iniciais
262     b0(1) = 1;
263     b1(1) = 1;
264     beta= 0.3;
265
266     theta = [b0; b1]';
267     phi = [u(2:end); u(1:(end-1))];
268
269     z = y(2:end);
270
271     %Valores iniciais de theta
272     theta_0= [b0(1); b1(1)];
273
274     % Matriz inicial P
275     P0 = [1 0 ;
276           0 1];
277
278     % Progressao de theta
279     theta_v = [theta_0];
280     P_m= [];
281
282     for i=1:length(t)-1
283         phi_i = phi(:,i); % Valor de phi pro instante i
284

```

```
285     ms = 1+phi_i'*phi_i; % Valor de ms para o instante i
286
287     P_d = beta*P0 - P0*phi_i*phi_i'*P0/(ms^2); % Calculo da derivada de
        P
288     P = P0 + P_d*dt; % Atualizacao de P
289
290     z_i = z(i); % Valor de z para o instante i
291     z_hat = theta_0'*phi_i; % Estimativa de z com os parametros atuais
292
293     e = (z_i - z_hat)/ms^2; % Calculo de erro
294
295     theta_d = P*e*phi_i; % Calculo da derivada de theta
296     theta = theta_0 + theta_d*dt; % Atualizacao de theta
297
298     theta_v(:, end+1) = theta; % Armazenamento da progressao de theta_v
299
300     % Valores para a proxima iteracao
301     P0 = P;
302     theta_0 = theta;
303 end
304 theta= theta_v;
305 end
306 disp("Os parametros encontrados sao:")
307 disp(theta)
```